

НАЦИОНАЛЬНАЯ АКАДЕМИЯ НАУК КЫРГЫЗСКОЙ РЕСПУБЛИКИ

**ИНСТИТУТ МАШИНОВЕДЕНИЯ, АВТОМАТИКИ
И ГЕОМЕХАНИКИ НАН КР**

На правах рукописи

УДК:371.693

Абдрасакова Айзада Байышбековна

**Математическое моделирование регионального климата для
отдельных областей Кыргызстана**

05.13.18 – Математическое моделирование, численные
методы и комплексы программ

Диссертация на соискание ученой степени
кандидата физико-математических наук

Научный руководитель:

доктор физико-математических наук, профессор
Сулайманова Света Мукашовна (КНУ им. Ж.Баласыгана)

Бишкек – 2025

Содержание

ГЛАВА 1. ЛИТЕРАТУРНЫЙ ОБЗОР	10
1.1. Обзор климатических изменений в Кыргызстане за последние 100 лет	10
1.2. Методы анализа временных рядов для прогнозирования температуры воздуха	14
1.3. Прогнозирование среднемесячной температуры воздуха с использованием нейросетевой модели LSTM	35
1.4. Выводы по главе	42
ГЛАВА 2. МЕТОДОЛОГИЯ И МЕТОДЫ ИССЛЕДОВАНИЯ.....	43
2.1. Математическое моделирование турбулентного потока дымовых выбросов.....	43
2.2. Численное моделирование диффузии загрязняющих веществ в атмосфере в ANSYS CFX	54
2.3. Влияние метеорологических параметров и препятствий на траекторию выбросов в ANSYS Fluent	63
2.4. Выводы по главе	83
ГЛАВА 3. ЧИСЛЕННОЕ МОДЕЛИРОВАНИЕ ПРОЦЕССОВ ФИЛЬТРАЦИИ ЖИДКОСТИ И ПРОГНОЗИРОВАНИЕ ОСАДКОВ	84
3.1. Численное моделирование переноса пассивной примеси над ограниченной территорией	84
3.2. Моделирование процесса тепловлагопереноса в неоднородной пористой среде с учетом разрыва пористости.....	95
3.3. Прогнозирование временных рядов осадков с помощью нейронных сетей на Python (LSTM, RNN, CNN модели)	115
3.4. Выводы по главе	122
СПИСОК ИСПОЛЬЗОВАННЫХ ИСТОЧНИКОВ	125
Приложения	136

ПЕРЕЧЕНЬ СОКРАЩЕНИЙ И ОБОЗНАЧЕНИЙ

НС нейронные сети

ПГ – парниковые газы

ПМ - поРисуноктый материал

ЗСМ - зона сухого материала

ЗПН - зона полного намокания

ЗЧН - зоны частичного намокания

ГР - граница раздела

ЖС - связанная жидкость

ЖН – не связанная жидкость

LSTM (Long Short-Term Memory) долгосрочная кратковременная память

ВВЕДЕНИЕ

Актуальность темы диссертации. Современные изменения климата оказывают значительное влияние на различные регионы мира, включая Кыргызстан, который отличается сложным горным рельефом и разнообразием микроклиматических зон. Исследование климатических изменений в данном регионе имеет важное значение для прогнозирования возможных природных катастроф (засух, наводнений, изменения водных ресурсов, деградации ледников), а также для адаптации сельского хозяйства, гидроэнергетики и других стратегически важных отраслей экономики.

В условиях глобального потепления особую значимость приобретает разработка точных и надежных математических моделей, позволяющих анализировать и прогнозировать климатические процессы на региональном уровне. Такие модели необходимы для:

- Оценки динамики температуры, осадков, влажности и других метеорологических параметров в отдельных районах Кыргызстана.
- Разработки сценариев изменения климата и их последствий для экономики, экологии и социального развития.
- Поддержки принятия решений в сфере водных ресурсов, сельского хозяйства, градостроительства и энергоснабжения.

Кроме того, учитывая ограниченное количество метеостанций в горных районах Кыргызстана, математическое моделирование становится важным инструментом для восполнения пробелов в данных и повышения точности прогнозов. Исследование региональных климатических характеристик, оценка будущих изменений климата и их последствий имеют существенное значение при планировании социально-экономического развития регионов Кыргызской Республики. Наблюдаемые региональные климатические изменения имеют тенденцию к повышению среднегодовой температуры воздуха, при этом наибольший рост отмечается с середины 1970-х гг.

Таким образом, исследование по данной теме является актуальным как с научной точки зрения, поскольку способствует развитию методов регионального климатического моделирования, так и с практической, так как результаты могут использоваться государственными и международными организациями для разработки стратегий адаптации к изменению климата в Кыргызстане.

Связь темы диссертации с приоритетными научными направлениями, крупными научными программами (проектами), основными научно-исследовательскими работами, проводимыми образовательными и научными учреждениями. Диссертационная работа является инициативной.

Цель диссертационной работы - разработка и применение математических моделей для анализа и прогнозирования климатических параметров (средней температуры воздуха, уровня СО₂ и осадков) в отдельных регионах Кыргызстана на основе современных методов машинного обучения и численного моделирования.

Для достижения цели исследования были поставлены следующие задачи:

1. Провести сравнительный анализ и прогнозирование среднемесячной температуры воздуха в отдельных регионах Кыргызстана на основе временных рядов с использованием методов машинного обучения;
2. Осуществить анализ динамики и прогнозирование выбросов углекислого газа (СО₂) в атмосферу с учетом климатических и антропогенных факторов;
3. Разработать математические модели для описания процессов переноса загрязняющих веществ в атмосфере, включая уравнение Навье-Стокса для моделирования движения выбросов и уравнение переноса примесей с учетом наличия препятствий;
4. Выполнить численный расчет фильтрации потоков жидкости в пористую среду с учетом разрыва пористости для оценки гидродинамических

процессов, влияющих на климатическую систему региона;

5. Провести анализ и прогнозирование среднемесячных сумм осадков за последние 100 лет по данным метеорологических наблюдений, используя модели временных рядов и методы машинного обучения;

6. Выполнить численное моделирование процессов диффузии загрязняющих веществ в атмосфере от точечного источника с использованием программного комплекса ANSYS CFX, учитывая влияние турбулентных процессов и аэродинамических факторов;

7. Осуществить расчет траекторий распространения загрязняющих веществ в атмосфере с учетом турбулентных эффектов и наличия препятствий, используя методы вычислительной гидродинамики в программном комплексе ANSYS Fluent.

Научная новизна работы состоит в разработке математической модели прогнозирования среднемесячной температуры воздуха, позволяющей оценивать изменения температуры с точностью до $1,6^{\circ}\text{C}$, основанной на нейросетевой архитектуре LSTM и проанализированной на данных за 100-летний период (1921–2021 гг.);

- выполнен прогноз динамики выбросов углекислого газа (CO_2) и общих трендов парниковых газов (ПГ) за 1990–2022 гг., проведена аппроксимация выбросов ПГ до 2050 г.;

- получена математическая модель турбулентного потока дыма при наличии препятствий на пути его распространения от точечного источника, разработанная с использованием программного комплекса ANSYS Fluent;

- впервые применено уравнение Навье-Стокса для моделирования турбулентного потока дыма с учетом влияния препятствий на траекторию его распространения от точечного источника выбросов;

- разработана модель диффузионного рассеивания дымовых выбросов в атмосферу с использованием программного комплекса ANSYS CFX, учитывающая динамические характеристики потока;

- впервые применено уравнение потока энергии для моделирования диффузионного рассеивания дымовых выбросов в атмосфере от точечного источника;
- получены количественные зависимости скорости и дальности распространения дымовых потоков от направления и скорости ветра, что позволяет более точно учитывать атмосферные условия при прогнозировании загрязнения воздуха;
- выполнены численные расчеты фильтрации распространения потока жидкости в пористую среду с учетом разрыва пористости, что позволяет учитывать гидродинамические процессы в неоднородных пластах, влияющие на климатическую систему;
- проведен анализ среднемесячных осадков за 1921–2021 гг., разработана модель прогнозирования среднемесячных сумм осадков до 2040 г. с учетом региональных климатических особенностей Кыргызстана.

Практическая значимость полученных результатов.

- разработанные модели позволяют эффективно прогнозировать климатические параметры, включая среднемесячную температуру воздуха, осадки и динамику выбросов загрязняющих веществ, что способствует более точному анализу климатических изменений в отдельных регионах Кыргызстана;
- разработанные математические модели распространения выбросов из дымовых труб, учитывающие влияние препятствий и метеорологических факторов, позволяют оценивать траектории движения загрязняющих веществ в атмосфере и предсказывать зоны наибольшего их накопления;
- применение уравнений Навье-Стокса и потока энергии для моделирования турбулентных и диффузионных процессов позволяет проводить точные расчеты динамики атмосферных выбросов в трехмерном пространстве с учетом нестационарных факторов;
- использование программных комплексов ANSYS Fluent и ANSYS CFX дает возможность решать стационарные и нестационарные задачи в 3D-

моделировании, что позволяет повысить точность расчетов процессов переноса загрязняющих веществ в атмосфере;

- полученные количественные зависимости скорости и дальности распространения дымовых потоков от направления и скорости ветра, стабильности атмосферы, температуры потока на выходе из трубы, температуры воздуха могут быть использованы при экологическом мониторинге и разработке мер по снижению вредного воздействия промышленных выбросов;

- разработанные прогнозные модели изменения температуры воздуха и осадков могут быть применены в сельском хозяйстве, водных ресурсах и градостроительстве для адаптации к изменениям климата и эффективного управления природными ресурсами.

Основные положения диссертации, выносимые на защиту:

1. Математическая модель прогнозирования среднемесячной температуры воздуха, основанная на анализе климатических данных за 100-летний период с использованием нейросетевой архитектуры LSTM, позволяющая выявлять долгосрочные тенденции изменения температуры в отдельных регионах Кыргызстана;

2. Анализ и сравнительное исследование состава атмосферного воздуха в осенний и весенний периоды, выявляющие особенности сезонных колебаний концентрации загрязняющих веществ, обусловленные метеорологическими условиями и антропогенной нагрузкой;

3. Прогнозная модель динамики выбросов углекислого газа (CO_2) в атмосферу, включающая количественные оценки изменения уровня выбросов с учетом климатических и техногенных факторов, а также тренды выбросов парниковых газов до 2050 года;

4. Результаты численного моделирования процессов диффузии и рассеивания дымовых выбросов из точечного источника в атмосфере, определяющие основные закономерности переноса загрязняющих веществ с учетом аэродинамических характеристик потока;

5. Модель турбулентного потока дымовых выбросов, учитывающая влияние препятствий (зданий и других объектов) на распространение загрязняющих веществ, построенная на основе расчетов в программном комплексе **ANSYS Fluent**, позволяющая оценить воздействие выбросов на качество воздуха в городской среде;

6. Модель прогнозирования суммарных атмосферных осадков, основанная на метеорологических данных за 1921–2021 гг., содержащая количественные зависимости для оценки их динамики до 2040 года в отдельных регионах Кыргызстана;

7. Расчеты процессов тепловлагопереноса в грунт, учитывающие взаимодействие почвы с атмосферными осадками и температурными изменениями, важные для прогнозирования гидрологических и климатических процессов.

Личный вклад соискателя состоит в теоретическом и практическом обосновании основных идей и положений исследования; в разработке математических моделей прогнозирования климатических параметров, включая среднемесячную температуру воздуха, осадки и выбросы углекислого газа (CO_2), с использованием методов машинного обучения и численного моделирования; в построении и реализации моделей диффузии и турбулентного переноса загрязняющих веществ в атмосфере с учетом препятствий; в проведении численных расчетов процессов тепловлагопереноса.

Постановка задач исследования, обсуждение и внедрение полученных результатов проводилось совместно с научным руководителем, профессором С.М.Сулаймановой.

Апробация результатов диссертации. Основные результаты данной работы рассмотрены: на Международной научно – практической конференции “20-летие ИНИТ КГУСТА им.Н.Исанова” Бишкек, 19-21 октября 2021 г. , на Международной конференции “Интеграция науки и образования в современном мире» Нурсултан (Астана), Казахстан. 15 октября 2021 г., на Международной

конференции «30-летие КГУСТА им.Н.Исанова” Бишкек, 28-30 мая 2022 г., на Международной научно-практической конференции «Роль науки и инновационных технологий в устойчивом развитии горных территорий и экосистем», КГТУ им. И. Раззакова (Кыргызстан, Бишкек, 27-28 октября 2022г.), на Международной научной конференции “Современная техника и технологии в научных исследованиях”, Научной станции Российской академии наук в г.Бишкек (НС РАН) 26 апреля 2023г., на Международной научно – практическая конференции “Современные тренды в строительстве: проблемы и пути решения” 80-летие выдающегося государственного и политического деятеля КР Н.Исанова ” Бишкек, 2 ноября 2023 г., на Международной научно-практической конференции «Цифровая трансформация общества и искусственный интеллект» Кыргызско-Германского института прикладной информатики , 23 ноября 2023 г.

Полнота отражения результатов диссертации в публикациях. По содержанию настоящей диссертации опубликовано 7 научных статей. Основные результаты диссертации опубликованы в журналах: “Проблемы автоматики и управления” (1 статья), "Вестник КГУСТА" (2 статьи), "Известия ВУЗов Кыргызстана" (1 статья), “Наука, новые технологии и инновации Кыргызстана” (1 статья), “Наука и инновационные технологии” (2 статьи).

Структура и объем диссертации. Диссертационная работа состоит из введения, трех глав, выводов, заключения, списка использованной литературы из 137. Основное содержание диссертации изложено на 124 страницах.

Автор выражает искреннюю благодарность научному руководителю д.ф.-м.н., профессору С.М.Сулаймановой за постановки задач, идею в исследовании метода, за советы и обсуждения на этапах формирования данной диссертации, а также за постоянное внимание к работе.

ГЛАВА 1. ЛИТЕРАТУРНЫЙ ОБЗОР

1.1. Обзор климатических изменений в Кыргызстане за последние 100 лет

Основным средством прогнозирования климата и оценки прошлых и будущих изменений климата является температура воздуха. Многие исследования показывают, что в условиях глобального потепления ведут по-разному ведут себя температуры, усредненные по отдельным регионам. Изменения регионального климата происходят часто гораздо быстрее на фоне глобальных изменений. В совместных исследованиях, проведенных С.М.Сулаймановой [1,4,6] проведены сравнительные анализы и составлен прогноз среднемесячной температуры воздуха в отдельных регионах Кыргызстана (Чуйского, Иссык-Кульского, Ошского регионов) [43,88,93] на основе временных рядов за 100летний период (1921-2021гг.) с нейросетевой моделью LSTM [14,16]. Динамика имеет не линейный тренд и показала, что температура значительно возросла. Также в работах [3,4] проведены анализы температуры воздуха весенних и осенних месяцев вышеперечисленных регионов Кыргызстана за 100летний период. Проведены расчеты: средних отклонений и среднее значения температуры воздуха. Прогнозы совпали с моделями LSTM.

Наряду с факторами в изменении климата также выступают высокие значения увеличение углекислого газа (CO_2). Глобальное потепление во многих исследованиях по изменению климата связывается с ростом малой концентрации углекислого газа k_{CO_2} в атмосфере ($k_{\text{CO}_2}=5 \times 10^{-4}$). При решении задачи прогнозирования временных рядов, членами которых являются эмиссии и парниковые газы в эквиваленте CO_2 тысячи тонн в год начиная с 1990 по 2018 гг.. В данной работе в качестве нейронной сети была выбрана обобщенно-регрессионная сеть, реализующая методы ядерной аппроксимации (GRNN). Недавние исследование в области прогнозирования с помощью GRNN предполагают, что GRNN может быть многообещающей альтернативной традиционной модели временных рядов [105,110]. Он показал большие

возможности в моделировании и прогнозировании нелинейных временных рядов и постепенно входит в ряды многоцелевых, широко используемых методов.

В Национальном докладе о состоянии окружающей среды [68] оценка климатических изменений выполнена с преобразованием исходных рядов наблюдений, и заключается в дифференцировании отдельных рядов, усреднении дифференцированных рядов, затем интегрировании суммарного ряда. В исторических рядах использованных метеостанций была устранена климатическая неоднородность (гомогенизация), проведен этап проверки качества данных и заполнены пробелы с использованием специализированного программного приложения.

В работе [40] рассматривается анализ уровня наблюдаемых и ожидаемых климатических изменений, степени воздействия на Кыргызскую Республику для эффективного выполнения необходимых действий по адаптации к климатическим изменениям. Наблюдаются многочисленные последствия климатических изменений, которые в настоящее время оказывают серьезное воздействие на окружающую среду, здоровье населения и различные сферы экономической деятельности человека.

Загрязнение атмосферного воздуха обусловлено выбросами из точечных источников и других источников, а также биогенных объектов. Все существенные доказательства того, что загрязнение воздуха влияет на здоровье людей и животных, наносит ущерб растительности, почве и материалам, влияет на климат, снижает видимость и солнечную радиацию, создает угрозу безопасности и в целом мешает наслаждаться жизнью и имуществом. [1].

Около 60% выбросов приходится на точечные источники. К основным загрязнителям воздуха обычно относят пыль, твердые частицы, PM10 (твердые частицы диаметром 10 микрон и менее) и PM2,5 из-за неполного сгорания топлива или побочных продуктов процесса, оксиды азота (в основном из-за сочетания атмосферного кислорода и азота при высоких температурах), двуокись

серы (в основном из-за сжигания топлива, содержащего большое количество серы), окись углерода (из-за не полностью сгоревшего топлива), озон и свинец.

Математические модели диффузии наиболее полезны в настоящее время, поскольку они предоставляют полезную информацию для прогнозирования концентрации загрязняющих веществ и быстро обеспечивают выходные данные. Математические модели качества воздуха представляют собой уникальные инструменты [2]:

- принятие мер по контролю за выбросами; то есть определение максимально допустимых уровней выбросов, которые будут соответствовать установленным стандартам качества воздуха.
- оценка предлагаемых методов и стратегий ограничения выбросов; то есть оценка воздействия будущих средств контроля

Аналитические решения уравнения трехмерной диффузии для приподнятого сплошного точечного источника с переменным ветром и вихревой диффузией получены только при ограниченных предположениях. Смит [128] использовал степенные вариации для ветра и диффузии и предположил, что вариация бокового ветра всегда имеет гауссову форму. Ragland [123] использовал степенной закон для коэффициентов диффузии по u и z , но считал ветер постоянным. Гандин и Соловейчик представили важное аналитическое решение, в котором использовались $u = u_1 z m$, $K_u = K_0 z m$ и $K_z = K_1 z$, где u — скорость ветра, K_u и K_z — коэффициенты вихревой диффузии в боковом и вертикальном направлениях соответственно [123]. Питерс и Клинзинг [115] исследовал эффект изменения значения мощности при постоянном ветре. Максимальная концентрация на уровне земли хорошо согласуется с результатом Гаусса для нейтральной устойчивости атмосферы [123]. Мехдизаде и Рифай [113] изучали моделирование шлейфов точечных источников на больших высотах. Они использовали две модели дисперсии EPA, Screen и ISC, и получили дисперсию SO₂. Shamsijey [126] изучал рассеивание выбросов твердых частиц.

К настоящему времени имеется большой опыт в решении задач физики атмосферы и прикладной метеорологии с помощью математических моделей и анализа фактической информации [48, 59, 65, 75,]. В зависимости от исследования конкретной проблемы выбираются модели различного уровня по физическому содержанию для эффективной реализации их на вычислительных машинах. Теоретическую основу моделей данного класса составляют уравнения гидротермодинамики атмосферы и уравнения переноса и трансформации примесей.

В данной работе [2] используется математическая модель гидротермодинамики атмосферных процессов на ограниченной территории регионального масштаба. Для записи уравнений используя декартову систему координат x , y , z (ось x ориентирована на восток, y – на юг, z – вертикаль вниз). Атмосферные процессы: уравнения движения, уравнения неразрывности, уравнение переноса тепла и примеси, уравнение состояния (Клайперона). Всего было проведено три численных эксперимента по моделированию процесса распространения примеси над территорией Кыргызской Республики с различными метеорологическими условиями [24]. Интегрирование уравнения диффузии примеси во всех экспериментах проводилось на 30 и более суток модельного времени с шагом 1 сутки. Использовался реальный рельеф поверхности, изолинии. Результаты проведенных численных экспериментов демонстрируют реалистичность моделирования процесса распространения примеси.

В совместных работах С.М.Сулаймановой [5] было выполнено численное моделирование процессов диффузии загрязняющих веществ в атмосфере от точечного источника с помощью программного комплекса ANSYS CFX [58]. В работе Манукян А.А., Селиверстова Т.В исследовалась траектория распространения загрязнений от точечного источника в зависимости от характера ландшафта [107, 110].

Также был осуществлен расчет траекторий распространения загрязняющих веществ в атмосфере с учетом турбулентных эффектов и наличия препятствий. Использовались методы вычислительной гидродинамики в программном комплексе ANSYS Fluent [108].

1.2. Методы анализа временных рядов для прогнозирования температуры воздуха

Нейронные сети GRNN (Generalized Regression Neural Network) предназначены для решения задач обобщенной регрессии, анализа временных рядов и аппроксимации функций. Отличительной чертой предложенных сетей является очень высокая скорость их обучения.

Архитектура сети GRNN показана на рисунке 1.1. Она аналогична архитектуре радиальной базисной сети, но особенностью является структура второго слоя, в котором используется блок normprod для вычисления нормированного скалярного произведения строки массива весов **LW21** и вектора входа **a1** в соответствии со следующим соотношением:

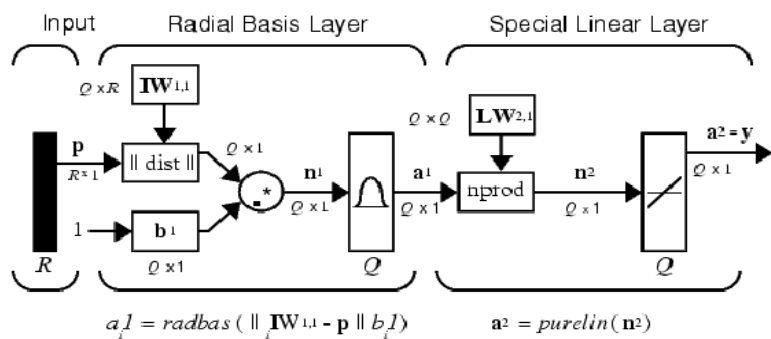


Рисунок.1.1. Архитектура сети GRNN

Первый слой – это радиальный базисный слой с числом нейронов, равным числу элементов Q обучающего множества. В качестве начального приближения для матрицы весов выбирается массив **P1**; смещение **b1** устанавливается равным вектор-столбцу с элементами 0,7/SPREAD.[37,110]

Функция `dist` вычисляет расстояние между вектором входа и вектором веса нейрона; вход функции активации `n1` равен поэлементному произведению взвешенного входа сети на вектор смещения; выход каждого нейрона первого слоя `a1` является результатом преобразования вектора `n1` радиальной базисной функцией `radbas`.

Второй слой – это линейный слой с числом нейронов, также равным R , причем в качестве начального приближения для матрицы весов $\mathbf{LW}\{2,1\}$ выбирается массив $\mathbf{T}.$ [52,118]

В данной задаче 100 точек (среднемесячная температура воздуха за 100 летний период для регионов Кыргызстана за март и ноябрь месяцы) данных массив \mathbf{T} , которые будут результатами. Входы массивы \mathbf{X} должны приводить к целевым выходам \mathbf{T} .

$$\mathbf{X} = [6,2 \ 7,1 \ 1,7 \ 0,5 \ 6 \ 5 \ 3,6 \ \dots \ 5,6]; \quad \mathbf{T} = [1 \ 2 \ 3 \ 4 \ 5 \ 6 \ 7 \ 8 \ \dots \ 100];$$

Применяется NEWGRNN для создания обобщенной регрессионной сети y . Используется y SPREAD чуть меньше 1, расстояния между входными значениями, чтобы получить функцию y , которая достаточно точно соответствует отдельным точкам данных. [4]

$$\text{spread} = 0.7; \text{net} = \text{newgrnn}(\mathbf{X}, \mathbf{T}, \text{spread}); \quad \mathbf{A} = \text{net}(\mathbf{X});$$

Используется сеть для аппроксимации функции при новом входном значении y .

$$x = 3.5; y = \text{net}(x);$$

Реакция сети моделируется для многих значений, что представляет функцию в следующем виде: $X2 = 0..7,1:100; Y2 = \text{net}(X2);$ [30]

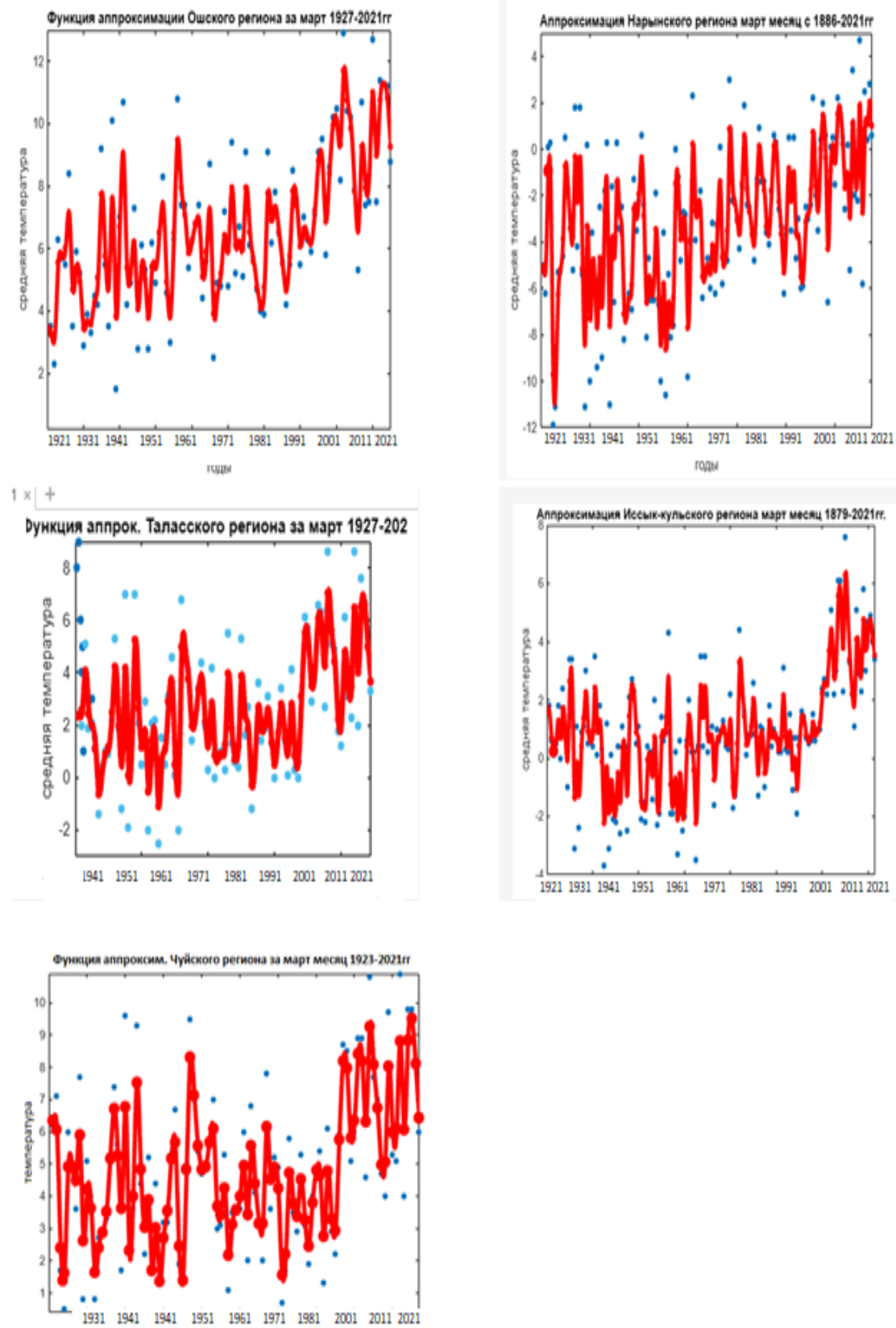


Рисунок.1.2. Среднемесячные температуры воздуха за март месяц

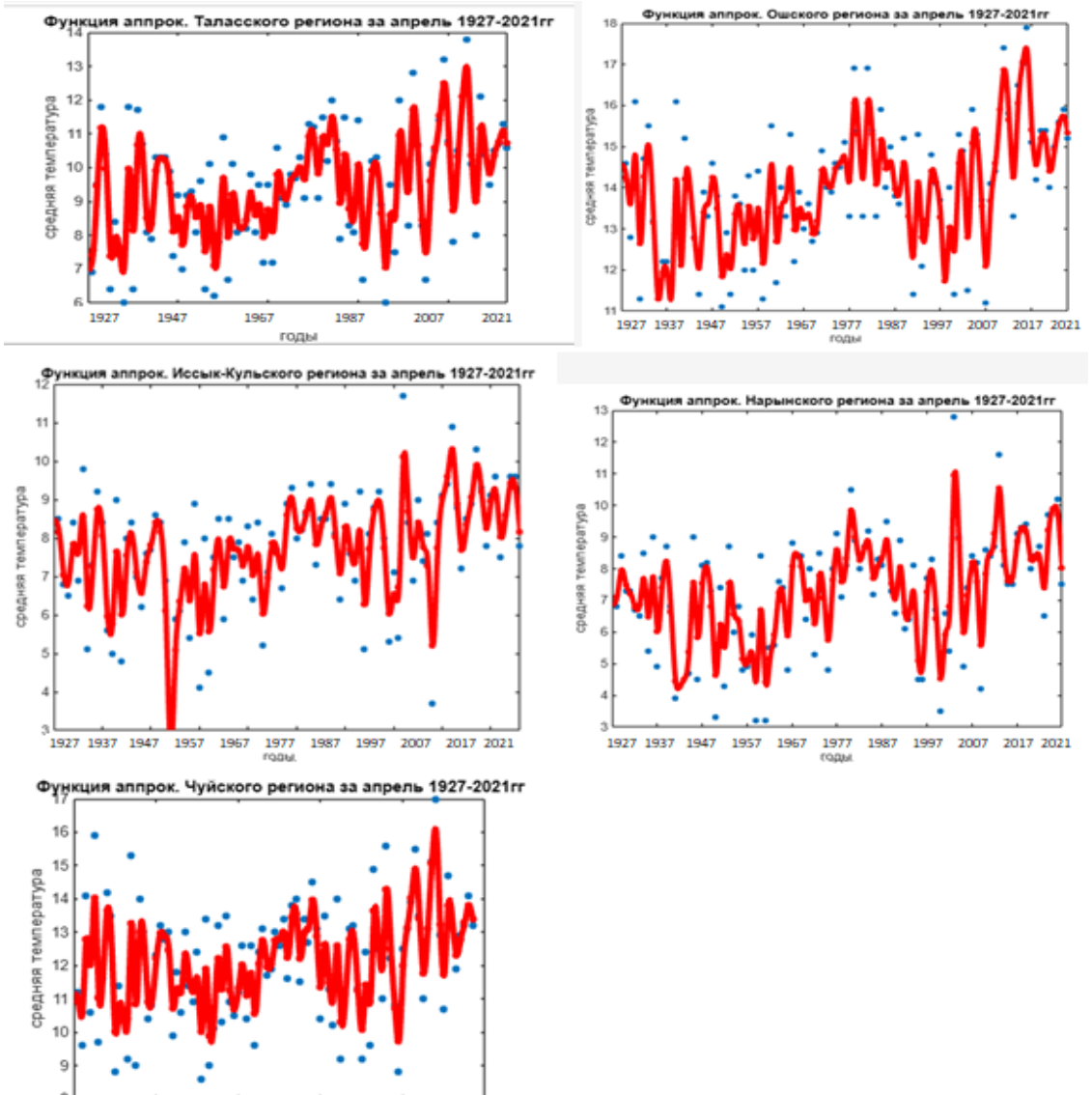


Рисунок.1.3. Среднемесячные температуры воздуха за март месяц

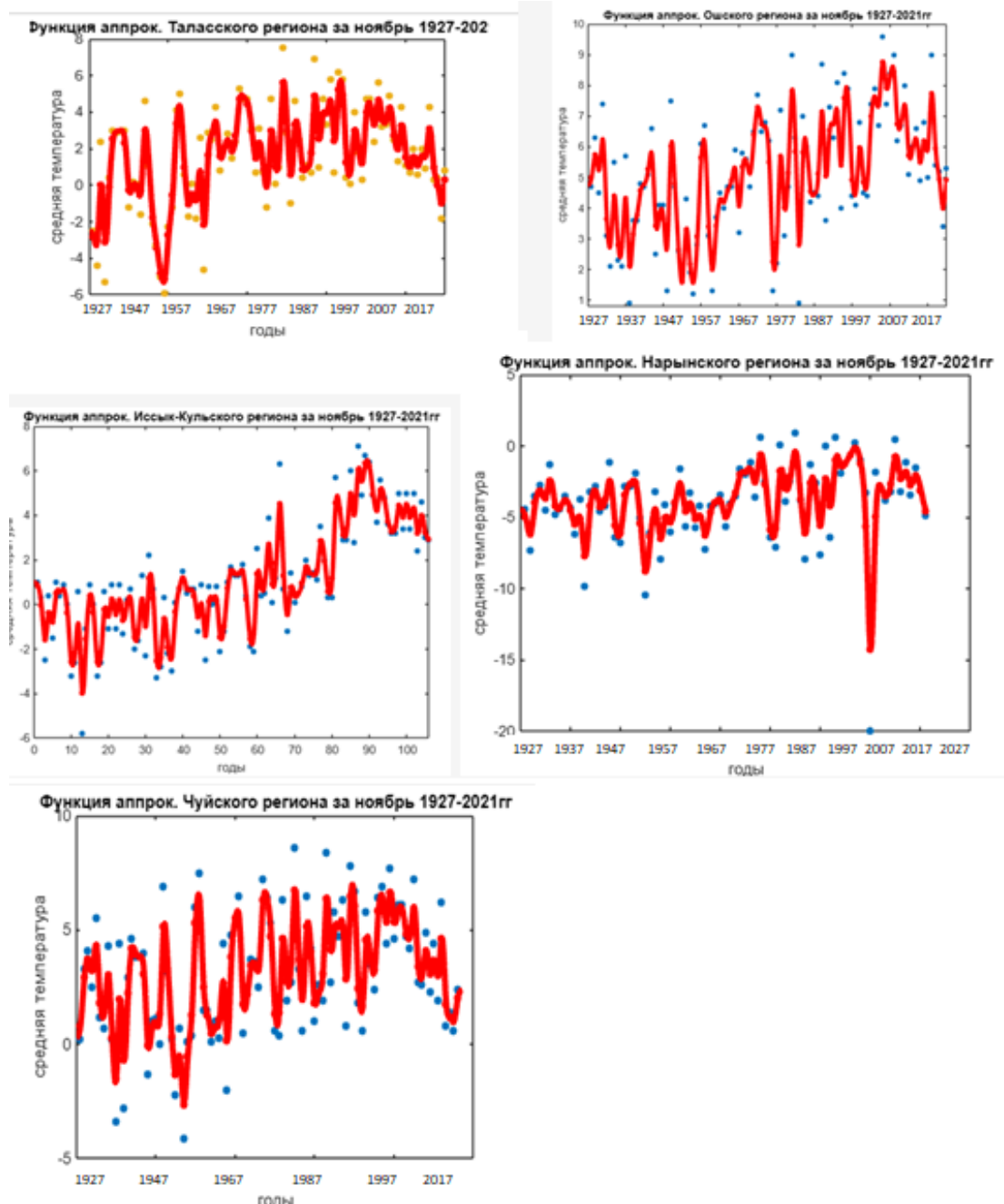


Рисунок.1.4. Среднемесячные температуры воздуха за ноябрь месяц

На рисунках 1.2.,1.3. приведен анализ для отдельных регионов (Чуйский, Таласский, Нарынский, Иссык-Кульский и Ошский) Кыргызстана полученные значения среднемесячной температуры воздуха с помощью модели НС функции GRNN за весенний период март, апрель месяцы, аналогично на рисунках.1.4., 1.5 данные за осенний период ноябрь месяц за 100 летний период с 1921-2021гг..

На рисунках можно увидеть динамику изменения температуры за последние десятилетия, как в весенний, так и осенний периоды.

Модели НС функции GRNN за весенний период март месяц, аналогично на рисунке.1.5., 1.6. данные за осенний период октябрь, ноябрь месяцы за 100 летний период с 1921-2021гг. На рисунках можно увидеть динамику изменения температуры за последние десятилетия, как в весенний так и осенний периоды.

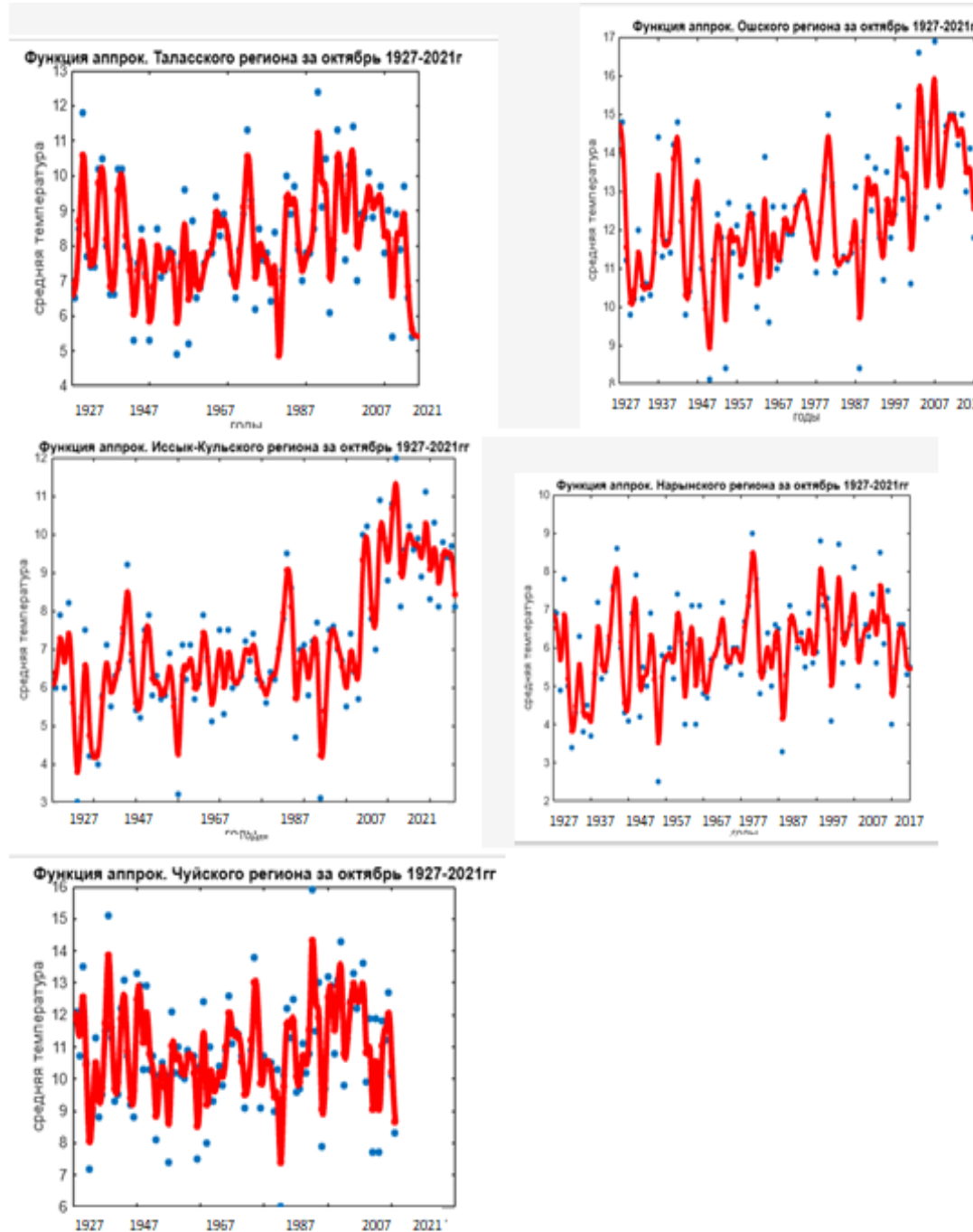


Рисунок.1.5. Среднемесячные температуры воздуха за ноябрь месяц

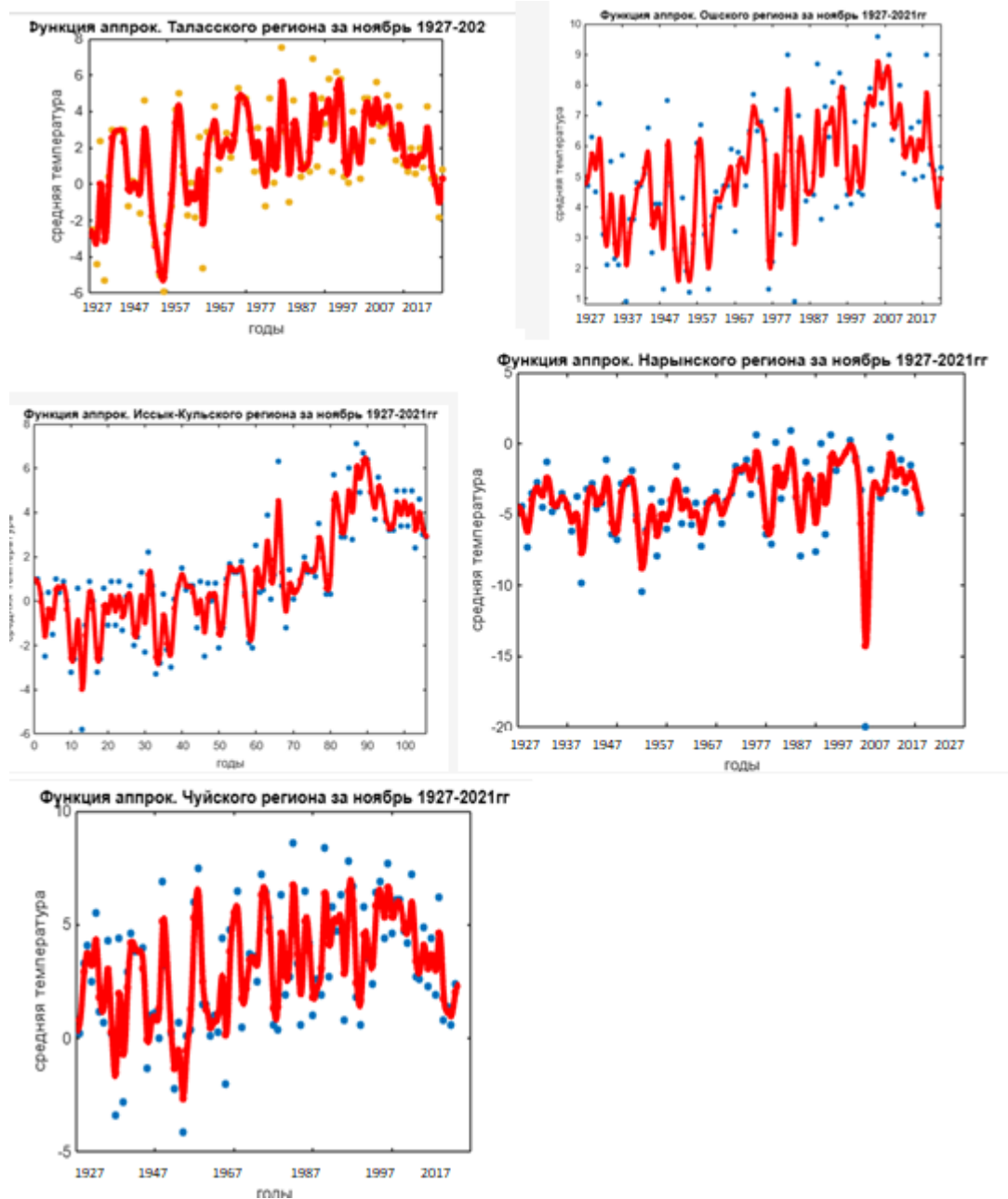


Рисунок.1.6. Среднемесячные температуры воздуха за ноябрь месяц

На рисунке 1.3, рисунке 1.4. приведен анализ для отдельных регионов (Чуйский, Таласский, Нарынский, Иссык-Кульский и Ошский) Кыргызстана полученные значения среднемесячной температуры воздуха с помощью модели НС функции GRNN за весенний период март, апрель месяцы, аналогично на рисунке 1.5, 1.6. данные за осенний период ноябрь месяц за 100 летний период с 1921-2021гг. На рисунках можно увидеть динамику изменения температуры за последние десятилетия, как в весенний, так и осенний периоды.

ТАБЛИЦА.1.1. Среднее значение температуры воздуха и среднее отклонение Иссык-кульский регион за 1921-2021гг.

Иссык-кульский регион	Месяцы с 1921-2021гг.			
	Март	апрель	Октябрь	Ноябрь
Среднее значение температуры воздуха	2.2	1.52	1.79	2.550
среднее отклонение	1.03	7.65	7.07	0.97

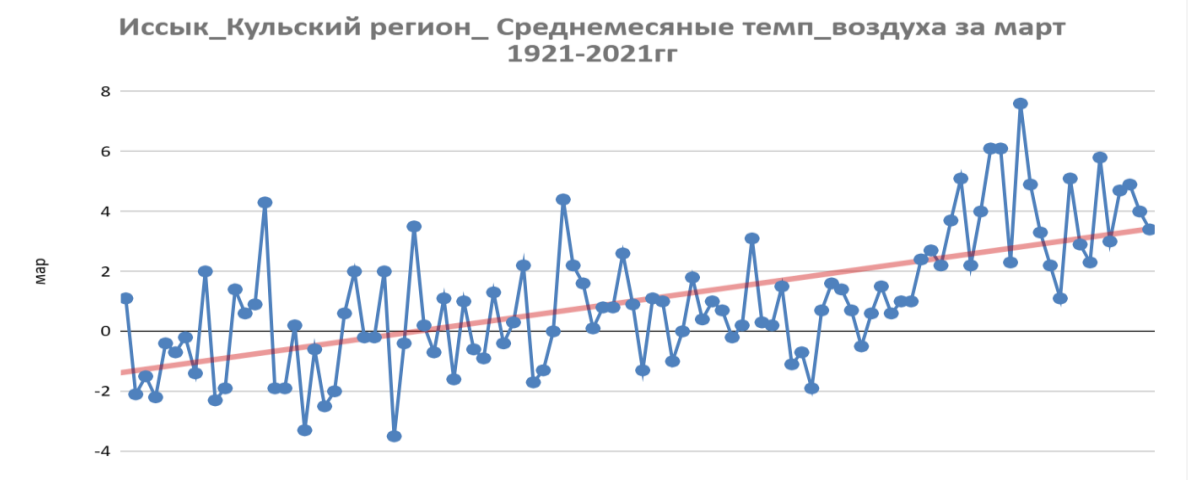


Рисунок.1.7. Среднемесячные температуры воздуха за март месяц Иссык -Кульского региона

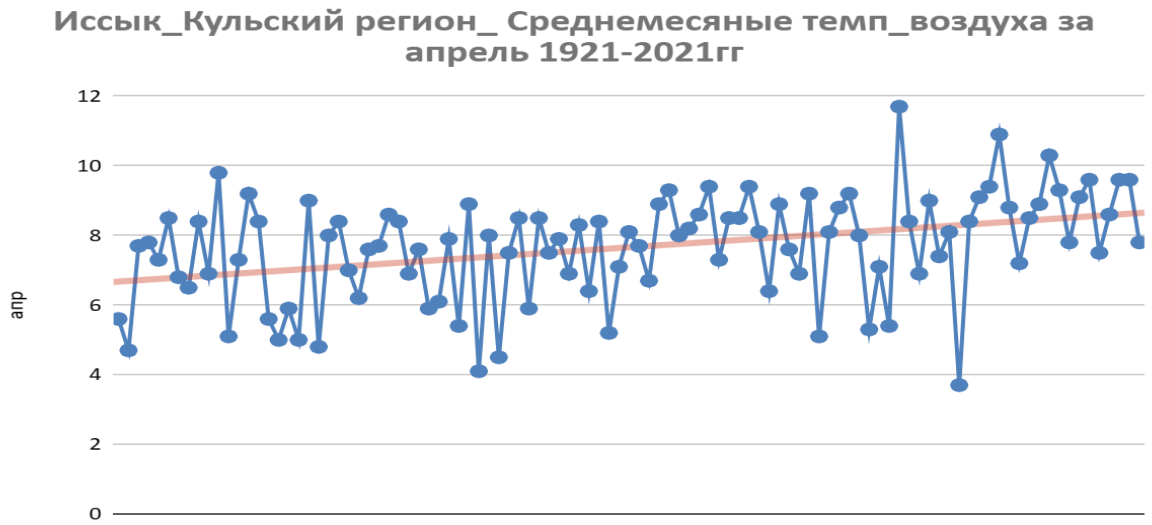
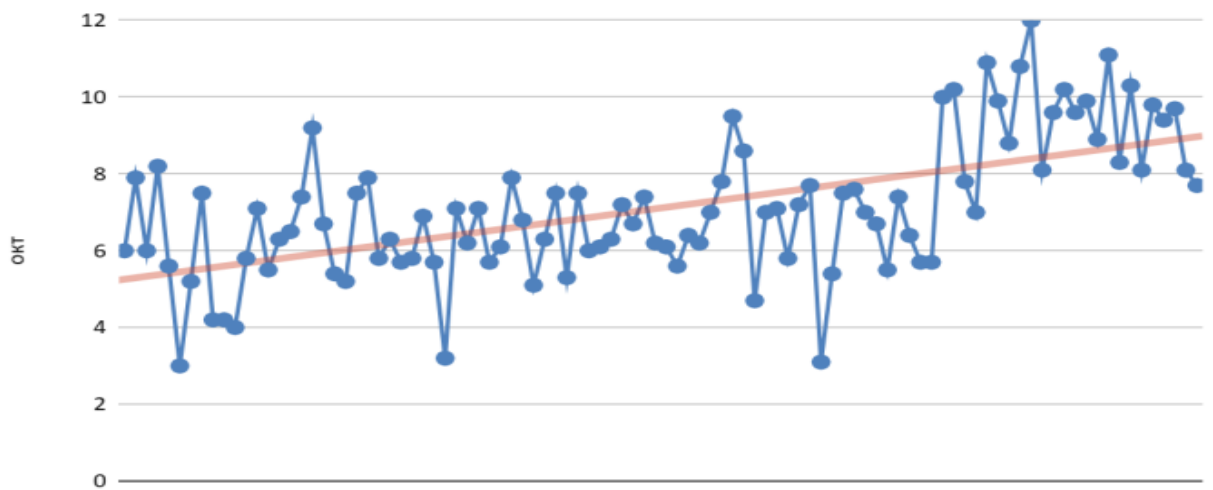


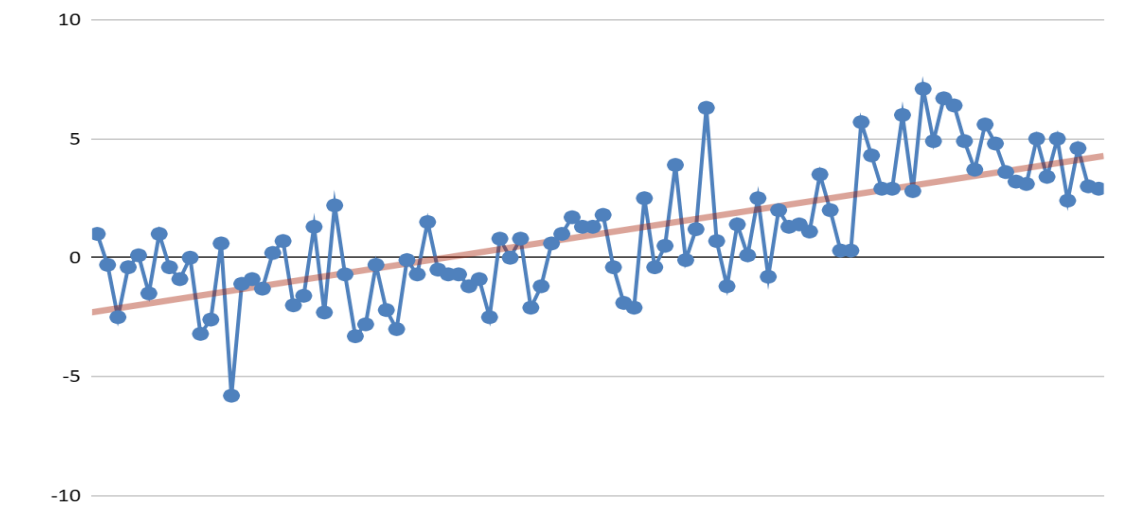
Рисунок.1.8. Среднемесячные температуры воздуха за апрель месяц Иссык -Кульского региона

Иссык_Кульский регион_ Среднемесячные темп_воздуха за октябрь 1921-2021ггокт



**Рисунок.1.9. Среднемесячные температуры воздуха за октябрь месяца
Иссык -Кульского региона**

Иссык_Кульский регион_ Среднемесячные темп_воздуха за ноябрь 1921-2021ггокт



**Рисунок.1.10. Среднемесячные температуры воздуха за ноябрь месяца
Иссык -Кульского региона**

В табл.1.1. приведены значений: средняя температура воздуха и среднее отклонение по Иссык-кульскому региону, относительно за весенний период в марте температура воздуха выше на $0,95^{\circ}\text{C}$, в осенний период сравнительно за

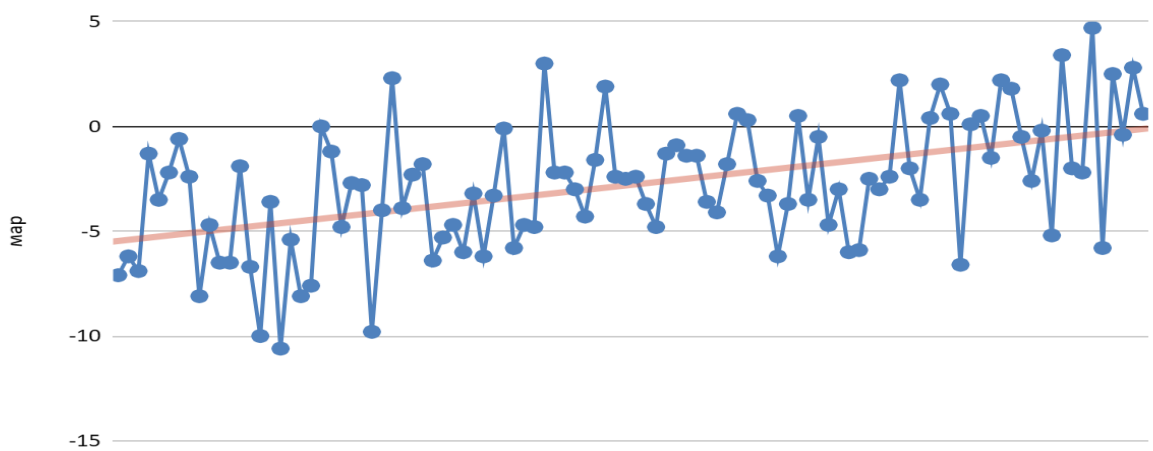
два месяца: октябрь и ноябрь в последнем месяце температура воздуха на $0,76^{\circ}\text{C}$ выше. По среднему отклонению значения соответствующие по заданным периодам. Если сравнить то в апреле месяце выше на $7,65^{\circ}\text{C}$, а в осенние месяцы разница составляет на $6,1^{\circ}\text{C}$.

На рисунках (1.7, 1.8, 1.9, 1.10) четко показана динамика среднемесячной температуры воздуха по Иссык-кульскому региону весенние и осенние месяцы за 100летний период. Наблюдается значительный рост температуры воздуха в особенности в марте и ноябре месяцах. Средний рост температуры воздуха составляет $1,8^{\circ}\text{C}$ [89].

ТАБЛИЦА.1.2. Среднее значение температуры воздуха и среднее отклонение Нарынский Регион за 1921-2021гг.

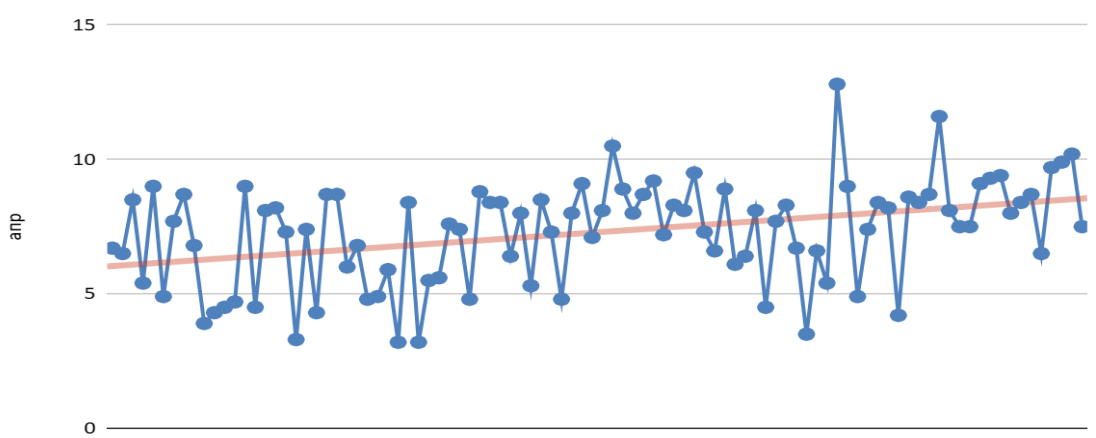
Нарынский регион	Месяцы с 1921-2021гг.			
	Март	апрель	Октябрь	Ноябрь
Среднее значение температуры воздуха	2.75	3.09	1.38	1.24
среднее отклонение	2.85	7.24	5.95	3.49

**Нарынский регион_ Среднемесячные темп_воздуха за март
1921-2021ггокт**



**Рисунок.1.11. Среднемесячные температуры воздуха за март месяц
Нарынского региона**

**Нарынский регион_ Среднемесячные темп_воздуха за апрель
1921-2021гг**



**Рисунок.1.12. Среднемесячные температуры воздуха за апрель месяц
Нарынского региона**

**Нарынский регион_ Среднемесячные темп_воздуха за октябрь
1921-2021ггокт**

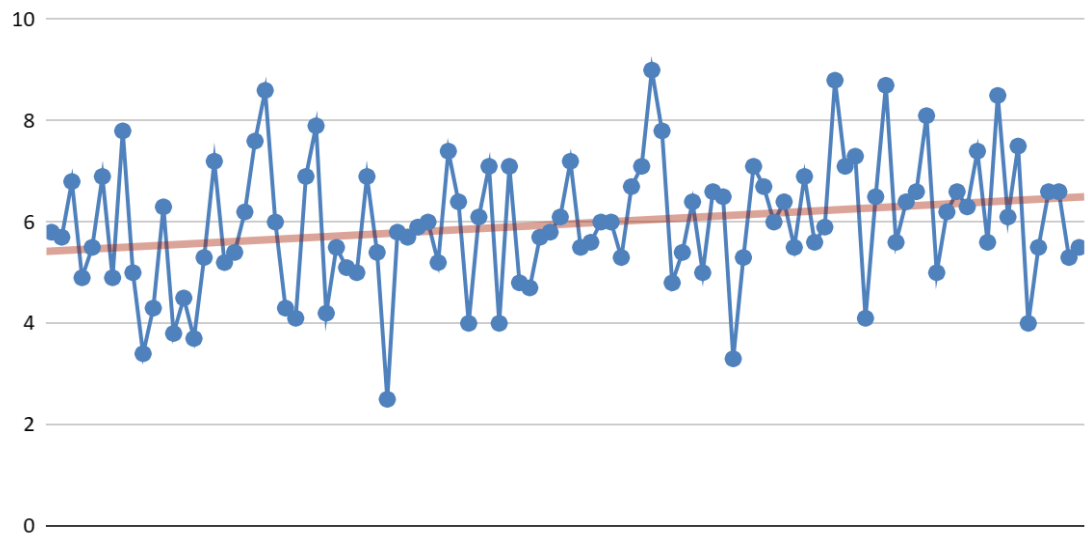


Рисунок.1.13. Среднемесячные температуры воздуха за октябрь месяц
Нарынского региона

**Нарынский регион_ Среднемесячные темп_воздуха за ноябрь
1921-2021гг**

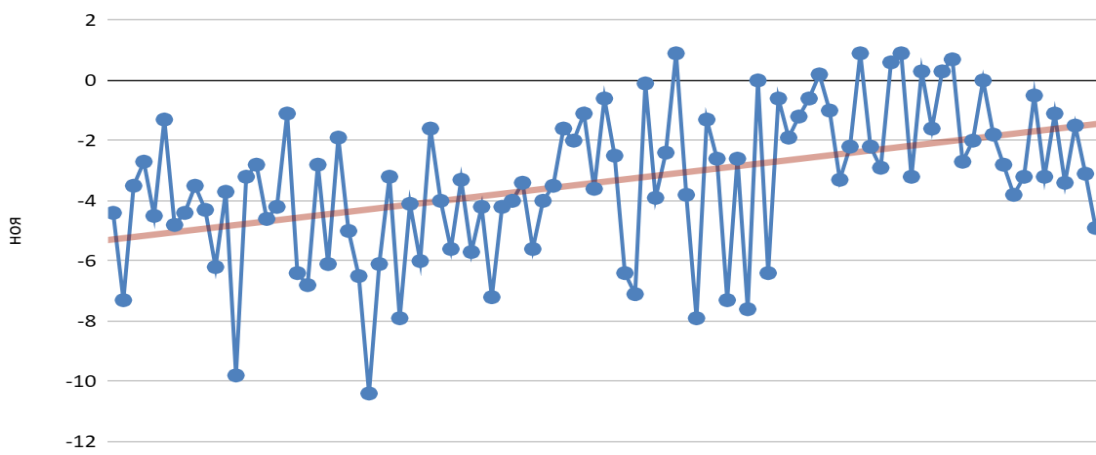


Рисунок.1.14. Среднемесячные температуры воздуха за ноябрь месяц
Нарынского региона

В табл.1.2. приведены значения: средняя температура воздуха и среднее отклонение по Нарынскому региону, относительно за весенний период в апреле температура воздуха выше на $0,34^{\circ}\text{C}$, в осенний период сравнительно за два месяца: октябрь и ноябрь в первом месяце температура воздуха на $0,14^{\circ}\text{C}$ выше. По среднему отклонению значения соответствующие по заданным периодам. Если сравнить то в апреле месяце выше на $4,39^{\circ}\text{C}$, а в осенние месяцы разница составляет на $2,46^{\circ}\text{C}$.

На рисунках (1.11, 1.12, 1.13, 1.14) четко показана динамика среднемесячной температуры воздуха по Нарынскому региону весенние и осенние месяцы за 100летний период. Наблюдается значительный рост температуры воздуха в особенности в марте и ноябре месяцах. Средний рост температуры воздуха составляет $1,6^{\circ}\text{C}$.[89]

ТАБЛИЦА.1.3. Среднее значение температуры воздуха и среднее отклонение Чуйский регион за 1921-2021гг.

Чуйский регион	Месяцы с 1921-2021гг.			
	март	апрель	октябрь	ноябрь
Среднее значение температуры воздуха	2,67	1,82	1,77	2,82
среднее отклонение	4,77	12,15	10,79	3,14

**Чуйский регион_ Среднемесячные темп_воздуха за март
1921-2021гг**

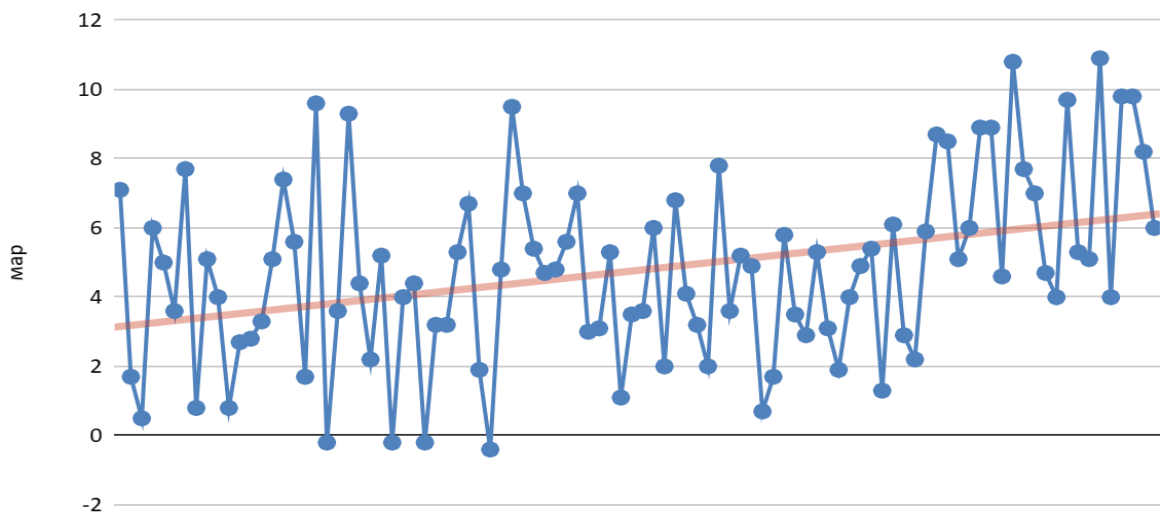


Рисунок.1.15. Среднемесячные температуры воздуха за март месяц
Чуйского региона

**Чуйский регион_ Среднемесячные темп_воздуха за апрель
1921-2021гг**

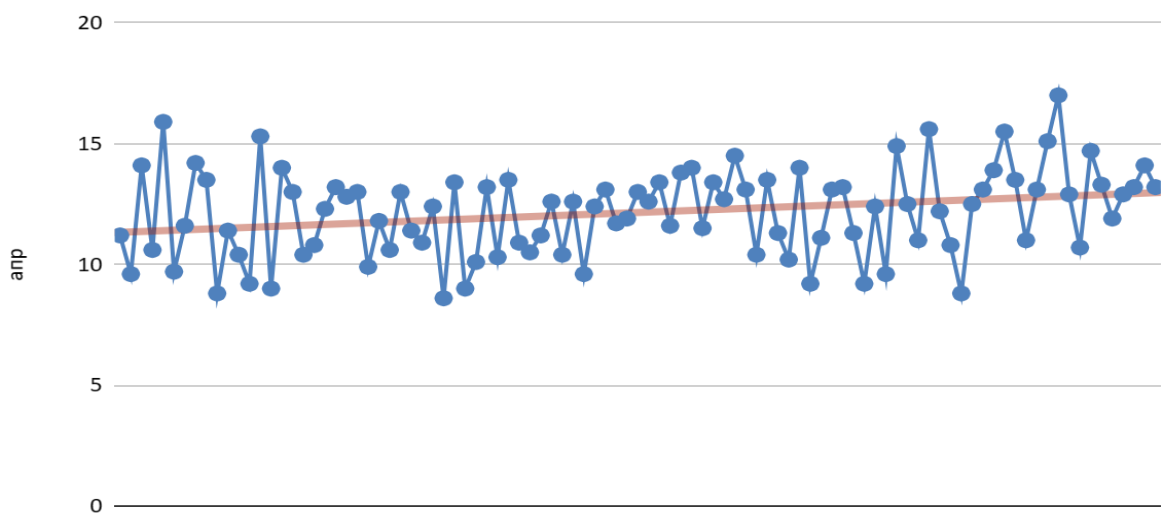


Рисунок.1.16. Среднемесячные температуры воздуха за апрель месяц
Чуйского региона

**Чуйский регион_ Среднемесячные темп_воздуха за октябрь
1921-2021гг**

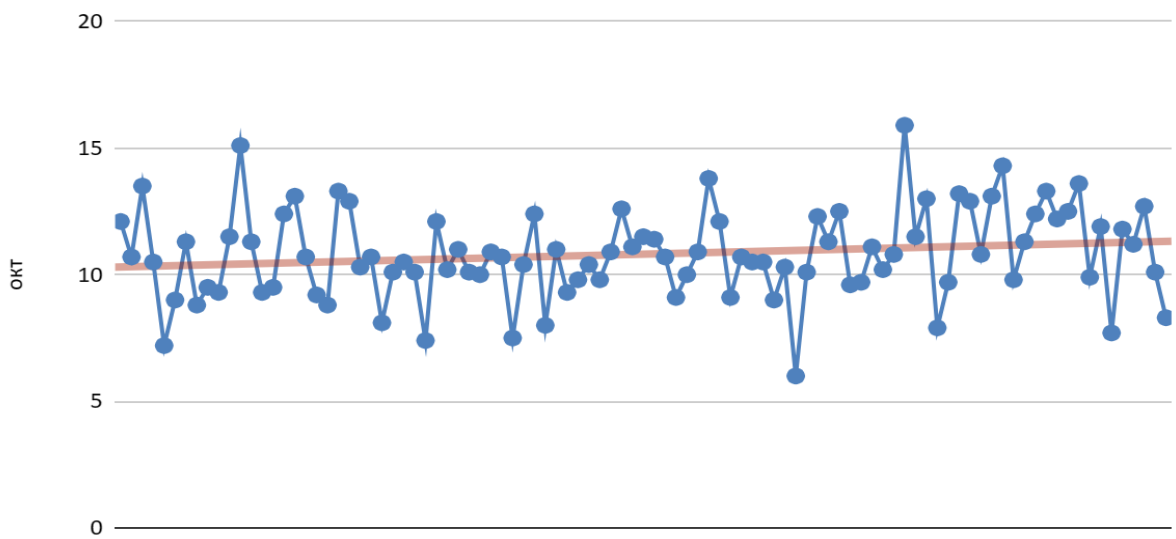


Рисунок.1.17. Среднемесячные температуры воздуха за октябрь месяц
Чуйского региона

**Чуйский регион_ Среднемесячные темп_воздуха за ноябрь
1921-2021гг**

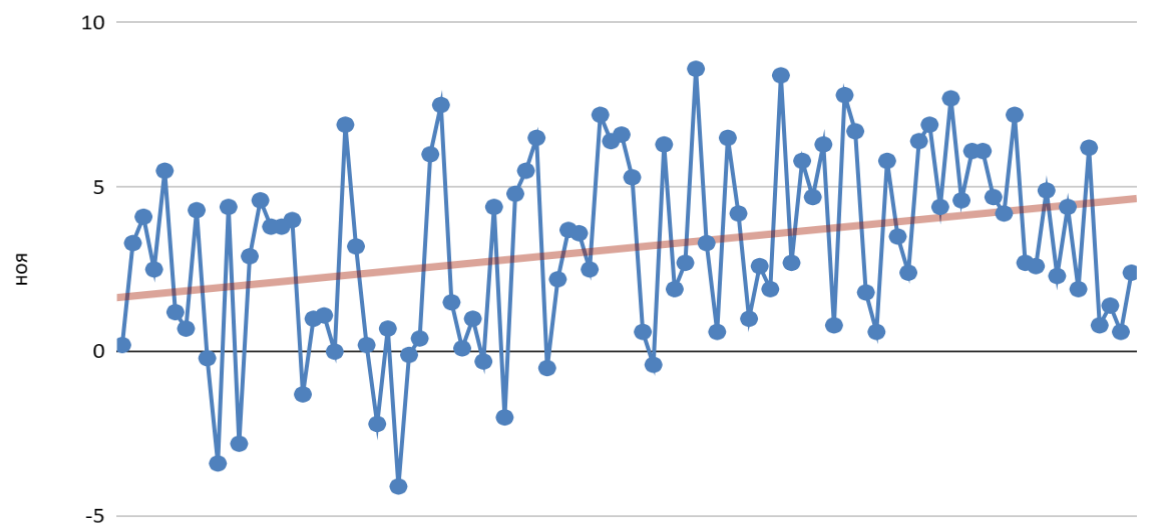


Рисунок.1.18. Среднемесячные температуры воздуха за ноябрь месяц
Чуйского региона

В табл.1.3. приведены значений: средняя температура воздуха и среднее отклонение по Чуйскому региону, относительно за весенний период в марте температура воздуха выше на $0,85^{\circ}\text{C}$, в осенний период сравнительно за два

месяца: октябрь и ноябрь в последнем месяце температура воздуха на 1,05 C° выше. По среднему отклонению значения соответствующие по заданным периодам. Если сравнить то в апреле месяце выше на 7,38 C°, а в осенние месяцы разница составляет на 7,65 C°.

На рисунках (1.15, 1.16, 1.17, 1.18) четко показана динамика среднемесячной температуры воздуха по Чуйскому региону весенние и осенние месяцы за 100летний период. Наблюдается значительный рост температуры воздуха в особенности в марте и ноябре месяцах. Средний рост температуры воздуха составляет 2,1 C°[8].

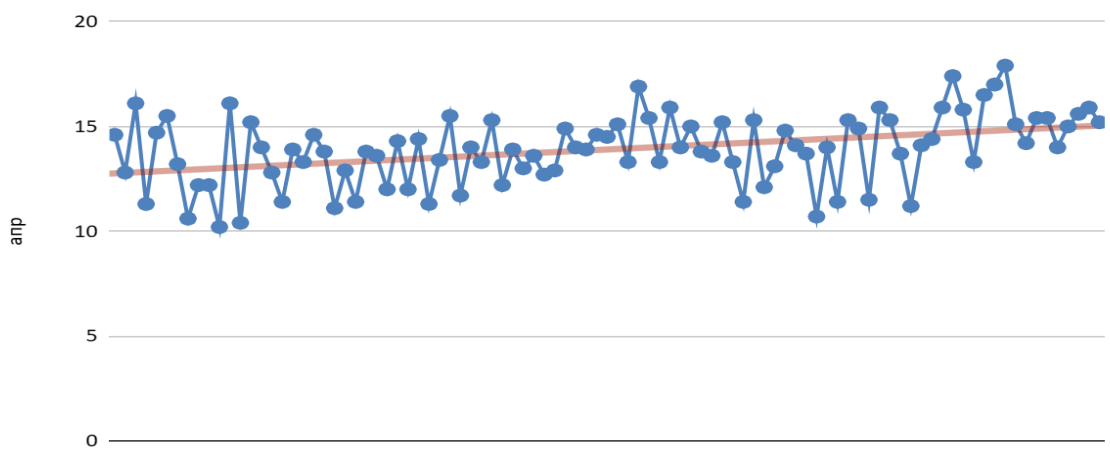
ТАБЛИЦА.1.4. Среднее значение температуры воздуха и среднее отклонение Ошский Регион за 1921-2021гг.

Ошский регион	Месяцы с 1921-2021гг			
	март	апрель	октябрь	ноябрь
Среднее значение температуры воздуха	6,63	13,89	12,333	5,10
среднее отклонение	2,50	1,67	1,72	2,16



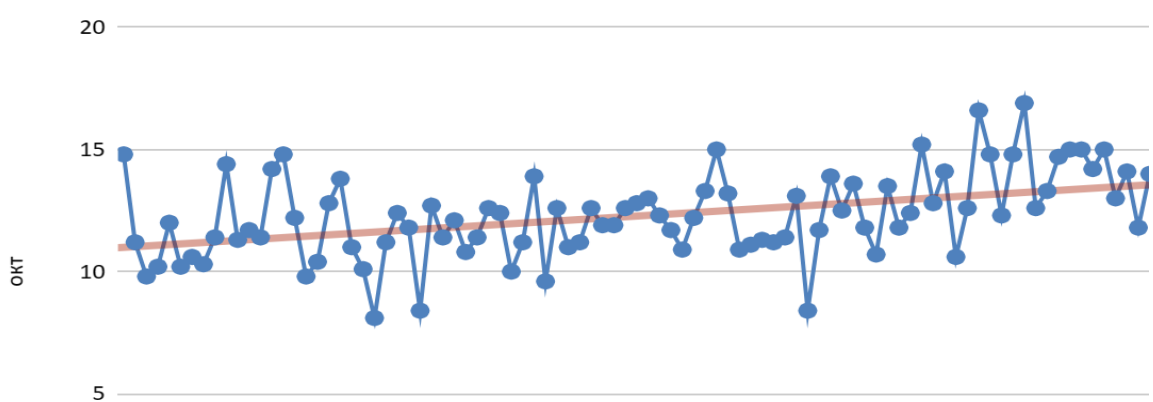
Рисунок.1.19. Среднемесячные температуры воздуха за март месяц
Ошского региона

**Ошский регион_ Среднемесячные темп_воздуха за апрель
1921-2021гг**



**Рисунок.1.20. Среднемесячные температуры воздуха за апрель месяц
Ошского региона**

**Ошский регион_ Среднемесячные темп_воздуха за октябрь
1921-2021гг**



**Рисунок.1.21. Среднемесячные температуры воздуха за октябрь месяц
Ошского региона**

Ошский регион_ Среднемесячные темп_воздуха за ноябрь 1921-2021гг

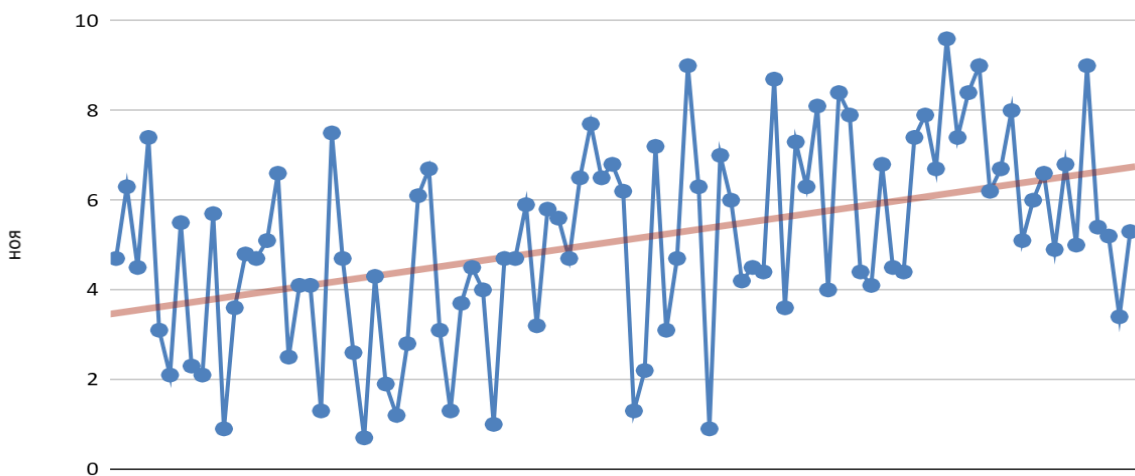


Рисунок.1.22. Среднемесячные температуры воздуха за ноябрь месяц Ошского региона

В табл.1.4. приведены значения: средняя температура воздуха и среднее отклонение по Ошскому региону, относительно за весенний период в апреле температура воздуха выше на $7,0^{\circ}\text{C}$, в осенний период сравнительно за два месяца: октябрь и ноябрь в первом месяце температура воздуха на $7,2^{\circ}\text{C}$ выше. По среднему отклонению значения соответствующие по заданным периодам. Если сравнить то в марте месяце выше на $0,83^{\circ}\text{C}$, а в осенние месяцы разница составляет на $0,46^{\circ}\text{C}$.

На рисунках (1.19, 1.20, 1.21, 1.22) четко показана динамика среднемесячной температуры воздуха по Ошскому региону весенние и осенние месяцы за 100летний период. Наблюдается значительный рост температуры воздуха в особенности в апреле и октябре месяцах. Средний рост температуры воздуха составляет $2,2^{\circ}\text{C}$ [92].

ТАБЛИЦА.1.5. Среднее значение температуры воздуха и среднее отклонение Таласский Регион за 1921-2021гг.

Таласский регион	Месяцы с 1921-2021гг.			
	март	апрель	октябрь	ноябрь
Среднее значение температуры воздуха	2,57	9,47	8,09	1,48
среднее отклонение	2,48	1,77	1,63	2,86



Рисунок.1.23. Среднемесячные температуры воздуха за март месяц Талассского региона

**Таласский регион_ Среднемесячные темп_воздуха за апрель
1921-2021гг**

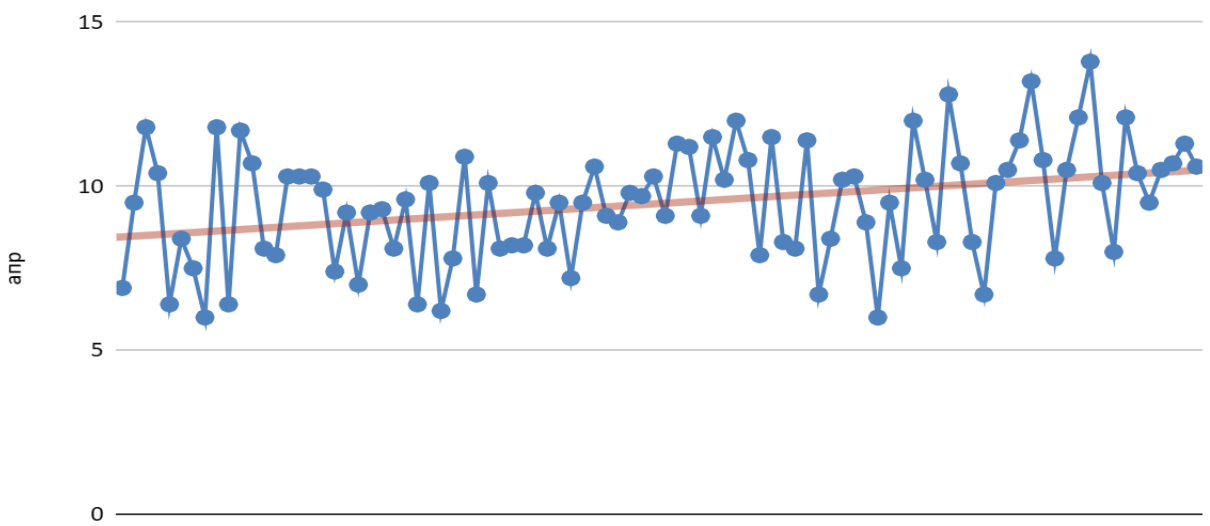


Рисунок.1.23. Среднемесячные температуры воздуха за апрель месяц
Таласского региона

**Таласский регион_ Среднемесячные темп_воздуха за
октябрь 1921-2021гг**

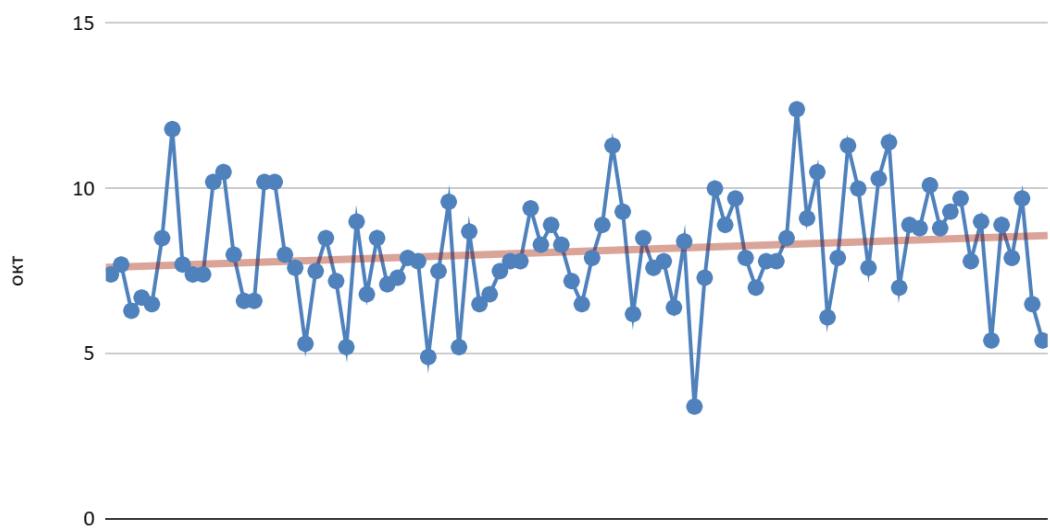


Рисунок.1.24. Среднемесячные температуры воздуха за октябрь месяц
Таласского региона

Таласский регион_ Среднемесячные темп_воздуха за ноябрь 1921-2021гг

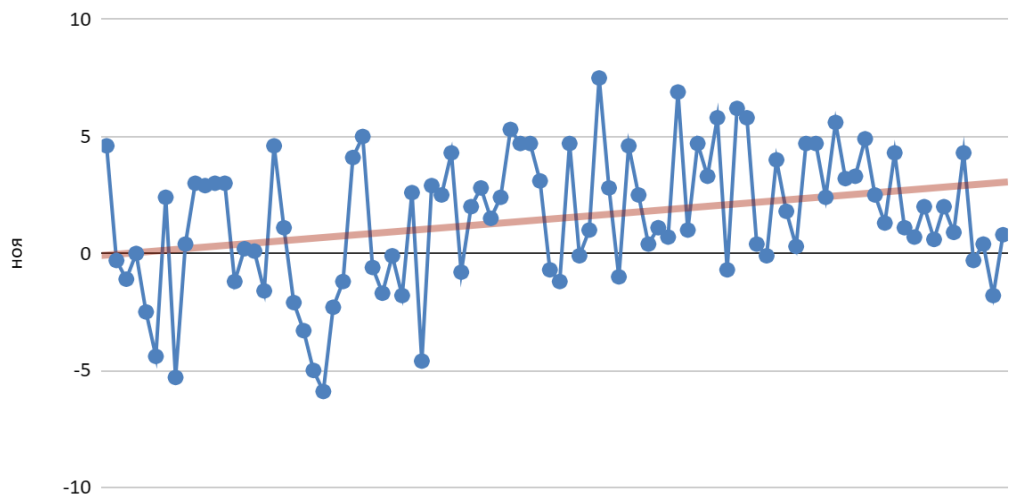


Рисунок.1.24. Среднемесячные температуры воздуха за ноябрь месяц Талассского региона

Аналогичные данные представлены в табл.1.5. приведены значения: средняя температура воздуха и среднее отклонение по Таласскому региону, относительно за весенний период в марте температура воздуха выше на $6,49^{\circ}\text{C}$, в осенний период сравнительно за два месяца: октябрь и ноябрь в первом месяце температура воздуха на $6,52^{\circ}\text{C}$ выше. По среднему отклонению значения соответствующие по заданным периодам. При сравнении в марте месяце выше на $0,71^{\circ}\text{C}$, а в осенние месяцы разница составляет на $1,2^{\circ}\text{C}$.

На рисунках (1.21, 1.22, 1.23, 1.24) четко показана динамика среднемесячной температуры воздуха по Чуйскому региону весенние и осенние месяцы за 100летний период. Наблюдается значительный рост температуры воздуха в особенности в марте и ноябре месяцах. Средний рост температуры воздуха составляет $1,7^{\circ}\text{C}$.[94]

Точное прогнозирование температуры воздуха очень важно для управления процессами человечества в целом. Это исследование показало модели данных, основанные на алгоритмах обобщенной регрессионной нейронной сети (GRNN), и применяется при прогнозировании температуры воздуха в регионах

Кыргызстана. Задача аппроксимации функции на основе климатических данных как среднемесячная температура воздуха за период 1921-2021 гг. Кыргызской Республики продемонстрировал, что она существенно возросла, при всем этом динамика показывает нелинейные изменения.

1.3. Прогнозирование среднемесячной температуры воздуха с использованием нейросетевой модели LSTM

Долгая краткосрочная память (Long short-term memory; LSTM) – особая разновидность архитектуры рекуррентных нейронных сетей, способная к обучению долговременным зависимостям. Они были представлены Зеппом Хохрайтер и Юргеном Шмидхубером (Jürgen Schmidhuber) в 1997 году, а затем усовершенствованы и популярно изложены в работах многих других исследователей. Они прекрасно решают целый ряд разнообразных задач и в настоящее время широко используются.

LSTM разработаны специально, чтобы избежать проблемы долговременной зависимости. Запоминание информации на долгие периоды времени – это их обычное поведение, а не что-то, чему они с трудом пытаются обучиться.

Рассматриваются тенденции изменений временных рядов среднемесячного температурного воздуха Ошской области за 100-летний период 1921-2021гг с помощью LSTM модели нейронных сетей для решения задачи прогнозирования.

Региональные климатические изменения во многом определяются не только глобальными процессами, но известными физико-географическими условиями конкретного региона, что в полной мере можно отнести к некоторым областям Кыргызстана.

Оценка трендов только среднемесячной температуры воздуха данного региона не позволяют выявить структуру температурных изменений. В данной

работе применяется прогнозирование временных рядов для данных среднемесячных температур воздуха, что дает возможность исследовать изменения регионального климата.

Задача прогнозирования временных рядов заключается в том, чтобы продолжить значения данных среднемесячной температуры воздуха прошлых периодов в будущее, где эти значения еще не известны.

Рекуррентная сеть с долгосрочной и краткосрочной памятью LSTM (Long Short Term Memory) глубокого обучения более точно определяет закономерности в данных временных рядов, и эффективно может применяться для прогнозирования будущего тренда данных [1].

Данные представляются как среднемесячная температура воздуха Ошской области в промежутке с 1921-2021гг. Они разбиваются на обучающий и тестовый набор, где данные до 2021г. используются в качестве обучающих данных для модели, а затем пытаемся предсказать среднемесячную температуру в течение последней части набора данных [93].

Чтобы спрогнозировать значения будущих временных шагов последовательности, можно обучить сеть LSTM регрессии от последовательности к последовательности, где ответами являются обучающие последовательности со значениями, сдвинутыми на один временной шаг. То есть на каждом временном шаге входной последовательности сеть LSTM учится предсказывать значение следующего временного шага. При прогнозировании значения нескольких временных шагов в будущем, используем функцию *predictAndUpdateState* для прогнозирования временных шагов по одному и обновления состояния сети при каждом прогнозе.

В представленном случае используется набор данных среднемесячная температура воздуха *avgtemp_dataset*. В этом примере сеть LSTM обучается прогнозировать количество случаев среднемесячной температуры воздуха с учетом количества случаев в предыдущие месяцы.

Данные загружаются в `avgtemp_dataset`, где один временной ряд с временными шагами, соответствующими месяцам, и значениями, соответствующими количеству температуры. Выход представляет собой массив ячеек, где каждый элемент представляет собой один временной шаг. Изменяются данные, чтобы они были вектором-строкой.

```
data = avgtemp_dataset;
data = [data{:}];
figure
plot(data)
xlabel("years")
ylabel("Temperature")
title("Ежемесячные средние температуры в г.Ош с 1921-2021")
```

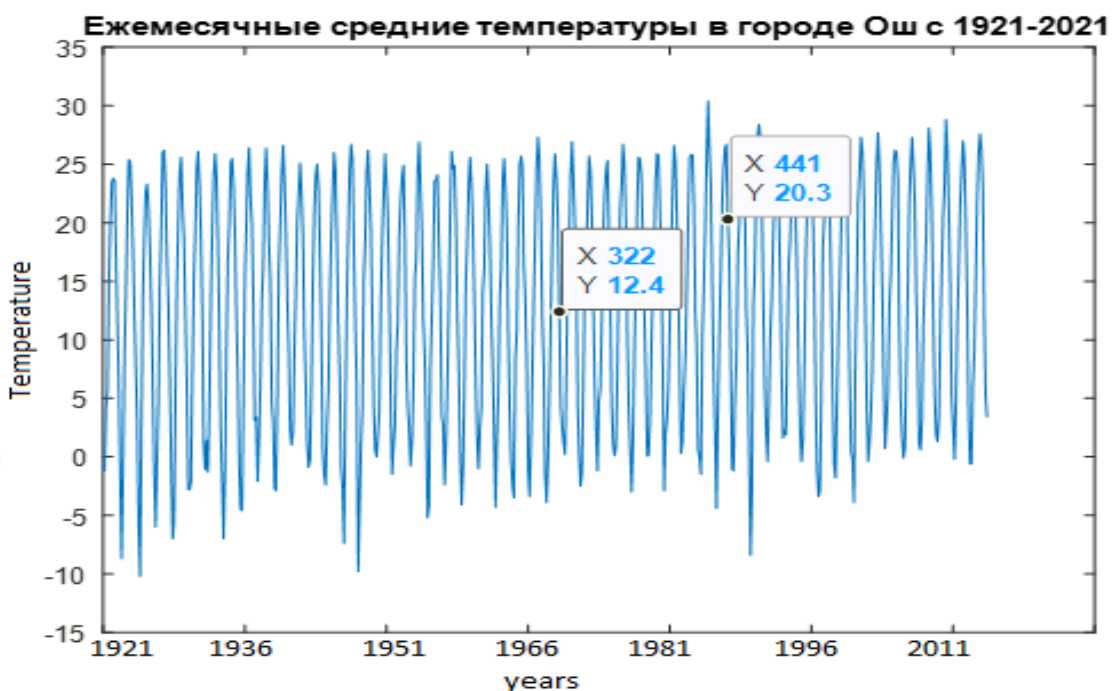


Рисунок.1.25. Временные ряды среднемесячных температур воздуха (C°) по Ошскому региону Кыргызской Республики за 1921-2021 гг.

Разделяются на обучающие и тестовые данные. Вводятся данные на первых 90% последовательности и тестируются на последних 10%.

```
numTimeStepsTrain = floor(0.9*numel(data));
```

```
dataTrain = data(1:numTimeStepsTrain+1);
```

```
dataTest = data(numTimeStepsTrain+1:end);
```

Для лучшего соответствия и предотвращения отклонения обучения стандартизируются данные обучения, чтобы иметь нулевое среднее значение и единичную дисперсию. Во время прогнозирования должны стандартизоваться тестовые данные, используя те же параметры, что и обучающие данные.

```
mu = mean(dataTrain);
```

```
sig = std(dataTrain);
```

```
dataTrainStandardized = (dataTrain - mu) / sig;
```

Чтобы спрогнозировать значения будущих временных шагов последовательности, нужно задать ответы как обучающие последовательности со значениями, сдвинутыми на один временной шаг. То есть на каждом временном шаге входной последовательности сеть LSTM учится предсказывать значение следующего временного шага. Предикторы — это обучающие последовательности без конечного временного шага.

Указание вариантов обучения. Устанавливается решатель на «Адам» и тренируется в течение 250 эпох. Чтобы предотвратить взрыв градиентов, устанавливается порог градиента на 1. Указывается начальная скорость обучения 0,005 и уменьшается скорость обучения после 125 эпох, умножив на коэффициент 0,2.

```
options = trainingOptions('Adam', ...
```

```
'MaxEpochs',250, ...
```

```
'GradientThreshold',1, ...
```

```
'InitialLearnRate',0.005, ...
```

```
'LearnRateSchedule','piecewise', ...
```

```
'LearnRateDropPeriod',125, ...
```

```
'LearnRateDropFactor',0.2, ...
```

```
'Verbose',0, ...
```

'Plots','training-progress');

Обучение сети LSTM. Для обучения нейронной сети была построена модель рекуррентной нейронной сети LSTM со следующими параметрами обучения: длина последовательности, равная 500; количество единиц скрытого слоя, равное 200; количество элементов вывода, равное 1. указанными параметрами обучения с помощью trainNetwork показан на рисунке.1.26.

net = trainNetwork (XTrain, YTrain, слои, параметры);

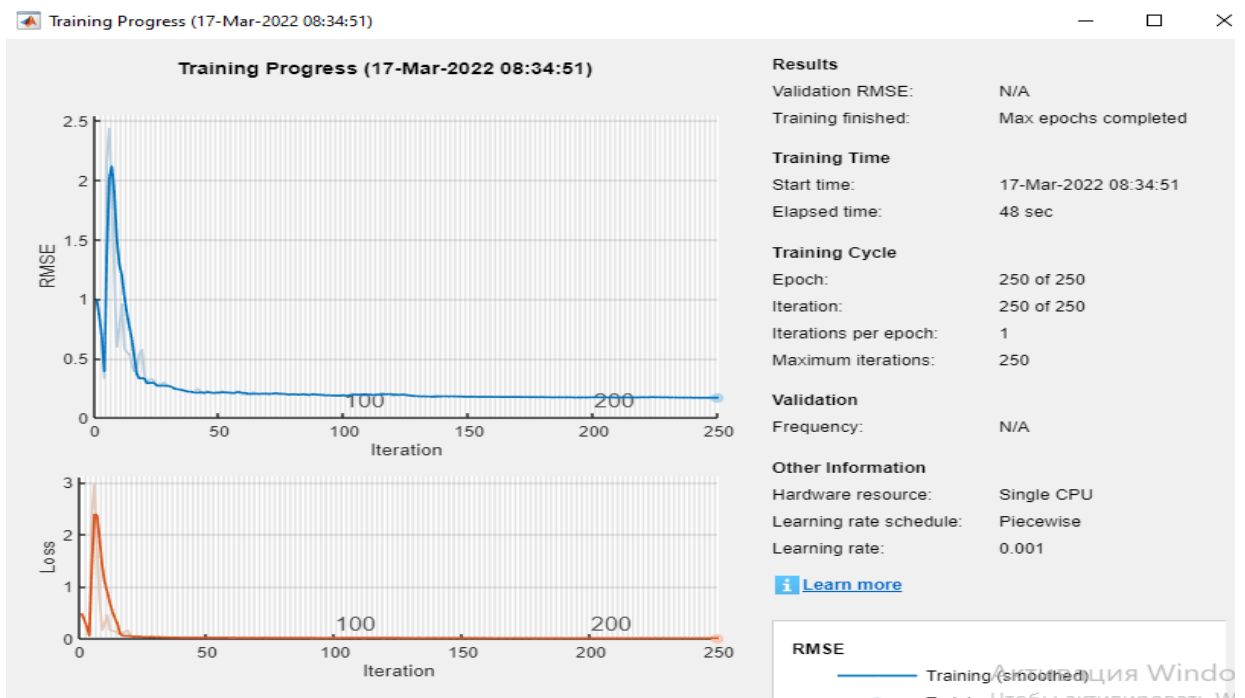


Рисунок.1.26. Обучение LSTM с указанными параметрами

обучения с помощью trainNetwork

Чтобы спрогнозировать значения нескольких временных шагов в будущем, используются функция *predictAndUpdateState* для прогнозирования временных шагов по одному и обновления состояния сети при каждом прогнозе. Для каждого прогноза используется предыдущий прогноз в качестве входных данных для функции.

Стандартизовать тестовые данные, используя те же параметры, что и обучающие данные.

```
dataTestStandardized = (dataTest - mu) / sig;
```

```
XTest = dataTestStandardized(1:end-1);
```

Чтобы инициализировать состояние сети, сначала предсказывается обучающие данные XTrain. Затем выводится первый прогноз, используя последний временной шаг обучающего ответа YTrain(end). Переберем оставшиеся прогнозы и вводим предыдущий прогноз в predictAndUpdateState.

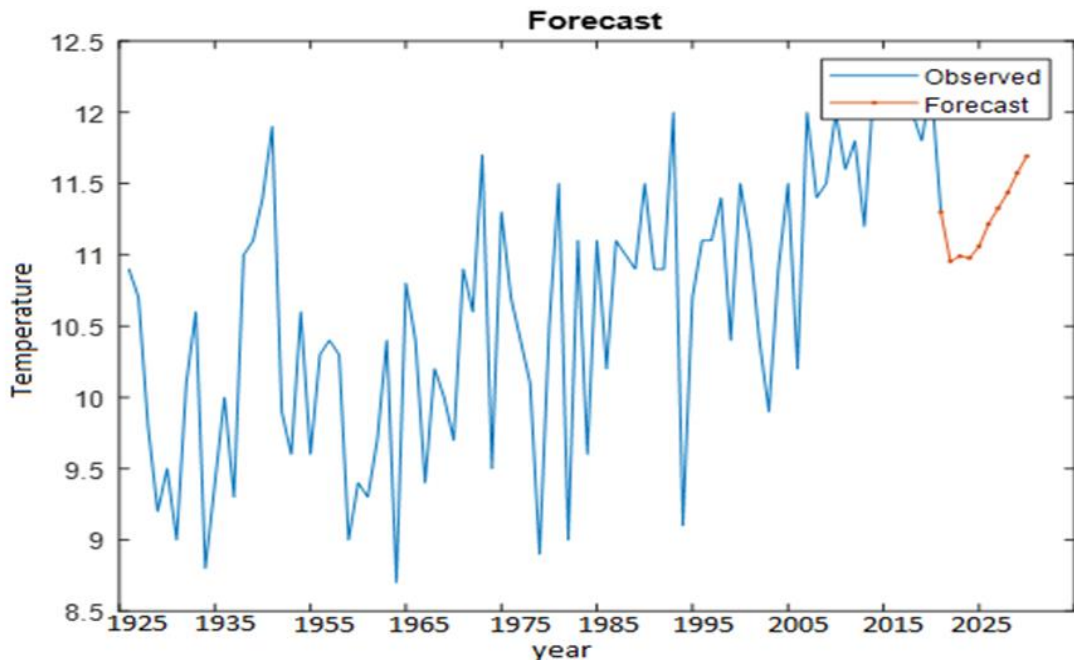


Рисунок.1.27. Временной ряд обучения с прогнозируемыми значениями

Делаются прогнозы на каждом временном шаге. Для каждого прогноза предсказываем следующий временной шаг, используя наблюдаемое значение предыдущего временного шага. Устанавливается для параметра «Среда выполнения» в *PredictAndUpdateState*

```
YPred = [];
```

```
numTimeStepsTest = numel(XTest);
```

```
for i = 1:numTimeStepsTest
```

```
[net,YPred(:,i)]=
```

```
predictAndUpdateState(net,XTest(:,i),'ExecutionEnvironment','cpu');
```

```
end
```

Нестандартизуем прогнозы, используя параметры, рассчитанные ранее.

$$YPred = sig * YPred + mu;$$

Calculate the root-mean-square error (RMSE).

$$rmse = \sqrt{\text{mean}((YPred - YTest)^2)}$$

$$rmse = 158.0959$$

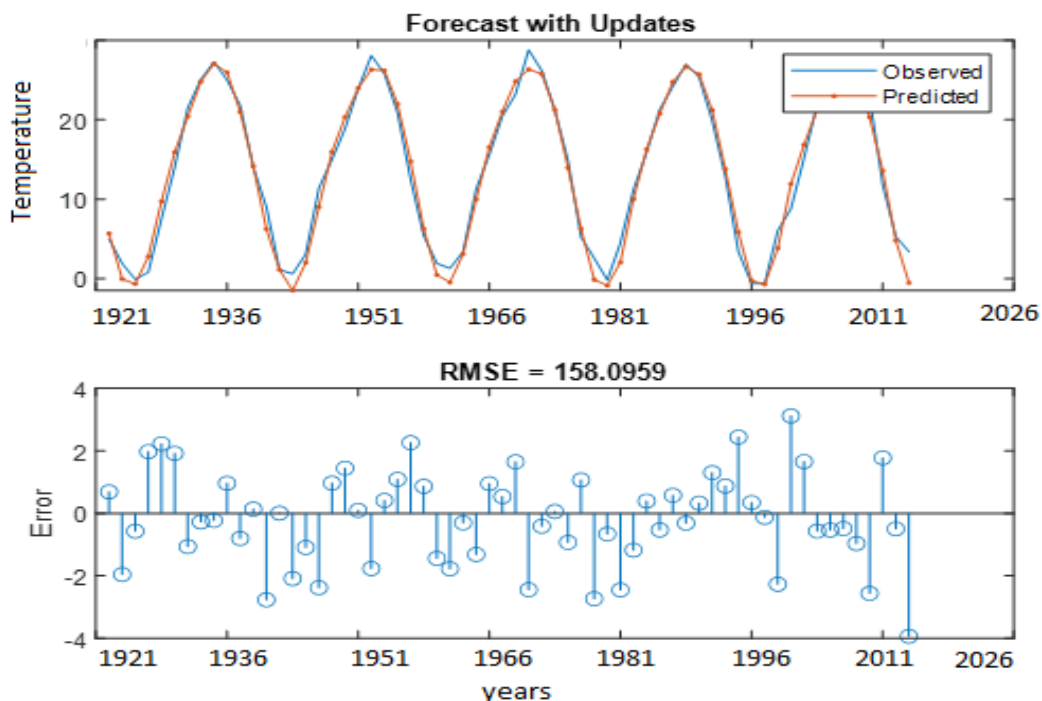


Рисунок.1.28. Прогнозируемые значения с тестовыми данными

Изучение климатических изменений Ошской области Кыргызской Республики продемонстрировал, что среднемесячная температура воздуха за период 1921-2021 гг. существенно возросла, при всем этом тенденция имеет нелинейный характер и в прошедшие десятки лет также значительно возросла.

Анализ представленных данных и итогов, полученных при помощи модели LSTM нейросетевого прогнозирования владеют весьма большой обобщающей способностью которые с большей точностью позволяют аппроксимировать и предсказывать значения временного ряда.

1.4. Выводы по главе

Анализ климатических изменений на территории Кыргызской Республики показал, что температура за период с 1885 по 2020 гг. значительно возросла, при этом динамика имеет нелинейный характер и в последние десятилетия также существенно увеличилась. Вышеуказанные графики имеют явно периодичность и возрастающий линейный тренд начиная с 1970-годов. В среднем для Кыргызской Республики в ближайшее десятилетие ожидается повышение средней температуры на 1,80 °С, величина повышения среднегодовой температуры воздуха за 90 лет (1925–2015 гг.) на основе линейных трендов составила 1,60 °С.

ГЛАВА 2. МЕТОДОЛОГИЯ И МЕТОДЫ ИССЛЕДОВАНИЯ

2.1. Математическое моделирование турбулентного потока дымовых выбросов

Загрязнение атмосферного воздуха обусловлено выбросами из точечных источников, площадных источников, мобильных источников и биогенных объектов. Накоплены существенные доказательства того, что загрязнение воздуха влияет на здоровье людей и животных, наносит ущерб растительности, почве и материалам, влияет на климат, снижает видимость и солнечную радиацию, создает угрозу безопасности и в целом мешает наслаждаться жизнью и имуществом. [26].

Около 60% выбросов приходится на точечные источники. К основным загрязнителям воздуха обычно относят пыль, твердые частицы, PM10 (твердые частицы диаметром 10 микрон и менее) и PM2,5 из-за неполного сгорания топлива или побочных продуктов процесса, оксиды азота (в основном из-за сочетания атмосферного кислорода и азота при высоких температурах). -туры), двуокись серы (в основном из-за сжигания топлива, содержащего большое количество серы), окись углерода (из-за не полностью сгоревшего топлива), озон и свинец. Инженерные исследования загрязнения воздуха включают: источники загрязнителей воздуха, контроль загрязнения воздуха, моделирование рассеивания, воздействие загрязнителей воздуха и проектирование сети мониторинга качества воздуха (AQMN-Design).

Математические модели диффузии наиболее полезны в настоящее время, поскольку они предоставляют полезную информацию для прогнозирования концентрации загрязняющих веществ и быстро обеспечивают выходные данные. Математические модели качества воздуха представляют собой уникальные инструменты [57]:

- принятие законодательства по контролю за выбросами; то есть определение максимально допустимых уровней выбросов, которые будут соответствовать установленным стандартам качества воздуха.

- оценка предлагаемых методов и стратегий ограничения выбросов; то есть оценка воздействия будущих средств контроля
- Выбор мест расположения будущих источников загрязняющих веществ с целью минимизации их воздействия на окружающую среду.
- Планирование контроля за случаями загрязнения атмосферного воздуха; то есть определение стратегий немедленного вмешательства (т. е. систем предупреждения и краткосрочных стратегий сокращения выбросов в режиме реального времени), чтобы избежать эпизодов серьезного загрязнения воздуха в определенных регионах.
- Оценка ответственности за существующие уровни загрязнения воздуха
- Разработка и оптимизация математических моделей AQMN обычно включают модуль подъема шлейфа, который рассчитывает высоту, на которую загрязняющие вещества поднимаются из-за импульса и плавучести, и модуль рассеивания, который оценивает, как они распространяются в зависимости от скорости ветра и стабильности атмосферы.

Стандартные математические модели дисперсии, используемые для моделирования промышленной дисперсии, включают комплекс промышленных источников (ISC), разработанный Агентством по охране окружающей среды США, модели Гаусса (модели шлейфа, затяжки и флюктуации), модель EPA SCREEN, регрессионные модели, простые модели диффузии (блочная модель и Лаборатория атмосферной турбулентности и диффузии, ATDL), модели теории градиентов, модели, ориентированные на источник и receptor, и модель множественных ячеек. Более сложные модели могут включать более реалистичные метеорологические обработки, но обычно требуют данных, которые труднее и дороже получить. Примеры включают Ausmet/Auspuff, Calmet/Calpuff, LADM и TAPM. Другие модели могут пытаться моделировать фотохимические реакции между загрязнителями, такие как анализ эмпирического кинетического моделирования (ЕКМА), в то время как более простые модели обычно предполагают, что загрязнители сохраняются [119].

Аналитические решения уравнения трехмерной диффузии для приподнятого сплошного точечного источника с переменным ветром и вихревой диффузией получены только при ограниченных предположениях. Смит [5] использовал степенные вариации для ветра и диффузии и предположил, что вариация бокового ветра всегда имеет гауссову форму. Ragland [117] использовал степенной закон для коэффициентов диффузии по y и z , но считал ветер постоянным. Гандин и Соловейчик представили важное аналитическое решение, в котором использовались $u = u_1 z m$, $K_y = K_0 z m$ и $K_z = K_1 z$, где u — скорость ветра, K_y и K_z — коэффициенты вихревой диффузии в боковом и вертикальном направлениях соответственно [119]. Питерс и

Клинзинг [111,65] исследовал эффект изменения значения мощности при постоянном ветре. Максимальная концентрация на уровне земли хорошо согласуется с результатом Гаусса для нейтральной устойчивости атмосферы. Мехдизаде и Рифаи [65] изучали моделирование шлейфов точечных источников на больших высотах с использованием модифицированной модели Гаусса.

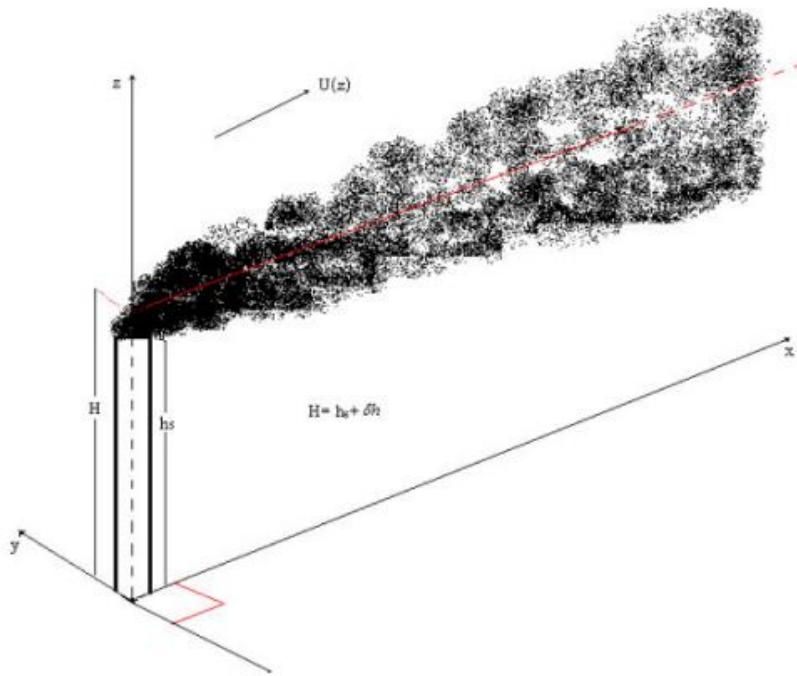


Рисунок. 2.1. Подъем шлейфа и рассеивание загрязнения из промышленной трубы

Они использовали две модели дисперсии EPA, Screen и ISC, и получили дисперсию SO₂.

В этой статье представлена программа MATLAB для моделирования трехмерного рассеивания загрязнения из промышленной трубы. Программа разработана таким образом, чтобы ее можно было легко использовать в образовательных целях в рамках курса по борьбе с загрязнением воздуха. Он требует небольшого количества входных данных и представляет результаты в визуальном формате с использованием как двухмерных, так и трехмерных цветных графиков. В следующем разделе кратко рассматриваются основные уравнения для моделирования дисперсии и обсуждается их математическое решение, реализованное в MATLAB. Также перечислены параметры атмосферы, используемые в программе. Прогоны моделирования, иллюстрирующие использование программы, представлены в следующем разделе, где приведены сравнения как с экспериментальными данными, так и с моделью Гаусса. Влияние различных параметров, таких как стабильность атмосферы, скорость ветра, температура окружающего воздуха, температура дымовых газов на выходе, скорость и концентрация, иллюстрируется с помощью программы. Также дается иллюстрация того, как давать рекомендации с помощью программы в отношении соблюдения экологических стандартов. Наконец, обсуждаются будущие усилия по усовершенствованию программы для включения других осложнений, таких как множественные стеки, влияние химических реакций и сложные ландшафты. Моделирование рассеивания загрязнителей воздуха от промышленных источников можно разбить на следующие этапы:

1. описание геометрии области
2. введение соответствующих граничных условий
3. введение источников, стоков и дисперсионных характеристик для всей области

4. выбор значений параметров в модели
5. разделение области на ячейки и решение конечно-разностные уравнения
6. визуализация результатов.

В этом исследовании использовалась модель с несколькими ячейками для рассеивания загрязнения от выбросов промышленных дымовых труб. На Рисунок. 2 показан массовый баланс для неизвестной ячейки. При построении модели загрязнения воздуха следует учитывать пять основных физических и химических процессов.

$$\begin{aligned} \frac{\partial C^s}{\partial t} = & \frac{\partial(U_x C^s)}{\partial x} - \frac{\partial(U_y C^s)}{\partial y} - \frac{\partial(U_z C^s)}{\partial z} + \frac{\partial}{\partial x} \left(K_x \frac{\partial C^s}{\partial x} \right) + \frac{\partial}{\partial y} \left(K_y \frac{\partial C^s}{\partial y} \right) + \\ & + \frac{\partial}{\partial z} \left(K_z \frac{\partial C^s}{\partial z} \right) + E^s - (k_1^s + k_2^s) C^s + Q(C^s), \end{aligned} \quad (2.1)$$

$s = 1, 2, \dots, q$

где C_s — концентрация химических веществ, участвующих в модели (CO , NOx , SO_2 и TH), U —скорость ветра, K_x , K_y , K_z – коэффициенты диффузии, E_s – источники выбросов, K_s и K_{os} – коэффициенты осаждения (для сухого и влажного осаждения соответственно) и $Q(C_s)$ представляют собой химические реакции. Используются следующие предположения:

1. Стационарные условия ($\partial C / \partial t = 0$)
2. $U_y = U_z = 0$ (скорость ветра только в направлении x и является функцией z) [10]
3. Перенос объемным движением в направлении x превышает диффузию в направлении x ($K_x = 0$) [10]
4. Отложений в системе нет ($K_1 = K_2 = 0$).
5. В системе нет реакции ($Q = 0$)

Применяя приведенные выше предположения, уравнение (2.1.) сводится к

следующему

$$\frac{\partial(U_x C^S)}{\partial x} = \frac{\partial}{\partial y} \left(K_y \frac{\partial C^S}{\partial y} \right) + \frac{\partial}{\partial z} \left(K_z \frac{\partial C^S}{\partial z} \right) + E^S \quad (2.2)$$

следующие граничные и начальные условия также используются:

$$x = 0, C(0, j, k) = 0, y = 0, \frac{\partial C}{\partial y} = 0, y = W \frac{\partial C}{\partial y} = 0, z = 0, \frac{\partial C}{\partial z} = 0 \quad (2.3)$$

Для решения вышеуказанной модели в данной статье используется метод конечных разностей. Разобьем воздушное пространство на ряд ящиков и запишем уравнение сохранения массы для каждого ящика (как для дифференциального элемента жидкости). Рассмотрим объем «жидкости» со сторонами Dx, Dy и Dz, расположенными в точке i+1, j, k. Свойства в точке i, j, k известны, а свойства в плоскости i+1 неизвестны. Сохранение массы элемента жидкости при i+1, j, k можно записать как:

$$U_{xk} C_{i+1,j,k}^S \Delta y \Delta x + \frac{(K_y)_k \Delta x \Delta z (C_{i+1,j,k}^S - C_{i+1,j+1,k}^S)}{\Delta y} + \frac{(K_y)_k \Delta x \Delta z (C_{i+1,j,k}^S - C_{i+1,j-1,k}^S)}{\Delta y} + \\ + \frac{(K_z)_{k+1/2} \Delta x \Delta y (C_{i+1,j,k}^S - C_{i+1,j,k}^S)}{\Delta z} + \frac{(K_z)_{k-1/2} \Delta x \Delta y (C_{i+1,j,k}^S - C_{i+1,j,k-1}^S)}{\Delta z} = U_{xk} C_{i,j,k}^S \Delta y \Delta x + E^S \Delta y \Delta x \quad (2.4)$$

где значения скорости ветра и вихревой диффузии равны предположительно известный. Это явная алгебраическая формула и может быть нестабильным в некоторых условиях. Стабильность условие для этой системы [64]

$$\Delta x \leq \frac{U_x}{2K_z \left(\frac{5}{\Delta y^2} + \frac{1}{\Delta z^2} \right)} \quad (2.5)$$

Подробнее о подходе, использованном нами для решения этой системы уравнений, будет рассказано позже в отдельном разделе (Описание программы). Сначала мы обсудим различные атмосферные параметры, используемые в программе.

Атмосферные параметры, используемые в программе

Атмосферные условия являются движущей силой в формировании, рассеивании и переносе шлейфов загрязняющих веществ. Для решения уравнения (4) нам потребуются такие параметры атмосферы, как скорость ветра, высота подъема шлейфа, категория устойчивости, коэффициенты рассеивания, шероховатость поверхности и другие параметры. Необходимые уравнения и значения для определения этих параметров приведены ниже:

Атмосферная стабильность. Стабильность атмосферы изменяется ежечасно, но для целей моделирования и для коротких периодов времени ($1 \text{--} 3$ ч) принималась постоянная и репрезентативная стабильность атмосферы. В предлагаемой программе рассматриваются три класса устойчивости атмосферы (нейтральная, устойчивая и неустойчивая). Стабильность атмосферы рассчитывается с использованием следующего уравнения (2.1.6):

$$L = \frac{u^*^3 C_p \rho T}{kgH_n} \quad (2.6)$$

В уравнении (6) u^* — скорость трения, C_p — удельная теплоемкость воздуха, T

— температура воздуха, k — постоянная Кармана ($k = 0,4$), g — гравитационная постоянная, а H_n — чистое тепло, поступающее в атмосферу. H_n для нейтральной атмосферы равно 0, для стабильной атмосферы $\Delta 42$ и для нестабильной атмосферы равно 175 [64]. Заметим, что L (длина Мониона-Обухова) — это просто высота над землей, на которой производство турбулентности как механическими, так и граничными силами равно [2] и имеет единицы длины.

Шероховатость поверхности и скорость трения. Это удобно ввести коэффициент лобового сопротивления c_g , основанный на геострофическом ветре, угу, такой, что:

$$u^* = c_g u_g \quad (2.7)$$

Коэффициент геострофического сопротивления является функцией поверхность Число Россби ($R_0^{1/4} u_g = f Z_0$) и L , где f — параметр Кориолиса Земли, а Z_0 — поверхность шероховатость. Леттау предлагает следующие эмпирические соотношение для нейтральной атмосферы [12]:

$$c_g = \frac{0.16}{(R_0) - 1.8} \quad (2.8)$$

Для устойчивой и неустойчивой атмосферы необходимо умноженные на 0,6 и 1,2 соответственно. Ценности Длина шероховатости (Z_0) и скорость трения (u^*) для нескольких различных земных поверхностей представлены в [117].

Подъем Плюма. Когда загрязняющие вещества выбрасываются в воздух из стопки, они поднимаются над стопкой, прежде чем дрейфовать значительное расстояние по ветру. Эффективный стек высота H — это не только физическая высота стека hs , но и высота включают также подъем шлейфа.

$$H = h_s + \delta h \quad (2.9)$$

Высота штабеля, используемая в расчетах, должна быть эффективная высота штабеля. Обычно уравнение Бригга (10) и уравнение Холланда (1) используются для прогнозирования подъема шлейфа. Уравнения Бригга и Холланда имеют вид заданные уравнениями (10) и (11) соответственно

$$\delta h = \frac{114CF^{1/4}}{u}, F = \frac{V_s g D^2 (T_s - T_a)}{4T_a}, C = 1.58 - 41.4 \frac{\Delta\theta}{\Delta z} \quad (2.10)$$

$$\delta h = \frac{V_s}{u} \left(1.5 + 2.68 \times 10^{-3} PD \frac{(T_s - T_a)}{T_s} \right) \quad (2.11)$$

где v_s – скорость выхода штабеля (м/с), D – штабель диаметр (м), u — измеренная скорость ветра (м/с) или рассчитанное на высоте h_s , P – давление (мбар), t_s – температура дымового газа (К), T_a – температура атмосферы (8К), Dy/Dz – потенциальная разность температур (8К/м). Предсказания уравнений Бригга и Холланда сравниваются с экспериментальными данными Снайдера [13]. Видно (Рисунок. 4), что оба уравнения не дают хороших прогнозов. Поэтому мы попытались изменить уравнение Холланда, чтобы получить лучший набор коэффициентов. Модификация была выполнена с использованием регрессии, и модифицированные уравнения:

$$For h_s < 35 \quad \delta h = \delta h = (Holland Eq.) - 32.42 + 0.8576 * h_s$$

$$\begin{aligned}
 & \text{For } h_s < 80 \quad \delta h = \delta h = (\text{Holland Eq.}) - 10.152 + 0.3135 * h_s \\
 & = 80 \quad \delta h = \delta h = (\text{Holland Eq.}) - 12.39 + 0.17 * h_s
 \end{aligned} \tag{2.12}$$

На рисунке 2.3 показано сравнение модифицированного уравнения Холланда с экспериментальными данными и уравнениями Холланда и Бригга. Как показано, имеется хорошее согласие модифицированного уравнения Холланда с экспериментальными данными. Предыдущие расчеты подходят для нейтральных условий. Для нестабильных условий D_h следует увеличить в 1,1–1,2 раза, а для стабильных – уменьшить в 0,8–0,9 раза [1].

Высота смещивания. Объем, доступный для разбавления загрязняющих веществ в атмосфере, определяется смещиванием высоты. Связь между классами устойчивости и высота смещивания указана в Бейчок [14]

Если в уравнение (2.1.4) подставить следующие равенства:

$$u\Delta y\Delta z = a \frac{K_y \Delta x \Delta z}{\Delta y} = e \frac{K_z \Delta x \Delta y}{\Delta z} = f \tag{2.13}$$

Получаем систему линейных уравнений, которую можно записать в компактной форме так:

$$[A][C] = [D] \tag{2.14}$$

где A — матрица коэффициентов, C — матрица концентраций, а D — матрица известных концентраций на предыдущем забое плюс скорость выброса в рассматриваемую сетку. На Рисунок. 5 показан вид матрицы A для 9 сеток на грани $y-z$. На Рисунок. 6 представлена блок-схема вычислительного процедура, используемая в программе MATLAB для получения матрицы концентрации

загрязнения [C]. Сначала метеорологические данные, данные о характере Рисунок токах стека и выбор домена вводятся в программу через интерактивный пользовательский интерфейс. Уравнение (13) и таблица 1 используются для расчета вихревой диффузии и необходимых параметров для расчета элементов матрицы А. Подъем шлейфа рассчитывается с использованием уравнения (12). Наконец, результаты представлены в удобной для визуализации графической форме. Для повышения производительности программы были использованы векторные операции и предварительное выделение памяти.

С помощью программы можно легко изучить влияние метеорологических параметров, таких как стабильность атмосферы, скорость ветра, температура воздуха, шероховатость поверхности и коэффициент рассеивания, на рассеивание загрязняющих веществ. Использование программы для изучения влияния параметров дымовой трубы, таких как температура на выходе, скорость на выходе, высота дымовой трубы и концентрация на выходе, также будет проиллюстрировано в этом разделе.

Влияние атмосферной стабильности: Как показано на рисунке 2.3, распределение загрязняющих веществ лучше для нестабильных условий, и загрязняющие вещества не уходят далеко от дымовых труб.

Влияние скорости на выходе: Когда скорость на выходе увеличивается, подъем шлейфа увеличивается, увеличивается рассеивание загрязняющих веществ и, наконец, снижается концентрация на уровне земли. На Рисунок. 10 показано влияние скорости на выходе на рассеивание загрязняющих веществ.

Вышеупомянутые прогоны моделирования ясно иллюстрируют полезность программы в помощи лицам, принимающим решения о борьбе с загрязнением воздуха и последствиях различных переменные по рассеиванию загрязнения. Например, можно сделать следующие наблюдения на основе запуски моделирования, представленные ранее:

1. В зимних условиях в местах, удаленных от дымовых труб, наблюдаются более высокие концентрации загрязняющих веществ, а в летних условиях больше всего страдают места, расположенные вблизи дымовых труб.
2. При увеличении высоты дымовых труб загрязняющие вещества поднимаются в атмосферный слой, и загрязнение рассеивается по более широкой области, а концентрация на уровне земли снижается.
3. Увеличение скорости и температуры выхода дымовых газов приводит к уменьшению концентраций на уровне земли.
4. Снижение концентрации на выходе также может быть достигнуто за счет снижения уровня выбросов. Этого можно достичь, например, путем установки устройств управления и/или модернизации заводов с использованием новых технологий.

2.2. Численное моделирование диффузии загрязняющих веществ в атмосфере в ANSYS CFX

В диффузионной модели распространения дыма из дымовой трубы (три трубы) выведены уравнения, определяющие концентрацию дыма в стационарном случае и переход на нестационарный зависящий от времени концентрации дыма. [65] Исследованы влияние метеорологических параметров и параметров дымовой трубы на рассеивание загрязняющих веществ, таких как скорость ветра, температура окружающего воздуха, стабильность атмосферы, температура на выходе дымовой трубы, скорость и высота дымовой трубы.

ТАБЛИЦА.2.1. Параметры моделирования объекта

Длина куба L1	Ширина куба L2	Высота куба H	Диаметр выхода 1 трубы (outlet1)	Диаметр выхода 2 трубы (outlet2)	Диаметр выхода 3 трубы (outlet3)
600m	100m	200m	20m	25m	15m

На основе вышеуказанных параметров в табл 2.1. строится геометрия

объекта в 3D моделировании как показано на рисунке.2.4. Куб - означает пространство с параметрами указанными в табл.2.1., который имеет длину - L1, ширину - L2 и высоту - H, где происходит процесс выбросов загрязнителей в атмосферу из трех дымовых труб (outlet1, 2, 3) соответствующими диаметрами вентиляционных отверстий трех труб задаются размерами -(20m, 25m, 15m).

Создание геометрической модели компонента “Geometry”

По выше приведенному примеру создаются объекты. В данном случае 3 трубы, и пространство.

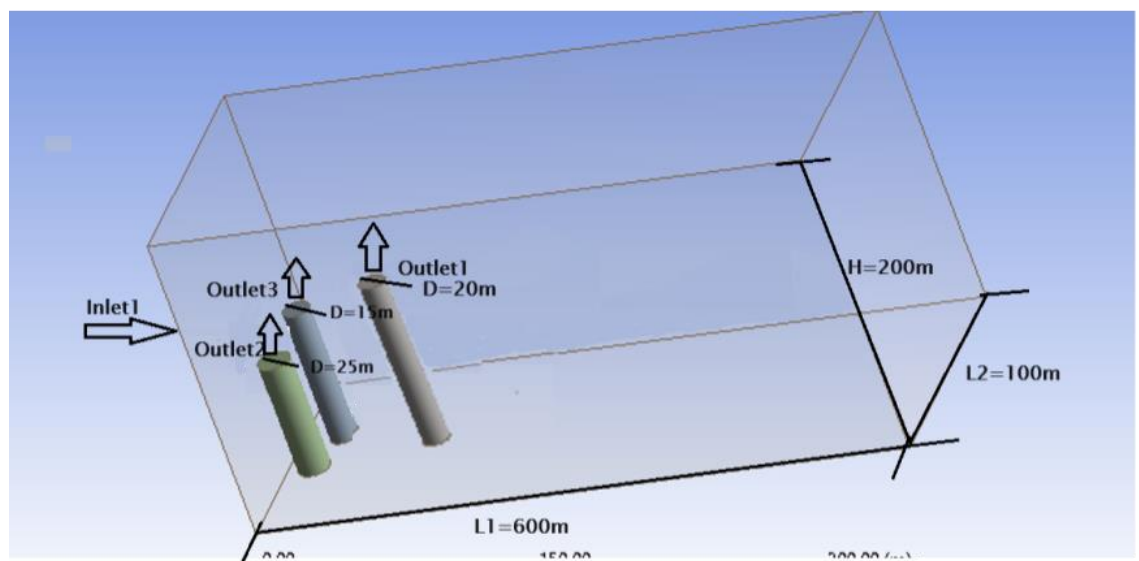


Рисунок.2.4. Геометрия объекта

В правой части окна в виде дерева показаны элементы объектов на рисунке.2.5.

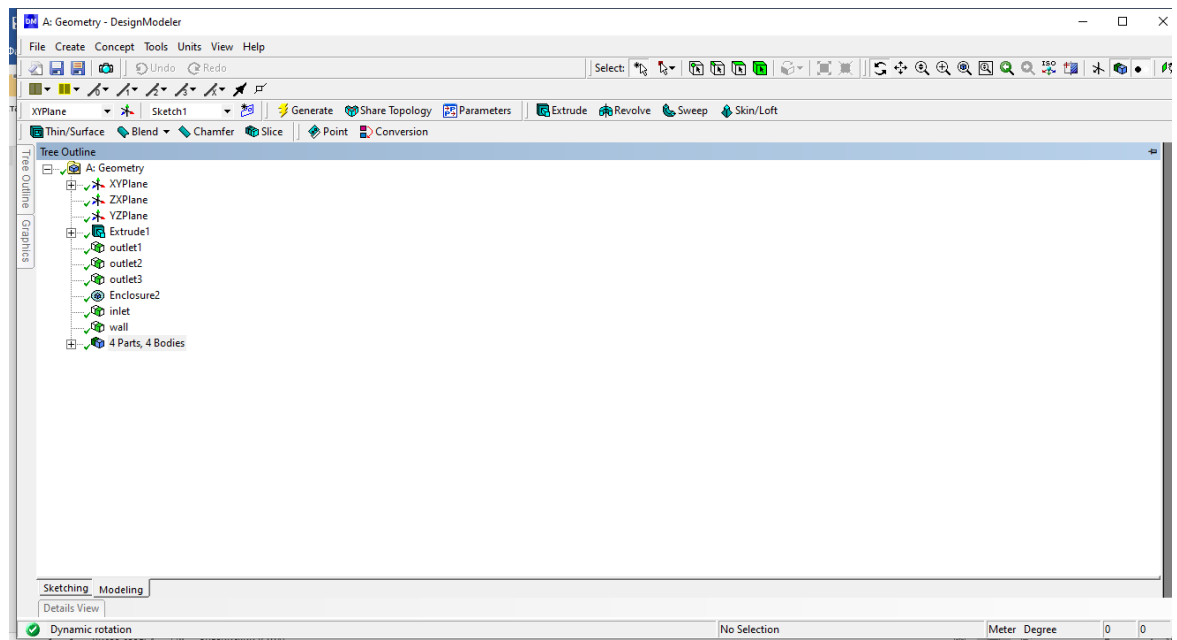
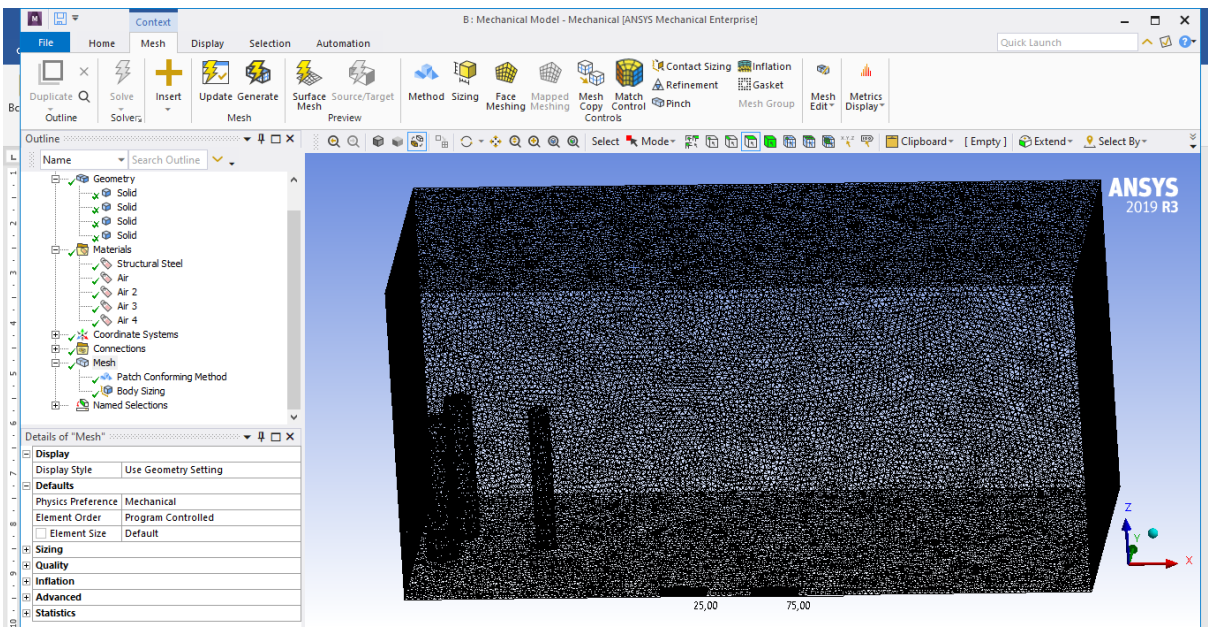


Рисунок.2.5. Дерево объекта

На основе геометрии объекта строится сетка (Meshing) определяются параметры сетки “Meshing”: определяем метод - Automatic Method (Автоматический метод), Scoping Method (Метод определения объема). Задается параметр - Element size (Размер элемента)- 4м. Процесс (Meshing) - отображен на рисунке 2.6.

Создание сеточной модели Meshing с компонентом “Mechanical Model”.

По аналогичным способом вышеуказанного примера определяются параметры сетки “Meshing” - метод и размер.



2.6. Определение граничных условий в CFX

Для настройки симуляции автоматически нужно запустить CircVent. на Рисунок.2.7. Нужно переходить к разделу Steady-State and Transient Configuration и настроить симуляцию.

Сначала проводится анализ в установившемся режиме, при котором из дымохода не выделяется дым. Второй анализ берет настройку для устойчивого состояния и адаптирует ее для анализа переходных процессов. РЕЗУЛЬТАТ анализа установившегося режима будет использоваться в качестве первоначального предположения для анализа переходных процессов [99].

1. в CFX выбираем - Файл (file) -новый случай (New Case)
2. выбрать общие (General) и нажмите OK
3. выбрать file - Save case as сохранить регистр как
4. установить File name имя файла Circvent.
5. нажать Save «Сохранить»

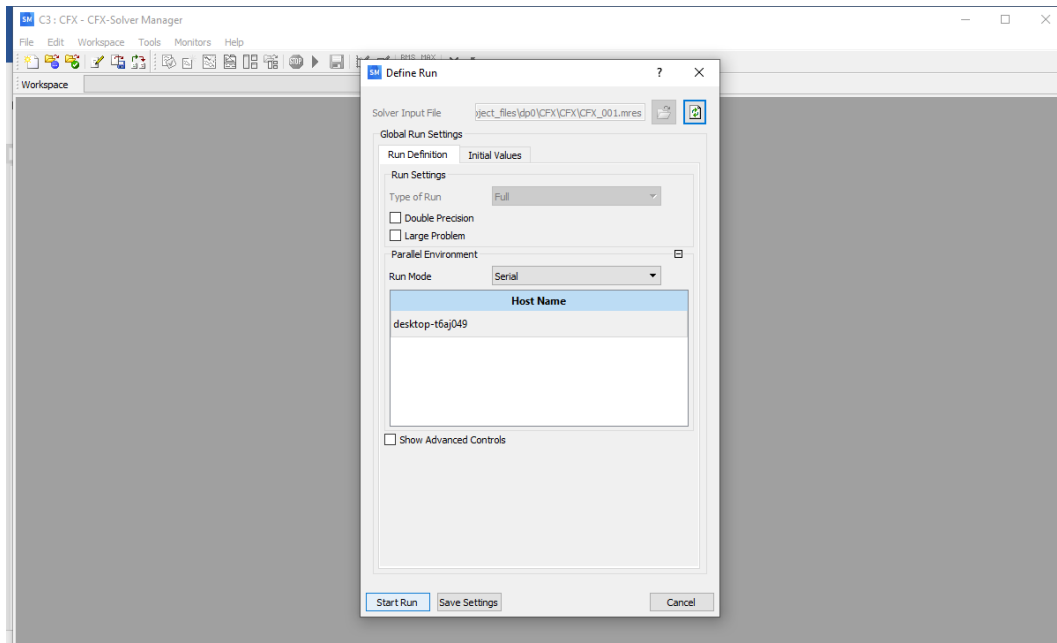


Рисунок.2.7. Настройки симуляции

Создание дополнительной переменной. На данном этапе создается дополнительная переменная на рисунке 2.8. (Additional variable) (нереагирующая скалярная составляющая) будет использоваться для моделирования рассеивания дыма из вентиляционного отверстия.

1. Выберите в главном меню пункт Insert > Expressions, Functions and Variables > Additional Variable (Вставка > Выражения, функции и переменные > Дополнительные переменные) или нажмите на кнопку *Additional Variable* (Дополнительные переменные) .
2. Укажите имя переменной *smoke* (Дым).
3. Нажать OK.
4. В качестве типа переменной Variable Type выберите Volumetric (Объемный).
5. Задайте единицы измерения Units - [kg m⁻³].
6. Нажать OK.

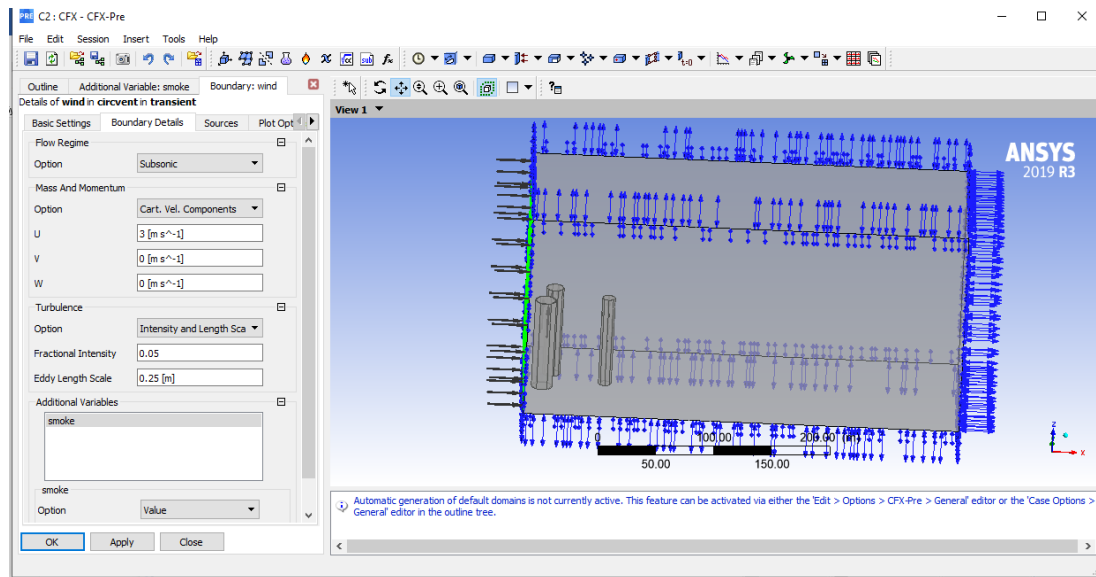


Рисунок.2.8. Создание дополнительной переменной

появятся остаточные графики для шести уравнений: U-mom, V-mom, w-mom, p-mass, k-TurbKE и E-diss.K (три уравнения сохранения импульса, уравнение сохранения массы и уравнения для кинетической энергии турбулентности и диссипация турбулентных вихрей (momentum conservation equations, the mass conservation equitation and equations for the turbulence kinetic energy and turbulence eddy dissipation)). Вкладка «Импульс и масса» содержит 4 графика, а два других находятся в разделе «Количества турбулентности». остаток для уравнения дыма также отображается, но не регистрирует никаких значений, поскольку он не инициализируется [107,109]

В стационарной симуляции, используется поддержка инициализации значений решателем ANSYS 2019 R3 CFX-Solver оставив инициализацию всех данных, получаем графики на рисунке.2.9. и рисунке.2.10.в режимах (Streamline) и (Isosurface). [108]

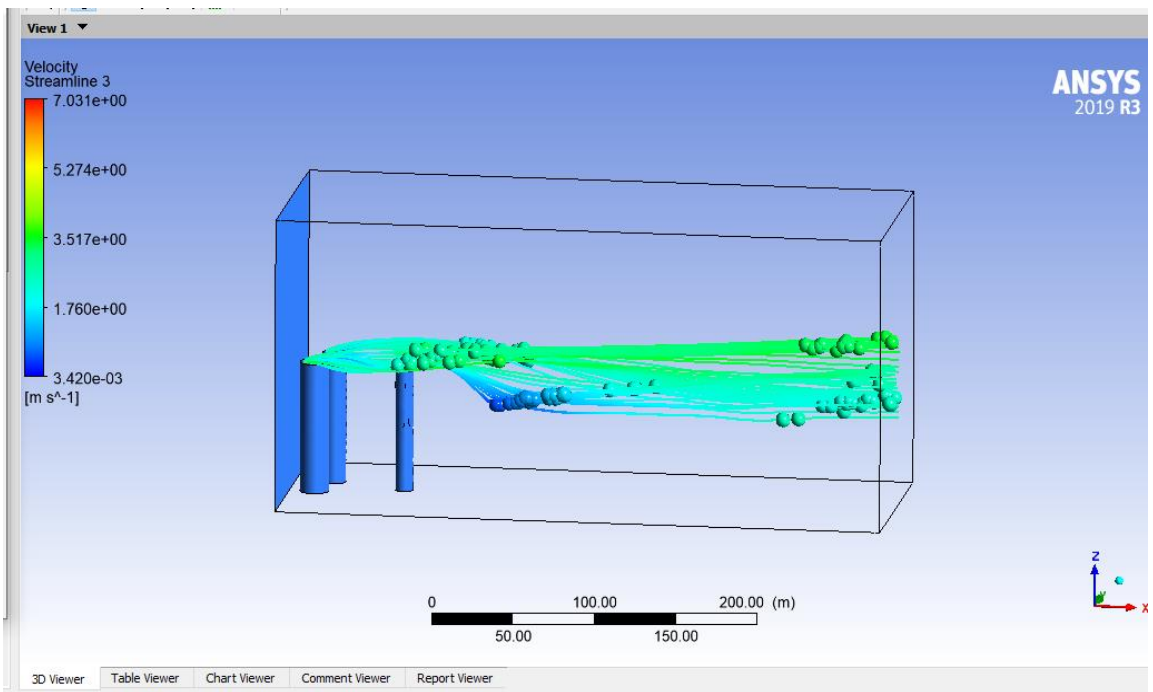


Рисунок.2.9. Распространение загрязнителей воздуха в режиме (Streamline)

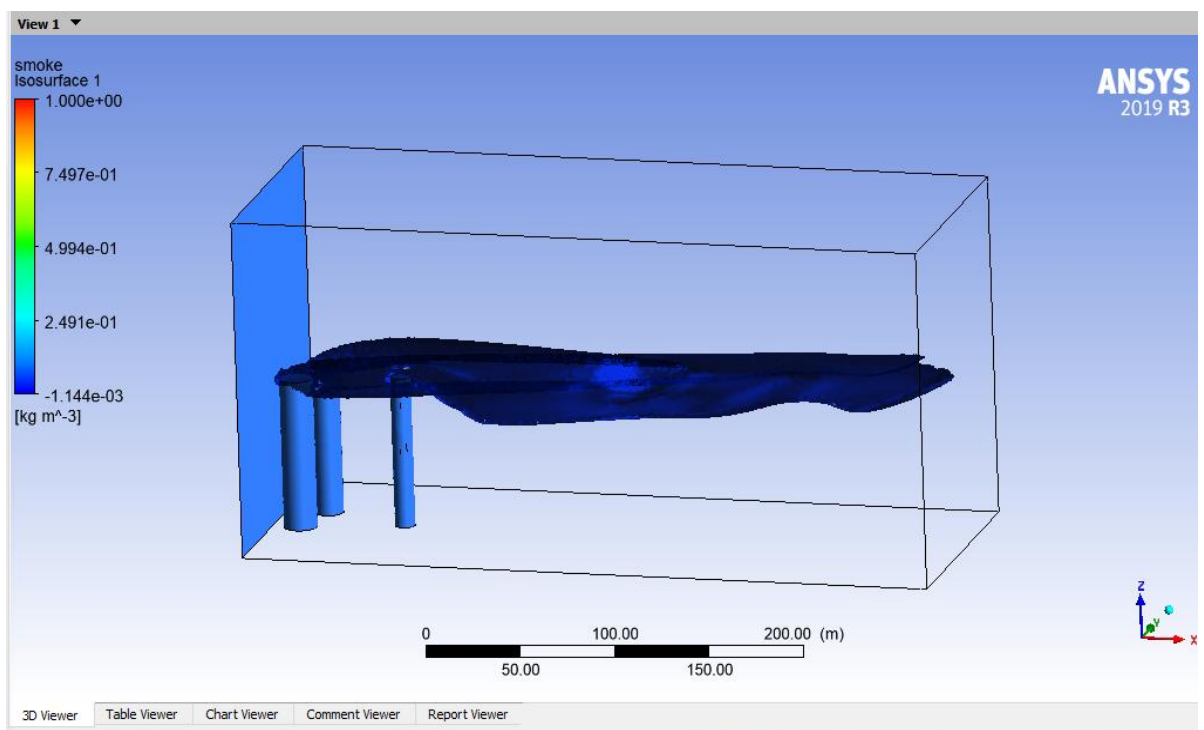


Рисунок.2.10. Распространение загрязнителей воздуха в режиме(Isosurface)

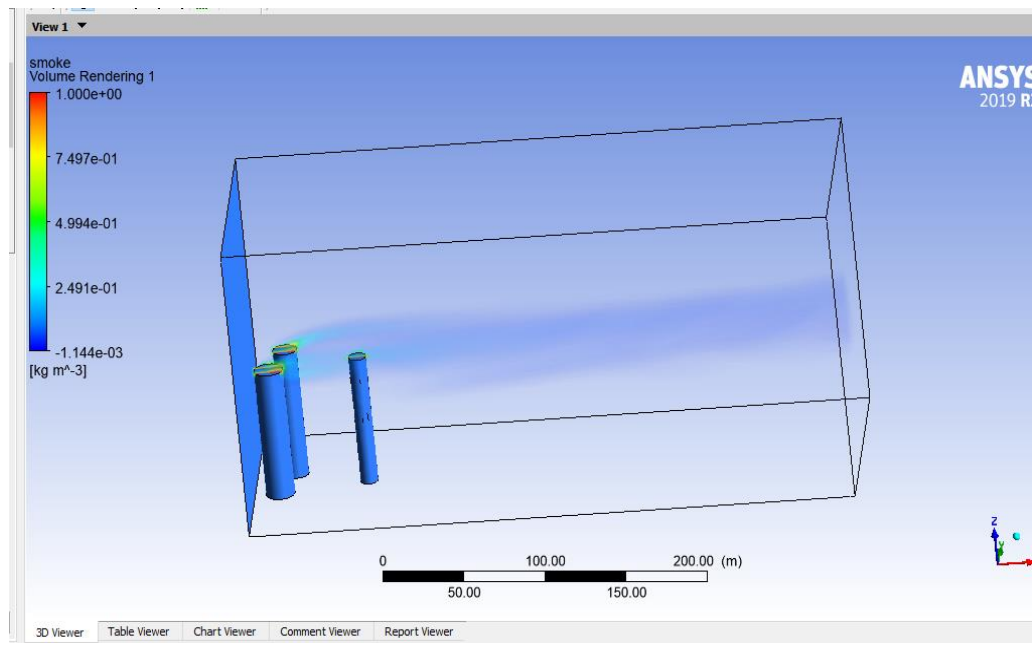


Рисунок.2.11. Распространение загрязнителей воздуха в режиме(Transperency)

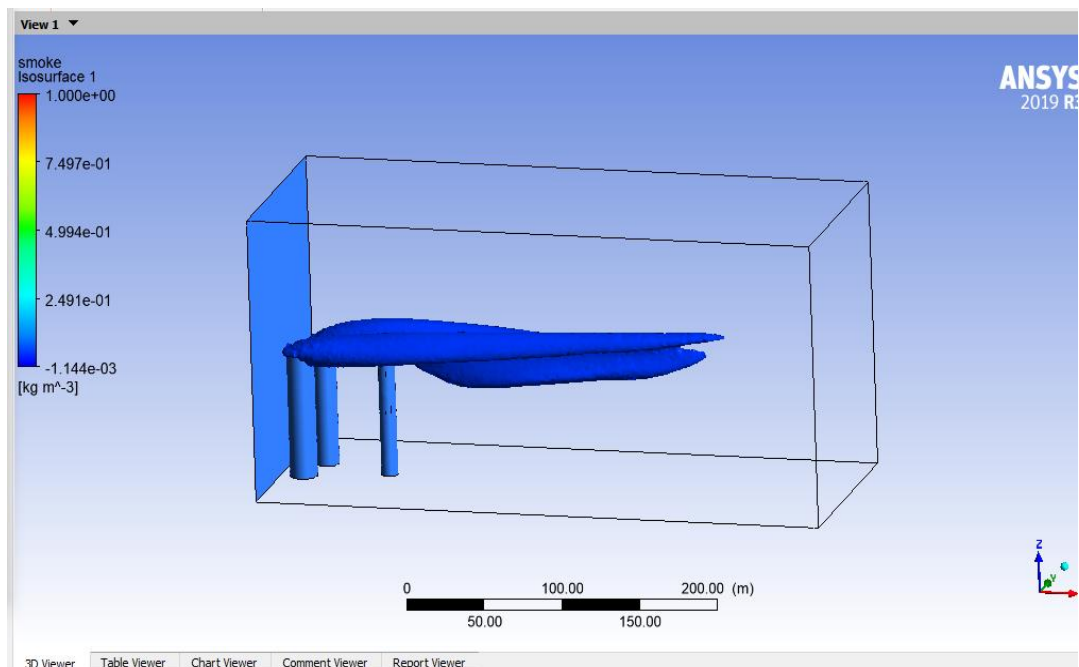


Рисунок.2.12 Распространение загрязнителей воздуха
в режиме анимации

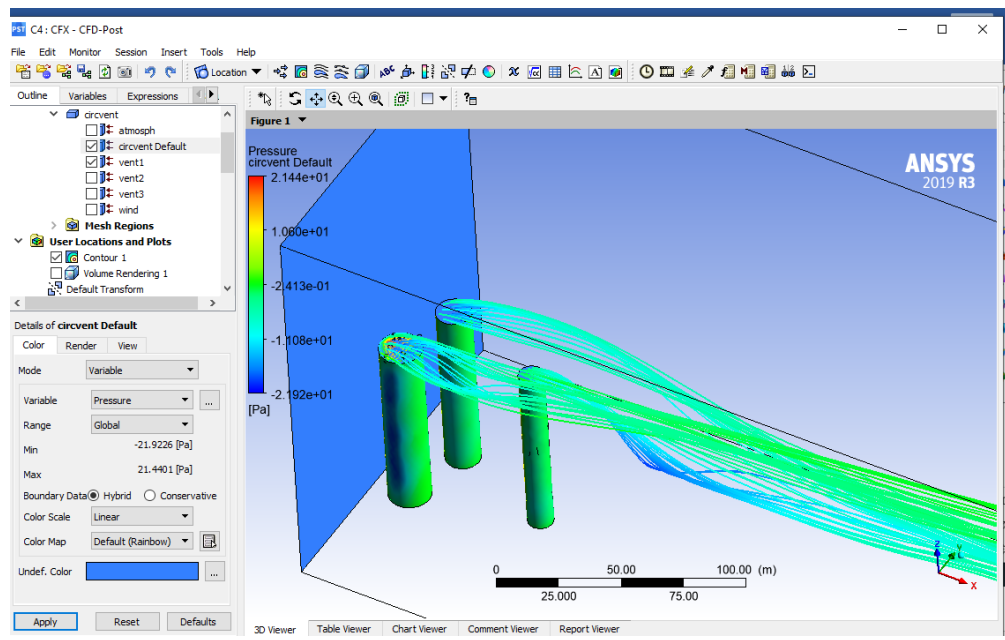


Рисунок.2.13. Распространение загрязнителей воздуха в режиме Rainbow

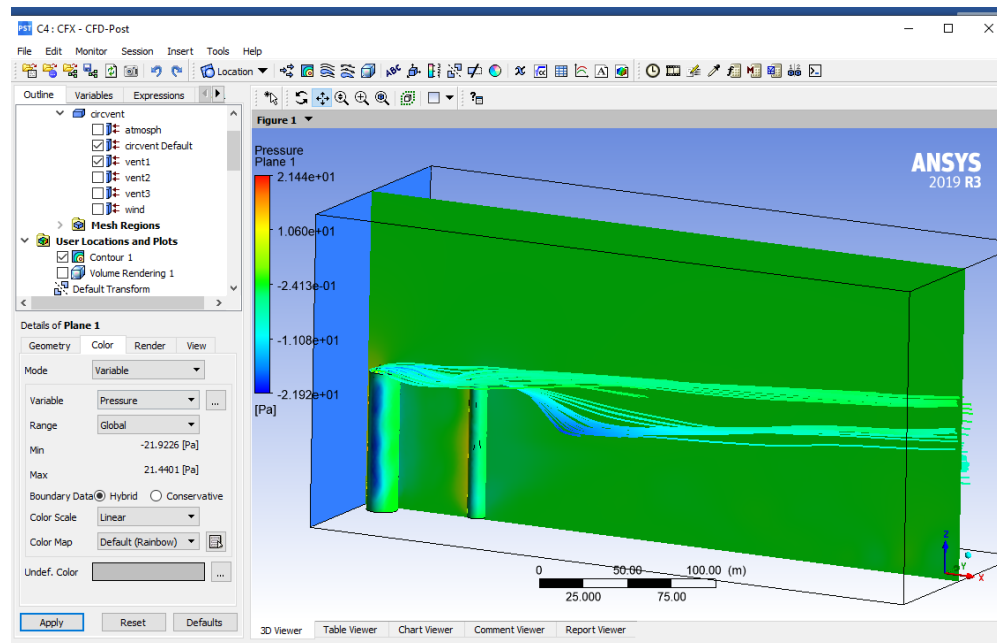


Рисунок.2.14. Распространение загрязнителей воздуха в разрезе

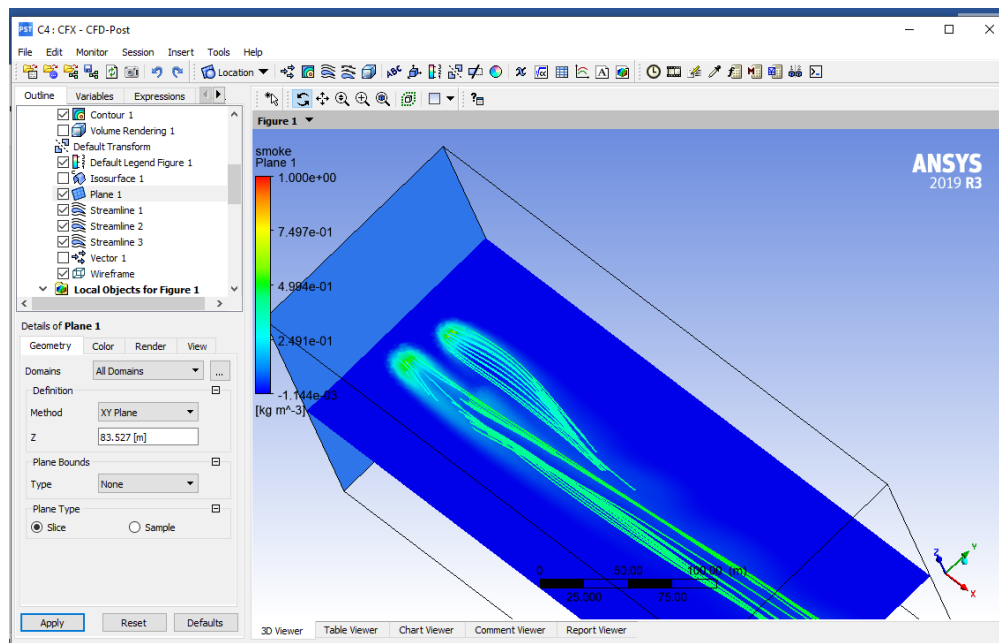


Рисунок.2.15. Распространение загрязнителей воздуха в разрезе сверху

2.3. Влияние метеорологических параметров и препятствий на траекторию выбросов в ANSYS Fluent

Для моделирования объекта данные приведены в табл 2.2.

ТАБЛИЦА.2.2.. Параметры моделирования объекта

№	Данные модели	Ед изм.
1.	Длина пространства (куба) L1	600м
2.	Ширина пространства (куба) L2	100м
3.	Высота пространства (куба) H1	200м
4.	Диаметр выхода дыма из дымовой трубы (outlet1)	20м
5.	Высота дымовой трубы H2	150м
6.	Длина здания L3	50м
7.	Ширина здания L4	16м
8.	Высота здания H3	25м
9.	Расстояние между дым.трубы и здания L5	300м
10.	Скорость ветра	3м/с
11.	Скорость дыма из дымовой трубы	1м/с
12.	Температура пространства	150С
13.	Температура дыма из дымовой трубы	300 0С

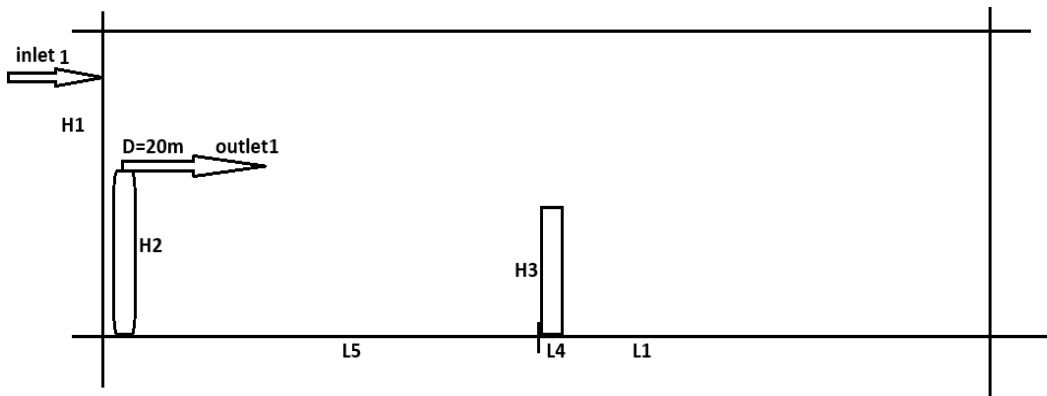


Рисунок.2.16. Модель объекта с параметрами

На основе вышеуказанных параметров в табл. 2.2. строится геометрия объекта в 3D моделировании как показано на рисунке.2.17. Куб - означает пространство с параметрами, указанными в табл.1., который имеет длину - L_1 , ширину - L_2 и высоту – H_1 , где происходит процесс обтекание дыма из дымовой трубы на здание (стрелка - **outlet1**), диаметр отверстие трубы -(20m).

Расстояние между дымовой трубой и здания составляет 300м.

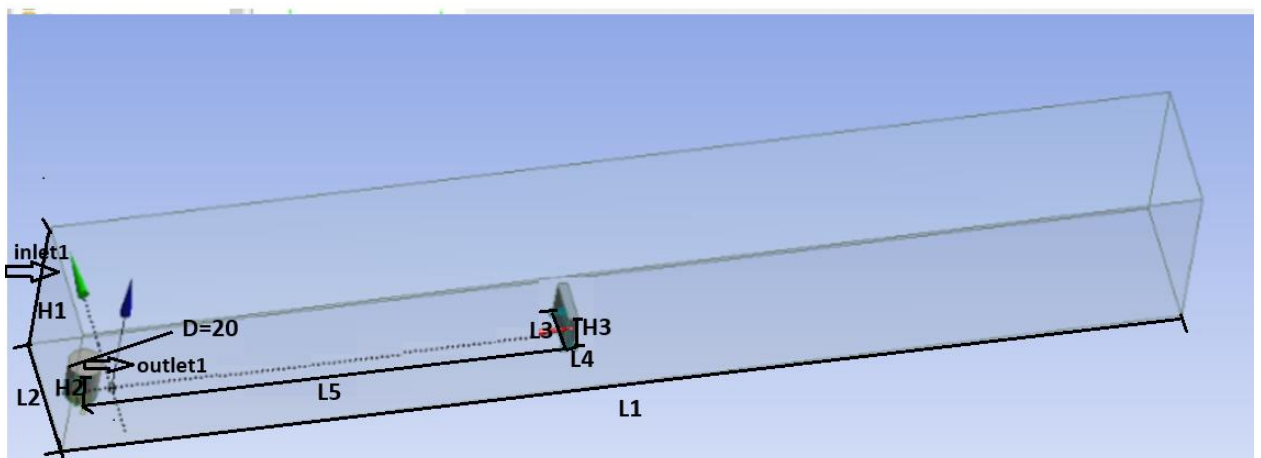


Рисунок.2.17. Геометрия модели дымовой трубы и здания в пространстве.

Платформа Workbench имеет модульный принцип описания расчетного проекта, что позволяет наглядно представить последовательность проведения всех расчетов, а также систематизировать и хранить полученные результаты.

Пользовательский интерфейс Workbench (Рисунок. 2.18.) содержит следующие панели и окна: [106,107,108,109,111]

1 – окно Project Schematic, в котором отображается схема проекта, включающая набор используемых в проекте модулей и приложений;

2 – панель инструментов объединяет общие настройки и опции проекта, позволяющие производить операции с файлами, настраивать вид отображения графической информации в проекте, устанавливать глобальные настройки для отдельных модулей проекта, включая решатели (свойства импорта и экспорта геометрических моделей, возможности повышения производительности вычислений и т. д.), а также выбирать единицы измерения, используемые в проекте, и интегрировать в рабочую среду собственные программные приложения (расширения);

3 – панель Properties содержит описание свойств выделенного в окне Project Schematic объекта. По умолчанию панель свойств скрыта и вызывается пользователем через контекстное меню выбранного объекта. Панель представляет собой таблицу из двух столбцов. В первом столбце перечисляются названия свойств, а во втором – их значения. Все свойства имеют некоторые значения, заданные по умолчанию. Если значение какого-либо свойства отображается на сером фоне, то оно не может быть изменено пользователем;

4 – панель Toolbox отображает все доступные модули и приложения, интегрированные в среду Workbench. Набор доступных модулей зависит от типа лицензии ANSYS.

Панель Toolbox всегда включает пять разделов:

1) раздел Analysis Systems содержит готовые шаблоны для различных типов численного анализа.

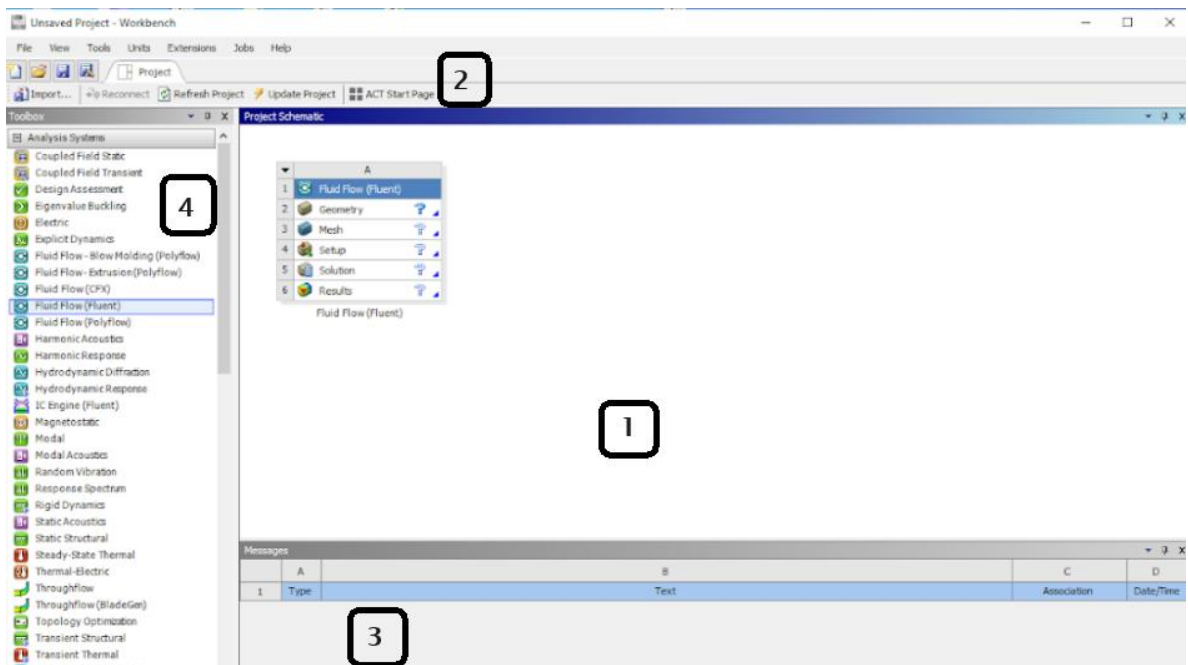


Рисунок.2.18. Интерфейс Workbench

Каждый шаблон имеет ядро в виде определенного решателя (Fluent, CFX, Static Structural и т. д.), а также включает вспомогательные модули для подготовки геометрической модели (Design Modeler), конечно-элементной или конечно-объемной модели (Meshing), задания свойств материалов (Engineering Data) и постобработки результатов расчета (Results).

На рисунке. 2.19. Изображен пример шаблона Fluid Flow (Fluent) для моделирования дымовой трубы и здания с использованием решателя Fluent. Для добавления шаблона в проект достаточно перетащить его с панели Analysis System в рабочее пространство проекта Project Schematic.

2) раздел Analysis Systems включает основные и вспомогательные модули, используемые при решении задач. Так, в рабочее пространство проекта может быть отдельно добавлен компонент для построения геометрической модели, постобработки результатов и т. д.

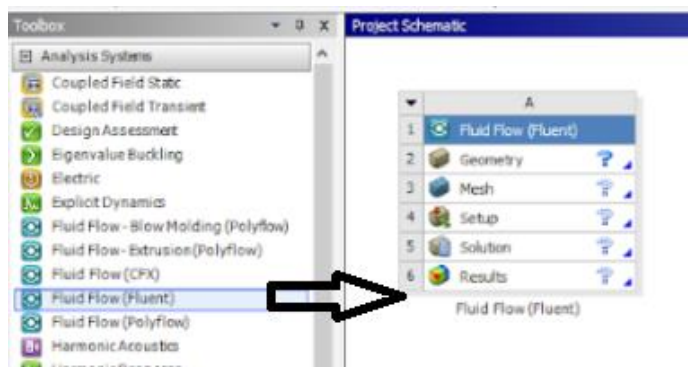


Рисунок.2.19. Шаблон Fluid Flow (Fluent)

3) в разделе Custom Systems содержатся готовые связки шаблонов для решения междисциплинарных задач.

4) раздел Design Exploration позволяет решать задачи оптимизации для параметров, которые задаются в интерфейсе Parameter Set (набор параметров);

5) раздел External Connection Systems позволяет интегрировать пользовательские внешние приложения и процессы в проект

Обзор основных модулей и приложений, используемых в ANSYS Workbench для подготовки и проведения численного анализа.

Engineering Data – интерфейс для управления базой данных физических и механических свойств материалов, а также входных параметров математических моделей.

Design Modeler (пункт Geometry в разделе Component Systems) – приложение для создания геометрических 2D/3D-моделей. Также модуль может работать с импортированной из сторонних CAD-комплексов геометрией: позволяет исправлять дефекты в геометрии, изменять или упрощать геометрическую модель.

Meshing (пункт Mesh в разделе Component Systems) – многофункциональный сеточный препроцессор, который позволяет генерировать высококачественные расчетные сетки в автоматическом режиме для различных типов инженерного анализа. Модуль предоставляет широкий набор инструментов для построения расчетных сеток на основе треугольных и

четырехугольных элементов для 2D-моделей и на основе тетраэдров, гексаэдров или пирамидальных элементов для 3D-моделей. В программе заложены алгоритмы для построения структурированных и неструктурных расчетных сеток, а также возможности качественного разрешения расчетной сетки вблизи твердых стенок и других особенностей моделей, что особенно важно для гидродинамического анализа.

Static Structural предназначен для решения задач механики деформируемого твердого тела в статической постановке. При использовании командных вставок на языке APDL функционал модуля может быть расширен для решения, например, связанных задач (термоупругость, пороупругость, электроупругость и т. д.).

Transient Structural – модуль для решения задач динамики конструкций. Основан на неявных схемах интегрирования уравнений движения.

Explicit Dynamics/AUTODYN/LS-DYNA – модули, основанные на явных решателях для расчета задач динамики конструкций и моделирования быстропротекающих нелинейных процессов: высокоскоростных ударов, пробитий, фрагментации, разрушения и т. д.

Rigid Dynamics предназначен для моделирования динамики подвижных систем, механизмов. Кинематика механизма описывается путем задания систем координат, связанных с деталями, и выбора параметров, которые однозначно определяют взаимное положение деталей и конфигурацию всего механизма. Перемещения тел описываются уравнениями движения в форме Кейна [4], что обеспечивает высокую точность и скорость решения задачи.

Steady-State Thermal/Transient Thermal – анализ установившегося/нестационарного теплового поля на основе решения уравнения стационарной/нестационарной теплопроводности [108,111].

Fluid Flow (CFX) предназначен для решения задач гидродинамики, а также задач сопряженного теплообмена. Позволяет моделировать широкий спектр физических процессов в жидкостях и газах, таких как нестационарность,

турбулентность, многокомпонентность и многофазность среды, химические реакции, радиационное излучение, акустические волны и т. д. Хорошо зарекомендовал себя в задачах турбомашиностроения, где необходимо моделирование течений жидкостей и газов в условиях вращающихся механизмов.

Fluid Flow (Fluent) имеет аналогичный модулю CFX функционал, однако содержит более широкий спектр моделей и методов для моделирования течений с химическими реакциями. Также обладает встроенным редактором расчетных сеток [106,107].

1. Создание геометрической модели компонента “Geometry”

По выше приведенному примеру создаются объекты. В данном случае пространство, дымовая труба и здание.

Этап создания геометрии осуществляется нажатием на “Geometry” из Fluid Flow (Fluent), открывается окно которого изображена на рисунке 2.20.

В правой части окна показаны компоненты “Дымовой трубы”:

Extrude - форма (цилиндр) дымовой трубы

Inlet 1 - вход дымовой трубы

wall 1 - ствол дымовой трубы

Outlet 1 - выход дыма из дымовой трубы

Enclosure - пространство дымовой трубы

Inlet 2 - вход пространства дымовой трубы

wall 2 - пространство дымовой трубы

Outlet 2 - выход пространства дымовой трубы

2 Parts. 2 Bodies - определение жидких (газообразующее) тел (дымовую трубу, пространство).

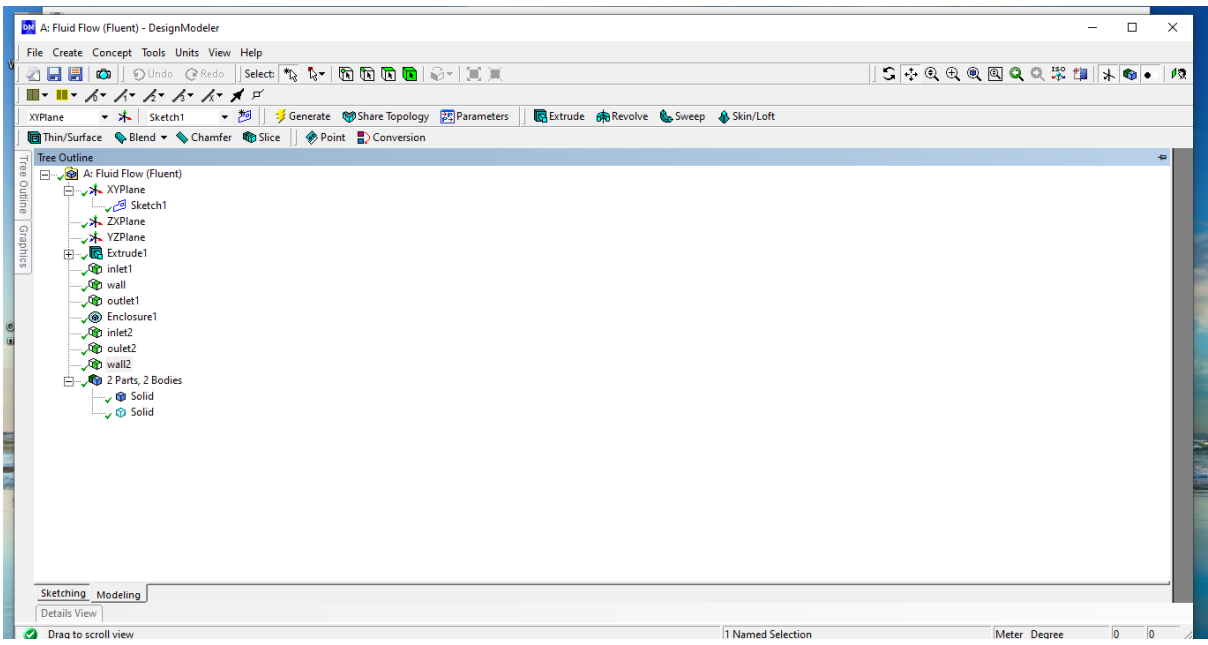


Рисунок.2.20. Построение геометрии дымовой трубы и препятствия (здания).

Построенная модель дымовой трубы в пространстве изображен на Рисунок.2 21.

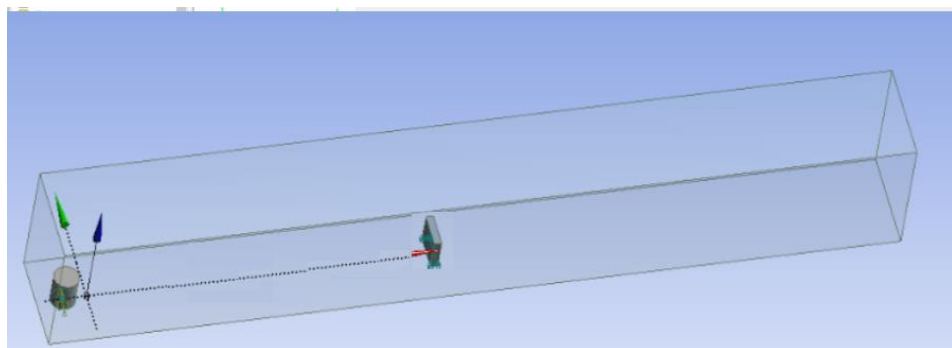


Рисунок.2.21 Модель дымовой трубы.

При работе в Workbench сохранение модели после окончания её построения происходит автоматически при закрытии Design Modeler, а в строке Geometry появляется зеленаягалочка, если модель (дымовая труба и здание) построена без ошибок (Рисунок. 2.22).

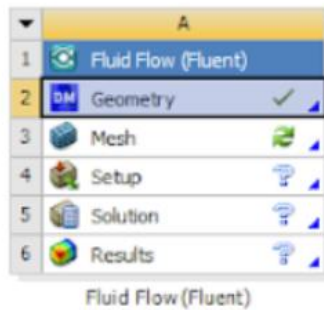


Рисунок.2.22. Компоненты построенной модели Fluid Flow(Fluent)

При этом в строке сетки (Mesh) отображаются зеленые стрелочки, что означает, что входная информация данного блока изменилась и требуется обновление.

2.Работа в интерфейсе Meshing

Представлена рабочая область модуля симуляции. Раздел сетки элементов (Mesh) располагается в дереве проекта и позволяет управлять настройками сетки. При нажатии левой кнопки мыши на разделе Mesh изменяется вид панели инструментов, в которую выводятся основные команды работы с сеткой. Все доступные команды также можно вызвать через контекстное меню, вызываемое нажатием правой кнопки мыши на разделе Mesh. Запускается Mesh – Edit на Рисунок.2.23.

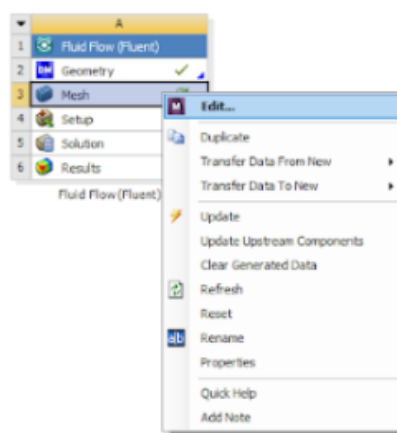


Рисунок.2.23. Запуск компонента «Mesh» для модели

Аналогично, после построения сетки и последующего закрытия ANSYS Meshing, выполняется автосохранение сеточной модели с последующим

автоматическим импортом в ANSYS Fluent (Рисунок. 2.3.9.). Окно Fluent (Рисунок. 2.24.) состоит из графического окна, в котором можно видеть загруженную модель, окна текстовых сообщений, в которое выводятся результаты выполнения команд, дерева проекта и панели инструментов. В зависимости от того, какой пункт выбран в дереве проекта, открывается соответствующая панель. Окно Fluent (Рисунок.2.3.9.) состоит из графического окна, в котором можно видеть загруженную модель, окна текстовых сообщений, в которое выводятся результаты выполнения команд, дерева проекта и панели инструментов. В зависимости от того, какой пункт выбран в дереве проекта, открывается соответствующая панель.

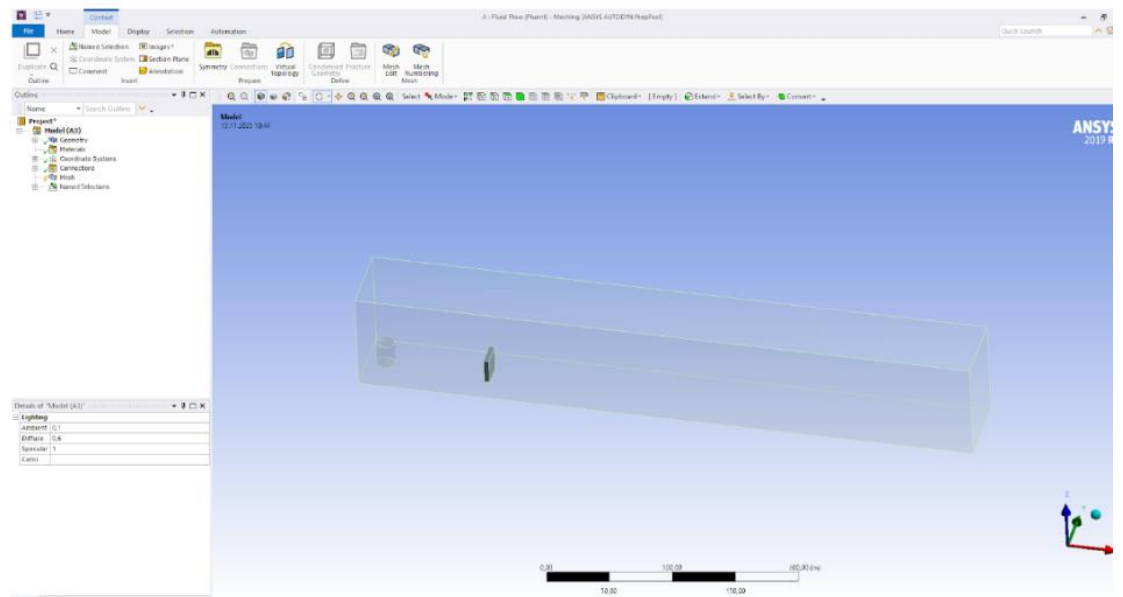


Рисунок.2.24. Окно построение сетки «Mesh»

Для запуска построения сетки нужно нажать кнопку Update или Generate Mesh на панели инструментов (Рисунок.2.25). Через какое-то время генерация сетки закончится, и если в дереве проекта выбрать элемент Mesh, можно увидеть расчётную сетку. Индикатор состояния элемента Mesh примет вид зелёной галочки.

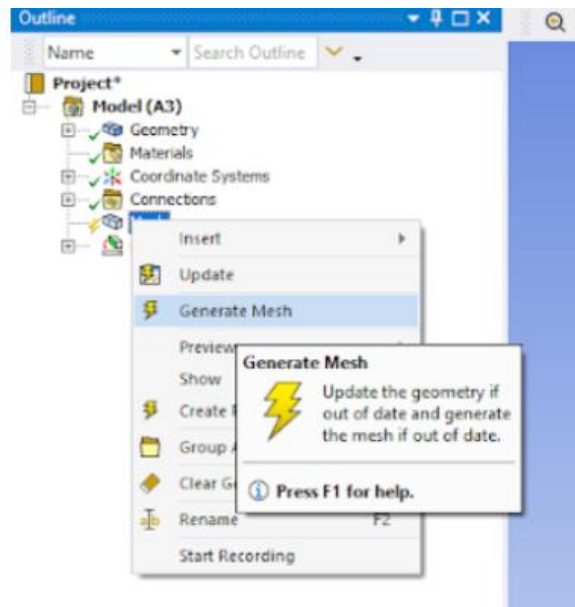


Рисунок.2.25. Генерация сетки

Определяется метод - Automatic Method, Scoping Method -Geometry Selection, Geometry - Apply.

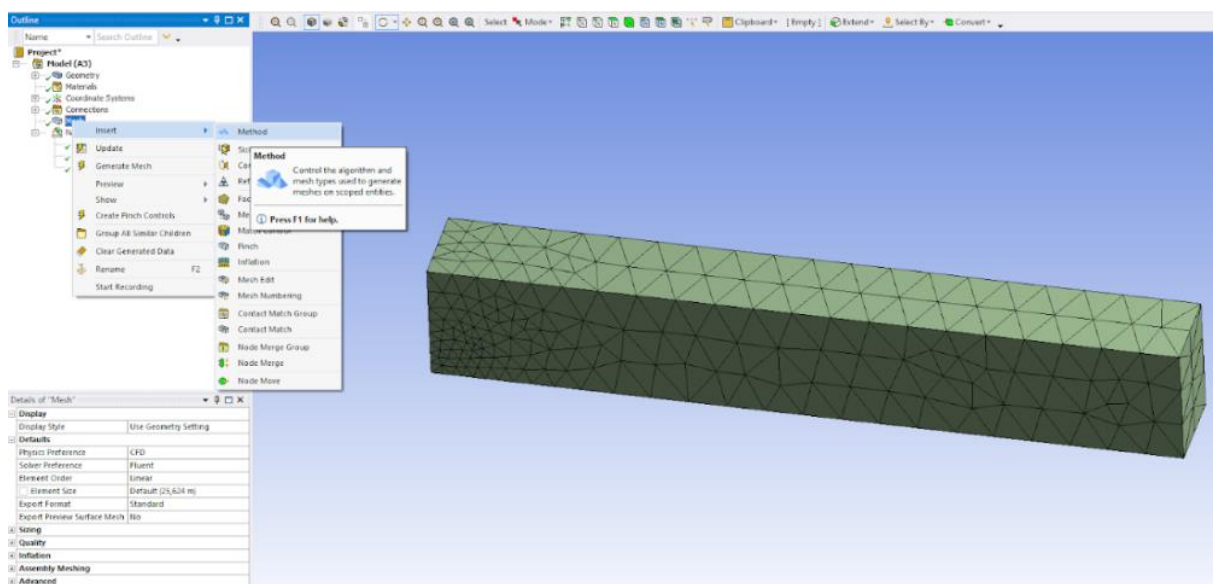


Рисунок.2.26. Определение метода сетки.

После выдается следующий результат на рисунке.2.27.

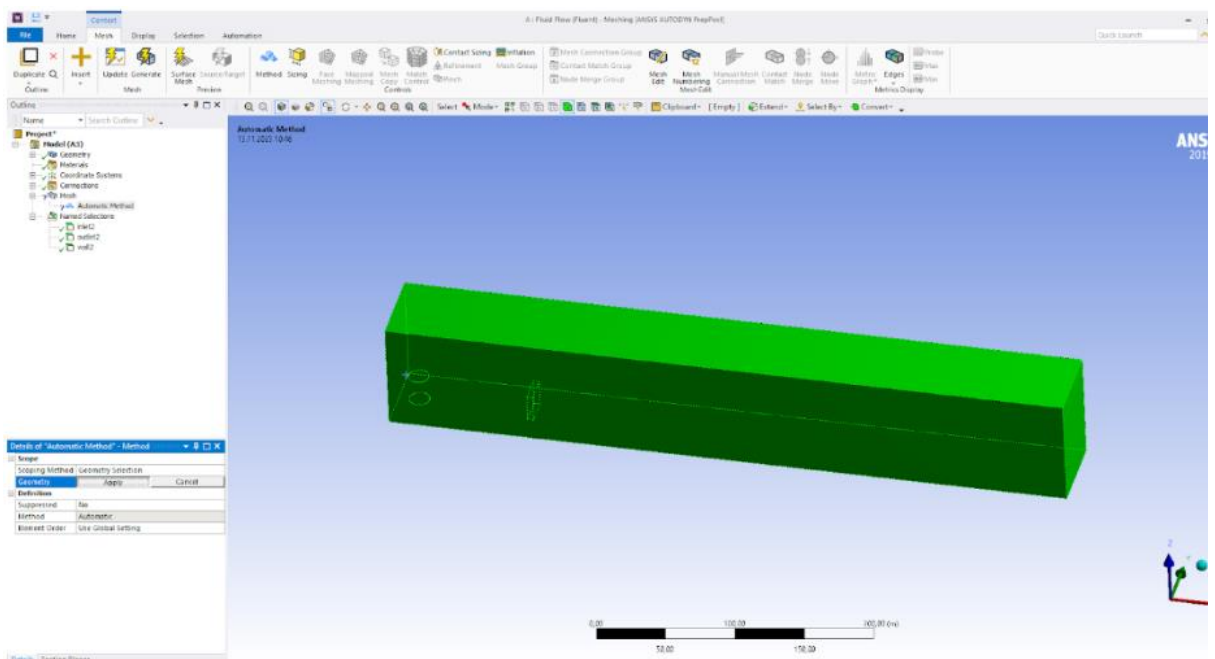


Рисунок.2.27. Построенная модель «Mesh».

На рисунке 2.28. задается параметр - Sizing, элемент size - 4m, Scoping Method -Geometry Selection, Geometry - Apply.

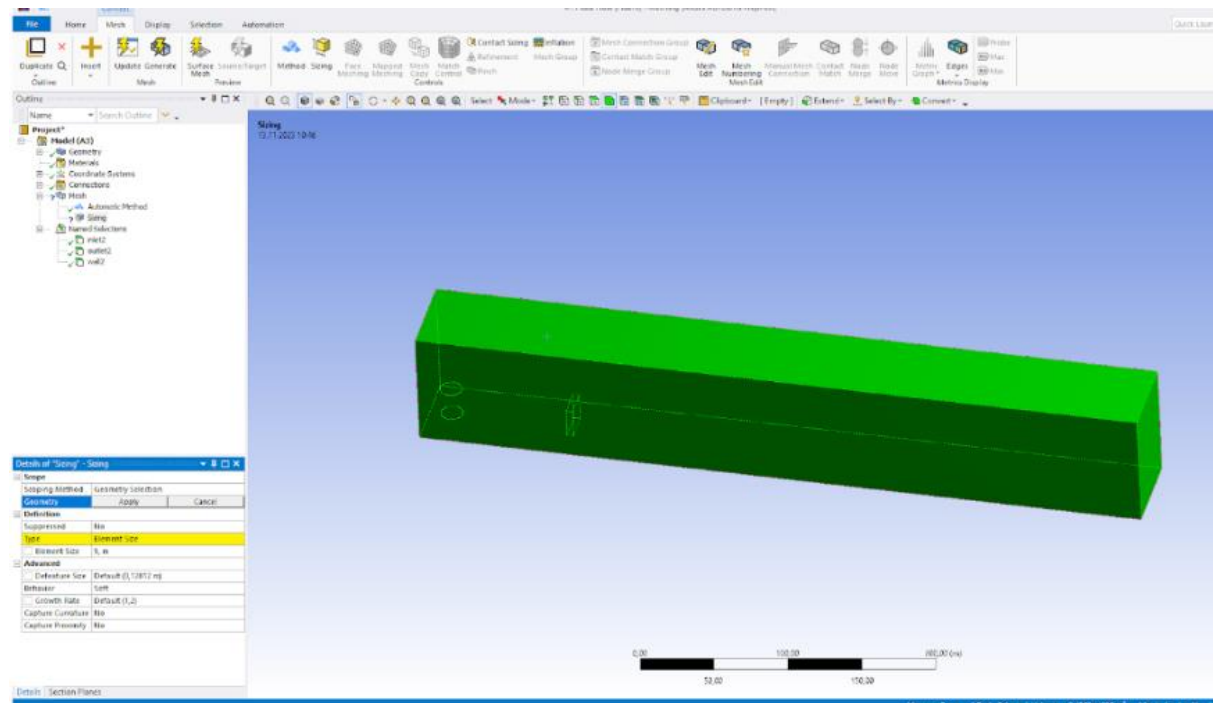


Рисунок.2.28. Параметры модели «Mesh».

3.Задание граничных условий

В рабочей области нажимаем “Setup”, появляется окно для задания ограничений на рисунке 2.29.:

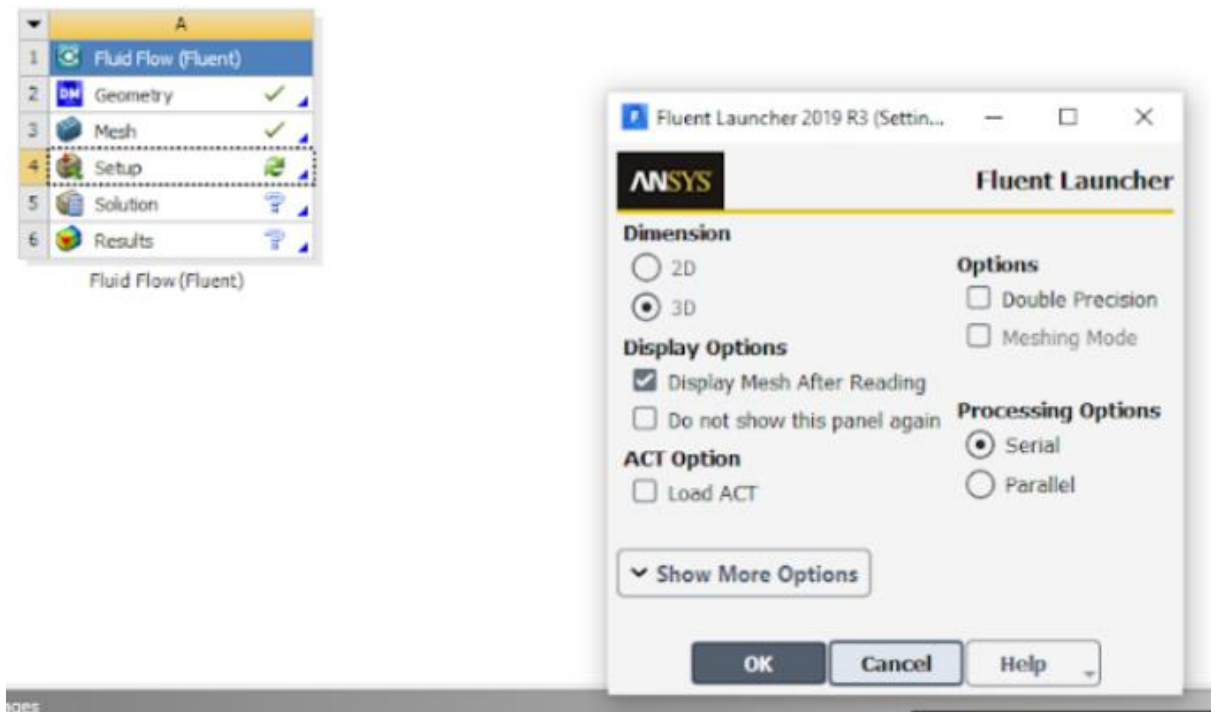


Рисунок.2.29. Окно задания ограничений

Окно состоит из 2-х частей: в левой расположены условия - Setup, Solution, Results, Parameters & Customization на рисунке.2.30.

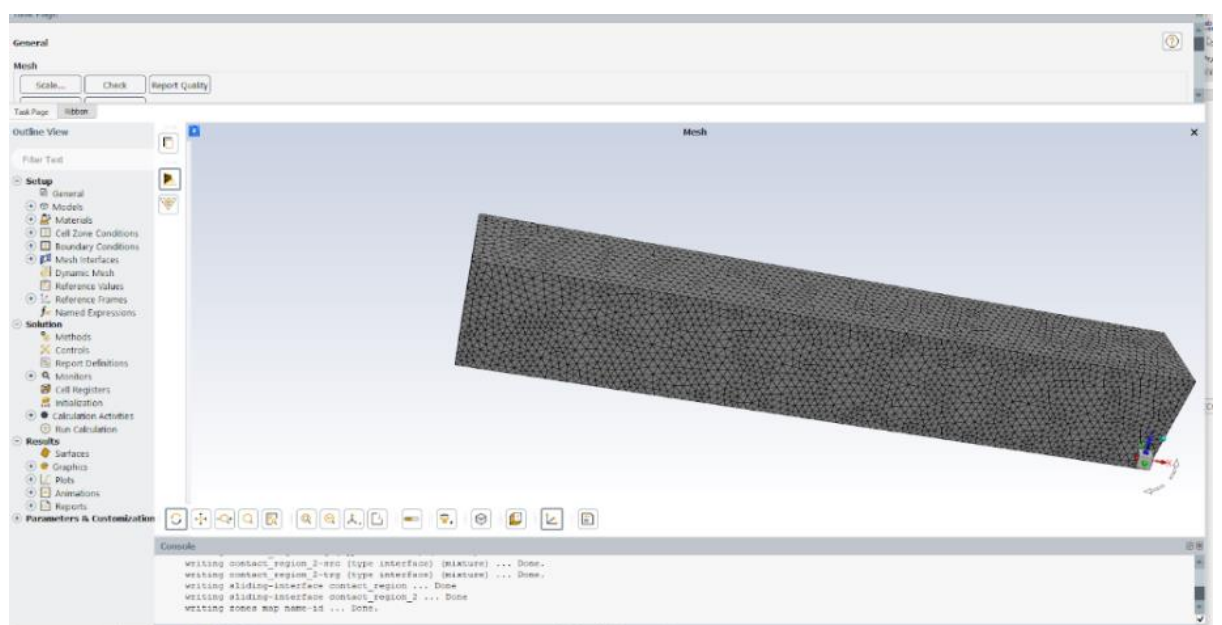


Рисунок.2.30. Окно параметров

На рисунке 2.31. задаются граничные условия

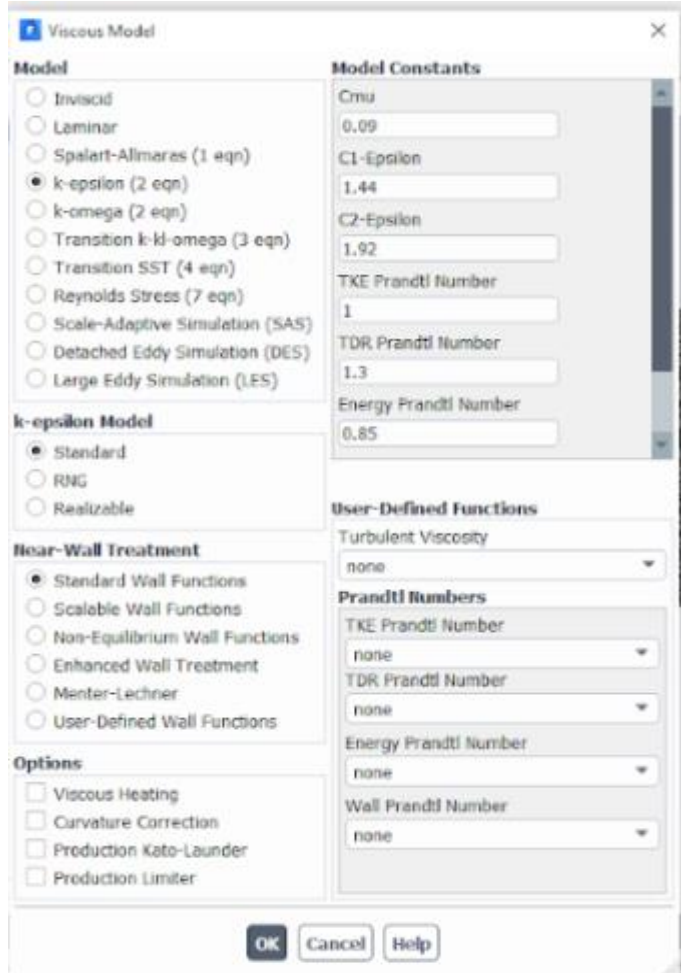


Рисунок.2.31. Граничные условия

Для этого нужно перейти на вкладку Boundary Conditions (граничные условия) (Рисунок. 2.30), выбрать в списке граничных условий inlet1, проверить, что типом данного граничного условия является velocityinlet (вход потока с заданием его скорости), нажать кнопку Edit и в появившемся окне (Рисунок.2.32) и задать следующие параметры

Вкладка Momentum (количество движения):

Velocity Magnitude (величина скорости) 2 m/s

Turbulence (турбулентность):

Specification Method Intensity and Hydraulic Diameter

(метод задания интенсивность и гидравлический диаметр)

Turbulent Intensity (интенсивность турбулентности) 5 %

Hydraulic Diameter (гидравлический диаметр) 4 in

Вкладка Thermal (теплопередача):

Temperature (температура) 297

Определяем Scheme - Simplec

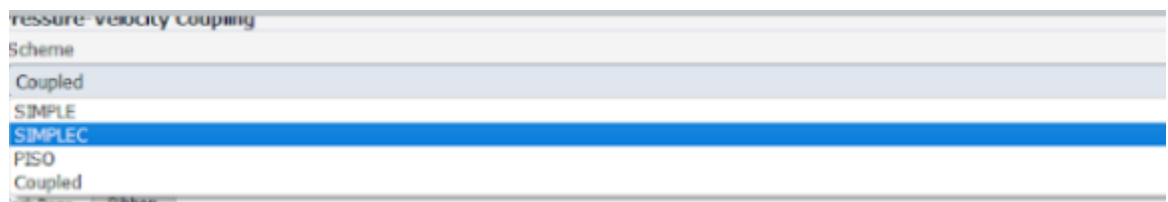


Рисунок.2.32. Определение схема - Симплекс

Метод Инициализации - Hybrid Initialization

Для инициализации задачи переходим на вкладку Solution Initialization (инициализация решения) (Рисунок. 2.33.), на панели выбираем Hybrid Initialization (смешанный тип инициализации) и нажимаем кнопку Initialize. В ходе десяти итераций будут вычислены предварительные значения, и ими будет заполнена расчётная область. При этом в текстовом окне появится надпись «Hybrid initialization is done»

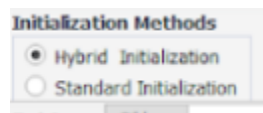


Рисунок.2.33.Метод Инициализации

Аналогичным образом поочерёдно задать параметры всех граничных условий:

inlet2:

Type velocity-inlet

Momentum: Velocity Magnitude - 0.4 m/s

Turbulence:

Specification Method Intensity and Hydraulic Diameter Turbulent Intensity 5 % Hydraulic Diameter 0.8 in Thermal: Temperature 363 k outlet:

Type pressure-outlet (выход с заданием давления) Momentum: Gauge Pressure (статическое избыточное давление) 0 Turbulence: Specification Method

Intensity and Hydraulic Diameter Backflow Turbulent Intensity 5 % Backflow Hydraulic Diameter 4 in Thermal: Backflow Temperature 310 k symmetry: Type symmetry (симметрия)

Получаем следующий график после выполнения 200 итераций:

Для выполнения решения переходим на вкладку Run Calculation, вводим в поле Number of Iterations (количество итераций) некоторое количество итераций (например, 200) и нажимаем кнопку Calculate (вычислять). При этом начнётся процесс поиска решения (Рисунок. 2.33.), при котором в графическом окне отображается график невязок (Residuals) по количеству решаемых уравнений, а в текстовом окне выводится таблица изменения невязок от итерации к итерации.

Рисунок. 2.30. – Вкладка Run Calculation и процесс поиска решения. Когда будет завершено требуемое количество итераций или на какой-то итерации все невязки окажутся меньше установленного по умолчанию значения (0.001), решение считается сошедшим (Solution is converged) и расчет заканчивается с появлением окна сообщения (Рисунок. 2.33).

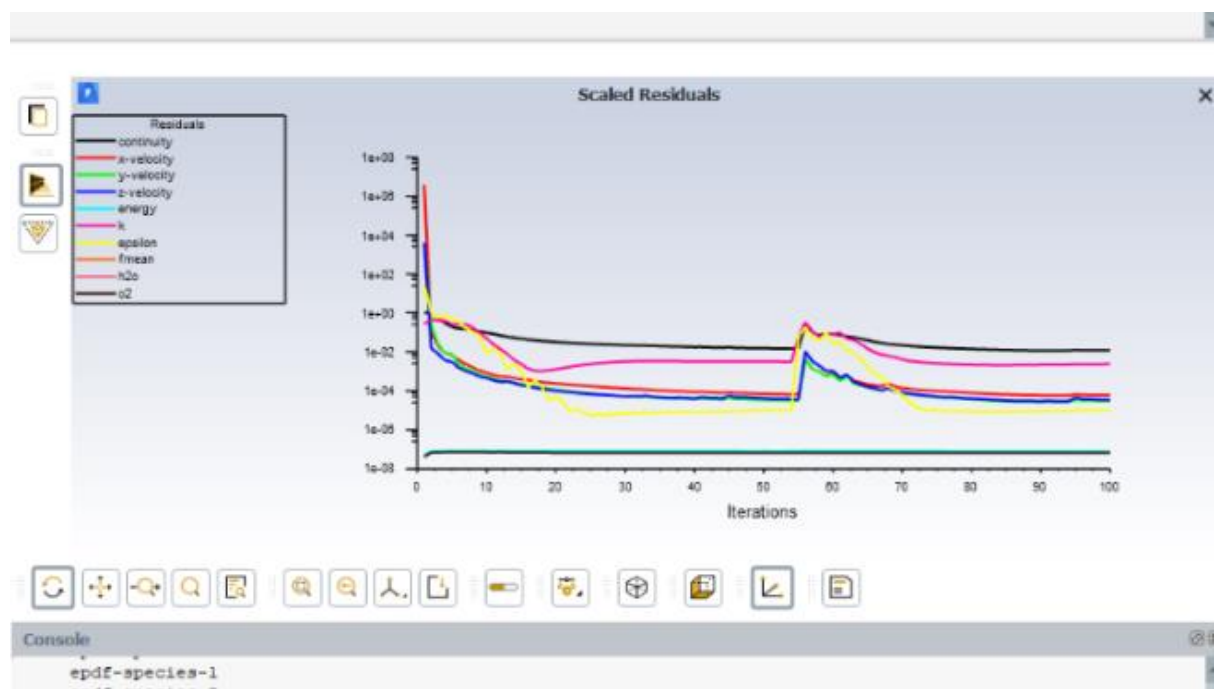


Рисунок.2.33. Итерации

4.Поиск решения.

Для предварительного просмотра результатов на вкладке Graphics and

Animations (графика и анимация) (Рисунок. 2.30) нужно дважды щелкнуть на элементе Contours (контуры), задать параметры визуализации (Рисунок.2.34.) и нажать Display: Contours of Pressure (давление) Options Filled (заливые цветом поля контуров) Surfaces symmetry (поверхности окрашивания – граница симметрии).

Для анализа результатов нужно открыть пост-процессор, дважды кликнув на элементе Results. При этом откроется окно постпроцессора с результатами обоих расчётов одновременно. Затем нужно вызвать из главного меню визуализатор «контур»: Insert, в появившемся окне оставить название Contour 1, нажав OK, и установить следующие параметры (Рисунок. 2.34): Location (размещение) symmetry Variable (переменная) Static Temperature. Нажать Apply (применить). Повернув модели нужным образом (нажимая на тройку векторов справа внизу), можно получить картину, удобную для сравнения (Рисунок. 2.34). Аналогично можно сравнить другие параметры (Velocity, Static Pressure и др.).

В результате выполнения всех расчетов получаем следующие графики. На рисунке 2.34. показано “Статическое давление дыма на препятствия (здание)”

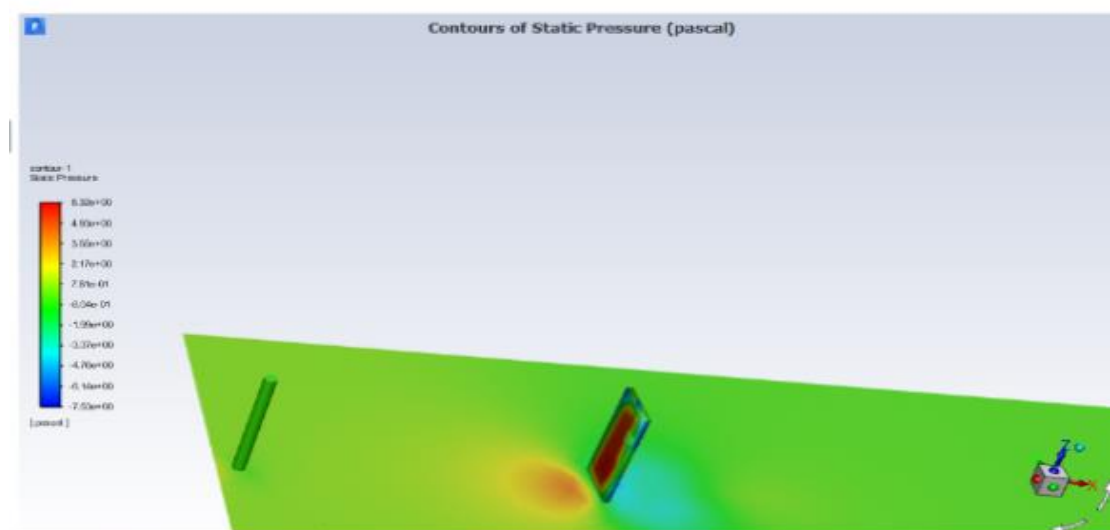


Рисунок.2.34. Контуры давления

В результате выполнения всех расчетов получаем следующие графики. На рисунке 2.35. показано “Производная дыма на препятствия (здание)”

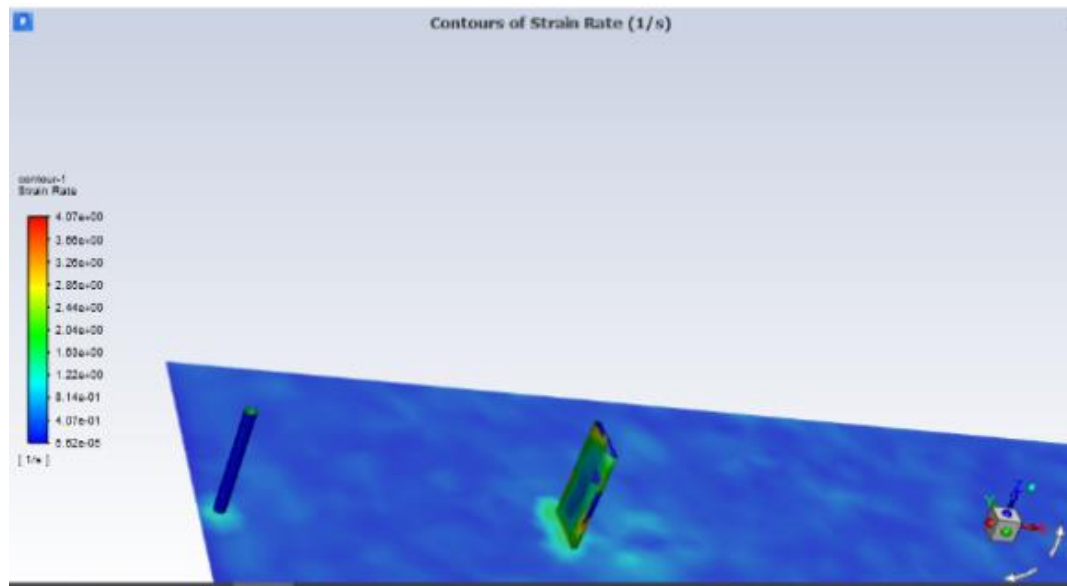


Рисунок.2.35. Производная дыма на препятствия

На рисунке 2.36. показано “Статическая температура дыма на препятствия (здание) в виде гистограммы ”

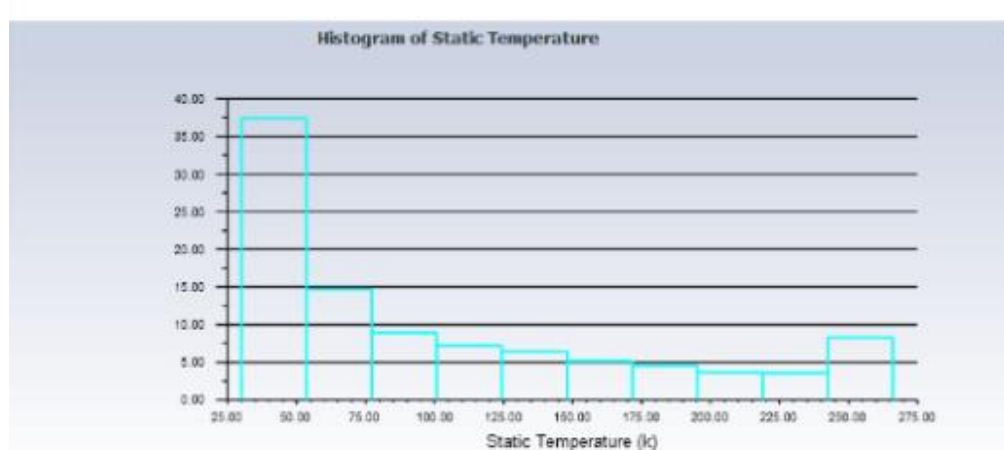


Рисунок.2.36.Статическая температура дыма на препятствия

На рисунке 2.37. Показано “Статическая температура дыма на препятствия (здание)”

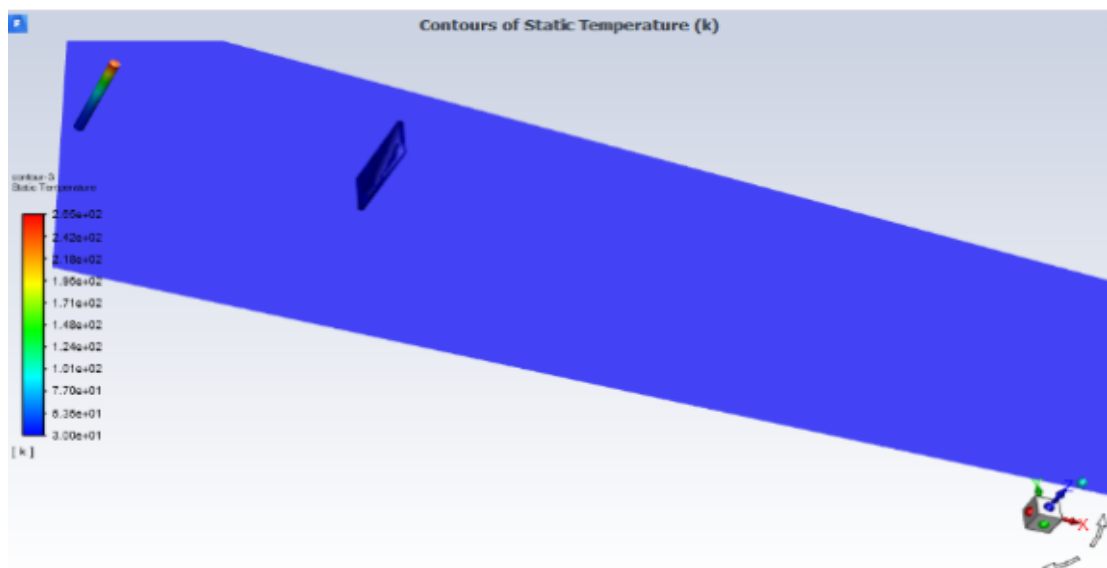


Рисунок. 2.37. Статическая температура дыма

На рисунке 2.38. показано “Турбулентная кинетическая энергия дыма на преграду (здание)”

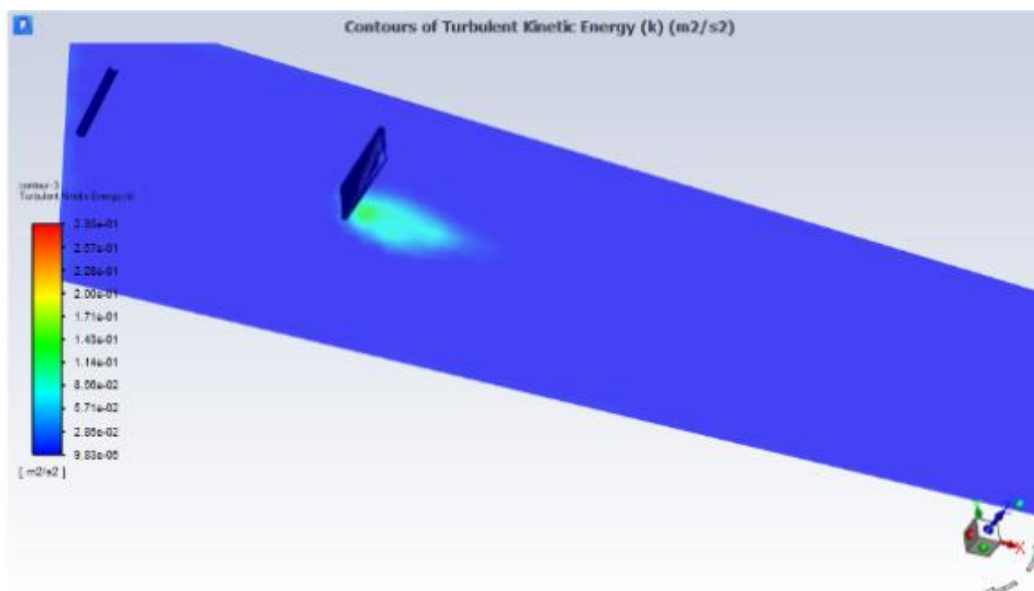


Рисунок. 2.38. Турбулентная кинетическая энергия

На рисунке 2.39. показано “Вектор скорости по величине дыма на преграду (здание)”

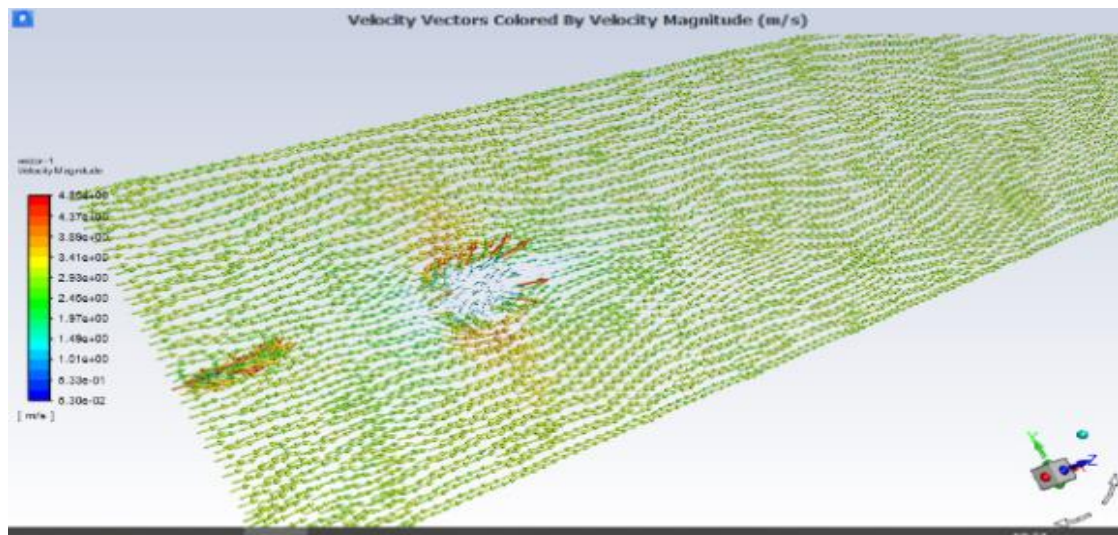


Рисунок. 2.39. Вектор скорости по величине дыма

На рисунке 2.40. показано “Статическая температура” в виде графика

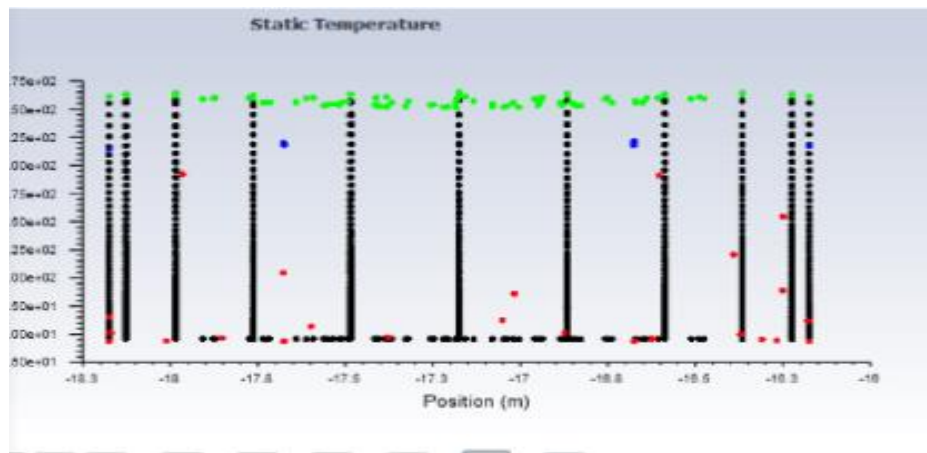


Рисунок.2.40 Статическая температура

На рисунке 2.41 показано «Турбулентная кинетическая энергия» в виде графика

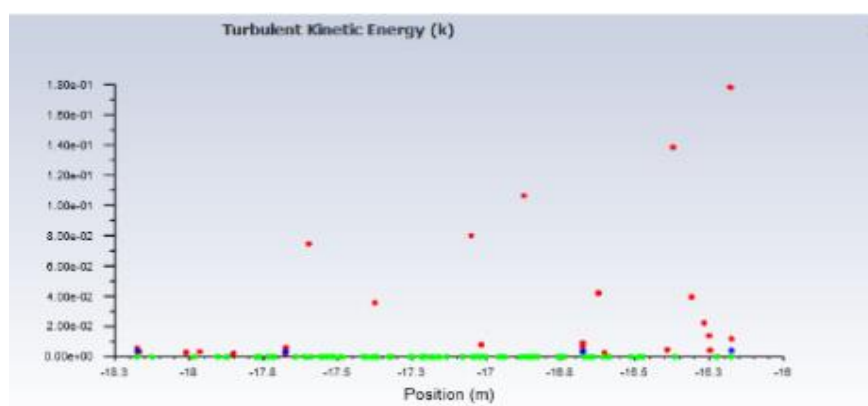


Рисунок. 2.41. Турбулентная кинетическая энергия

5. Результаты расчетов

Произвести инициализацию (Solution Initialization Initialize) и выполнить расчёт (Run Calculation Calculate) и получен результат на рисунке. 2.42.

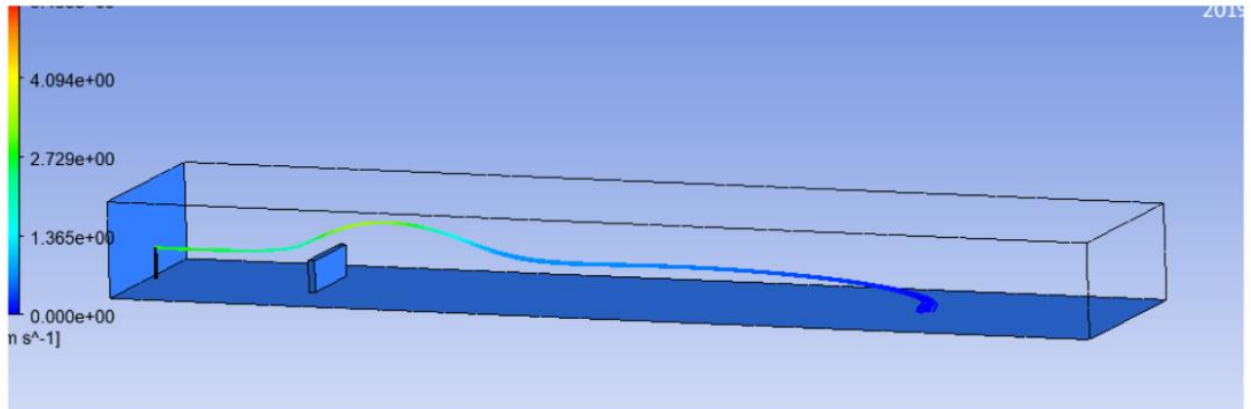


Рисунок. 2.42. Результаты расчетов

2.4. Выводы по главе

Проанализированы атмосферного воздуха в осенний и весенний периоды, выявляющие особенности сезонных колебаний концентрации загрязняющих веществ, получены результаты численного моделирования процессов диффузии и рассеивания дымовых выбросов из точечного источника в атмосфере, построенная на основе расчетов в программном комплексе **ANSYS Fluent**, **ANSYS CFX**.

ГЛАВА 3. ЧИСЛЕННОЕ МОДЕЛИРОВАНИЕ ПРОЦЕССОВ ФИЛЬТРАЦИИ ЖИДКОСТИ И ПРОГНОЗИРОВАНИЕ ОСАДКОВ

3.1. Численное моделирование переноса пассивной примеси над ограниченной территорией

В данном параграфе приведены результаты расчета переноса осредненной по высоте пассивной примеси над термически и орографически неоднородной ограниченной территорией, включающей территорию Кыргызской Республики, с использованием двумерной модели, полученной путем интегрирования по высоте полных уравнений гидротермодинамики.

Проблема взаимодействия человека с окружающей средой представляет в настоящее время активно развивающуюся область применения методов математического моделирования. Особенно остро эти задачи ставятся в последние годы в связи с активным влиянием человека на окружающую среду. Увеличение масштабов хозяйственной деятельности связано с воздействием на окружающую среду локального и глобального характера. При оценке возможных последствий этой деятельности существенную роль должны сыграть математические модели. С позиций математического моделирования влияние деятельности человека можно интерпретировать как реализацию некоторых экспериментов. Постановка же экспериментов в реальных условиях на практике, с одной стороны, оказывается слишком дорогостоящей с другой стороны, многие эксперименты в экологии и социально – экономических областях могут привести к необратимым последствиям.

К настоящему времени уже накоплен достаточно большой опыт в решении задач физики атмосферы и прикладной метеорологии с помощью математических моделей и анализа фактической информации [35, 48, 59, 60, 75]. В зависимости от исследования конкретной проблемы выбираются модели различного уровня по физическому содержанию для эффективной реализации их на вычислительных машинах. Теоретическую основу моделей данного класса

составляют уравнения гидротермодинамики атмосферы и уравнения переноса и трансформации примесей.

МАТЕМАТИЧЕСКАЯ МОДЕЛЬ РАСЧЕТА.

Рассмотрим математическую модель гидротермодинамики атмосферных процессов на ограниченной территории регионального масштаба. Для записи уравнений используем декартову систему координат x, y, z (ось x ориентирована на восток, y – на юг, z – вертикаль вниз).

В качестве исходных уравнений локальных атмосферных процессов примем: уравнения движения (3.1), уравнения неразрывности (3.2), уравнение переноса тепла и примеси (3.3), уравнение состояния (Клайперона) (3.4) в следующем виде

$$\begin{aligned} \frac{\partial u}{\partial t} + L(u) + fv &= -\frac{1}{\rho} \frac{\partial p}{\partial x} + F^u, \\ \frac{\partial v}{\partial t} + L(v) - fu &= -\frac{1}{\rho} \frac{\partial p}{\partial y} + F^v, \\ \frac{\partial p}{\partial y} &= g\rho, \end{aligned} \quad (3.1)$$

$$\frac{\partial u}{\partial x} + \frac{\partial v}{\partial y} + \frac{\partial w}{\partial z} = 0, \quad (3.2)$$

$$\begin{aligned} \frac{\partial \theta}{\partial t} + L(\theta) &= F^\theta, \\ \frac{\partial c}{\partial t} + L(c) + \frac{\partial w'c}{\partial z} + qc &= F^c, \end{aligned} \quad (3.3)$$

$$p = \rho RT, \quad (3.4)$$

Задаем краевые условия при $z=0$ и $z=H$ в виде:

$$z=0: \quad \rho_0 A_v \frac{\partial u}{\partial z} = -\tau_x, \quad \rho_0 A_v \frac{\partial v}{\partial z} = -\tau_y, \quad w = 0, \quad w' = 0, \quad (3.5)$$

$$z = H : \quad u = v = w = 0, \quad A_z^z \frac{\partial \theta}{\partial n} = 0, \quad A_c^z \frac{\partial c}{\partial n} = 0, \quad w' = 0$$

и начальные условия при $t = 0$ в виде:

$$t = 0 : \quad u = u_0, \quad v = v_0, \quad \theta = \theta_0, \quad c = c_0. \quad (3.6)$$

Здесь u, v, w – проекции вектора скорости ветра на оси координат x, y, z соответственно; ρ – плотность; p – давление; T – температура; R - газовая постоянная; f – параметр Кориолиса, $\theta = T(p_0/p)^{(\kappa-1)/\kappa}$ – потенциальная температура; $\kappa = c_p/c_v$, c_p, c_v – удельная теплоёмкость воздуха при постоянном давлении и объеме соответственно; c – концентрация примеси; q – постоянная распада; w' – средневзвешенная скорость падения примеси; $H = H(x, y)$ – функция, описывающая рельеф подстилающей поверхности; τ_x, τ_y – касательное напряжение трения ветра на верхней границе ($z=0$); n – направление внешней нормали к подстилающей поверхности $H(x, y)$; $L_{(\mu)} = \frac{\partial u \mu}{\partial x} + \frac{\partial v \mu}{\partial y} + \frac{\partial w \mu}{\partial z}$ – оператор адвекции скалярной величины μ ; F^μ – члены, описывающие вертикальную и горизонтальную турбулентность, имеющие вид $F_\mu = \frac{\partial}{\partial z} A_\mu^z \frac{\partial \mu}{\partial z} + \frac{\partial}{\partial x} A_\mu^x \frac{\partial \mu}{\partial x} + \frac{\partial}{\partial y} A_\mu^y \frac{\partial \mu}{\partial y}$; $A_\mu^z, A_\mu^x, A_\mu^y$ – коэффициенты вертикальной и горизонтальной турбулентности, где под μ понимаются u, v, θ или c ; ρ_0 – средняя плотность воздуха. Краевые условия на «открытой» границе области сформулируем ниже.

Перейдем от метеорологических величин p, ρ, θ и T к их отклонениям p', ρ', θ' и T' по формулам:

$$p = \bar{p} + p', \quad \rho = \bar{\rho} + \rho', \quad \theta = \bar{\theta} + \theta', \quad T = \bar{T} + T', \quad (3.7)$$

где $\bar{p}(z), \bar{\rho}(z), \bar{\theta}(z), \bar{T}(z)$ – функция только высоты, $\theta = \text{const}$, причем $\bar{p} = R \bar{\rho} \bar{T}$

и $\frac{\partial \bar{p}}{\partial z} = g\bar{p}$. Предполагая далее $\frac{p'}{\bar{p}} \ll 1$, $\frac{\rho'}{\bar{\rho}} \ll 1$ и $\frac{\theta'}{\bar{\theta}} \ll 1$ и интегрируя исходные уравнения по z от 0 до H с учетом того, что $\frac{\partial}{\partial z} \frac{p'}{\bar{p}} = \lambda \theta'$, где $\lambda = g/\bar{\theta} = \text{const}$ придем к уравнению для интегральной функции тока ψ

$$\begin{aligned} & \left[\frac{\partial}{\partial t} + R \right] A\psi + \frac{\partial}{\partial x} \left(\frac{f}{H} \frac{\partial \psi}{\partial y} \right) - \frac{\partial}{\partial y} \left(\frac{f}{H} \frac{\partial \psi}{\partial x} \right) - \frac{\partial}{\partial x} \left(\frac{A\psi}{H} \frac{\partial \psi}{\partial y} \right) + \frac{\partial}{\partial y} \left(\frac{A\psi}{H} \frac{\partial \psi}{\partial x} \right) = \\ & = A_H \left[\frac{\partial}{\partial x} \left(\frac{1}{H} \frac{\partial \Delta \psi}{\partial x} \right) + \frac{\partial}{\partial y} \left(\frac{1}{H} \frac{\partial \Delta \psi}{\partial y} \right) \right] + F, \end{aligned} \quad (3.8)$$

здесь

$$F = \frac{\partial}{\partial x} \left(\frac{\tau_y}{\rho_0 H} \right) - \frac{\partial}{\partial y} \left(\frac{\tau_y}{\rho_0 H} \right) - \frac{\lambda H^2}{2} \left[\frac{\partial}{\partial y} \left(\frac{1}{H} \frac{\partial \tilde{\theta}'}{\partial y} \right) - \frac{\partial}{\partial x} \left(\frac{1}{H} \frac{\partial \tilde{\theta}'}{\partial x} \right) \right],$$

$$A\psi = \frac{\partial}{\partial x} \left(\frac{1}{H} \frac{\partial \psi}{\partial y} \right) + \frac{\partial}{\partial y} \left(\frac{1}{H} \frac{\partial \psi}{\partial x} \right), A_H = A_u^x = A_u^y = A_v^x = A_v^y = \text{const},$$

а функция тока ψ связана с горизонтальными скоростями соотношениями

$$\frac{\partial \psi}{\partial x} = \int_0^H v dz, \quad \frac{\partial \psi}{\partial y} = - \int_0^H u dz. \quad (3.9)$$

При выводе уравнения (3.8) при линеаризации нелинейных членов предполагалось, что

$$\int_0^H \alpha(z) \beta(z) dz = \tilde{\alpha} \int_0^H \beta(z) dz = \tilde{\alpha} \tilde{\beta} H, \quad (3.10)$$

где α и β – это u или v , а волна сверху означает осреднение по глубине, т.е.

$(\tilde{v}) = \frac{1}{H} \int_0^H (v) dz$. Считалось, что составляющие трения τ_x^b , τ_y^b о подстилающую

поверхность пропорциональны составляющим полного потока, т.е.

$$\begin{aligned} -\frac{\tau_x^b}{\rho_0} &= A'_v \left. \frac{\partial u}{\partial z} \right|_H = -R \int_0^H u dz = R \frac{\partial \psi}{\partial y}, \\ -\frac{\tau_y^b}{\rho_0} &= A'_v \left. \frac{\partial v}{\partial z} \right|_H = -R \int_0^H v dz = -R \frac{\partial \psi}{\partial x}, \end{aligned} \quad (3.11)$$

где $A'_v = A_v + A_H \left[\left(\frac{\partial H}{\partial x} \right)^2 + \left(\frac{\partial H}{\partial y} \right)^2 \right]$ - эффективный коэффициент придонного трения.

Уравнение (3.1.8) можно записать в виде системы двух уравнений относительно функции тока ψ и потенциального вихря $\xi = (A\psi - f)/H$

$$\begin{aligned} H \left[\frac{\partial}{\partial t} + R \right] \xi + J(\psi, \xi) &= -Rf + F + A_H \left[\frac{\partial}{\partial x} \left(\frac{1}{H} \frac{\partial \Delta \psi}{\partial x} \right) + \frac{\partial}{\partial y} \left(\frac{1}{H} \frac{\partial \Delta \psi}{\partial y} \right) \right], \\ \frac{\partial}{\partial x} \left(\frac{1}{H} \frac{\partial \psi}{\partial x} \right) + \frac{\partial}{\partial y} \left(\frac{1}{H} \frac{\partial \psi}{\partial y} \right) &= H\xi + f, \end{aligned} \quad (3.12)$$

где $J(\psi, \xi) = \frac{\partial \psi}{\partial x} \frac{\partial \xi}{\partial y} - \frac{\partial \psi}{\partial y} \frac{\partial \xi}{\partial x}$, $\Delta \psi = \frac{\partial^2 \psi}{\partial x^2} + \frac{\partial^2 \psi}{\partial y^2}$ - оператор Лапласа (как и в (3.8)).

Осредненные по глубине отклонение потенциальной температуры ($\tilde{\theta}'$) и концентрация примеси (\tilde{c}) определяются из уравнений

$$\begin{aligned} \frac{\partial H\tilde{\theta}}{\partial t} + \frac{\partial \tilde{u}H\tilde{\theta}}{\partial x} + \frac{\partial \tilde{v}H\tilde{\theta}}{\partial y} &= \frac{\partial}{\partial x} HA_\theta^x \frac{\partial \tilde{\theta}}{\partial x} + \frac{\partial}{\partial y} HA_\theta^y \frac{\partial \tilde{\theta}}{\partial y}, \\ \frac{\partial H\tilde{c}}{\partial t} + \frac{\partial \tilde{u}H\tilde{c}}{\partial x} + \frac{\partial \tilde{v}H\tilde{c}}{\partial y} + qH\tilde{c} &= \frac{\partial}{\partial x} HA_c^x \frac{\partial \tilde{c}}{\partial x} + \frac{\partial}{\partial y} HA_c^y \frac{\partial \tilde{c}}{\partial y}. \end{aligned} \quad (3.13)$$

На открытых участках границы принимается условие равенства нулю нормальной производной от касательной составляющей скорости. Там, где поток направлен из рассматриваемой области, функция тока и потенциальный вихрь вычисляются с помощью системы (3.12), а потенциальная температура и

концентрация примеси из уравнений (3.13) при условии равенства нулю их нормальных производных. Там, где поток направлен в рассматриваемую область, потенциальная температура, концентрация примеси и функция тока заданы, а потенциальный вихрь находится из второго уравнения системы (3.12).

Метод решения. При численном решении уравнений (3.12) и (3.13) используются консервативно – диссипативные разностные схемы по пространственным переменным и неявные аппроксимации по времени. Функция тока (ψ) и потенциальный вихрь (ξ) определяются в узлах горизонтальной разностной сетки с целочисленными значениями индексов i и j по осям x и y соответственно, отклонение потенциальной температуры ($\tilde{\theta}'$) – в точках с полуцелыми значениями индексов $i+1/2, j+1/2$, составляющие скорости (\tilde{u}') и (\tilde{v}') в точках $i, j+1/2, i+1/2, j$ соответственно (сетка D по терминологии [4]). Системы алгебраических уравнений, аппроксимирующие исходные дифференциальные уравнения, решаются методом последовательной верхней релаксации.

Результаты численных экспериментов. При проведении численных экспериментов в начальный момент времени задавалось распределение ($\tilde{\theta}'_0$) с

$$\text{меридиональным градиентом в } 10^\circ\text{C} \quad [\tilde{\theta}' = 10^0 \frac{y}{l_y} - \gamma [H_0 - H(x, y)]]$$

$\gamma = 0,936 \cdot 10^{-3}$ град/м, $H_0 = 8500$ м – высота, на которой расположено начало системы координат ($z=0$); l_y – размер области с севера на юг, $l_y = 4,8 \cdot 10^5$ м], задавался фоновый поток $u=u$, $v=v_0$ для горизонтальных составляющих скорости в зависимости от рассматриваемого варианта. Значение интегральной функции тока в начальный момент находилось с использованием соотношений (3.9), а значение потенциального вихря ξ – из соотношения

$$\xi = (A\psi - f)/H = \left(\frac{\partial v}{\partial x} \frac{v}{H} - \frac{\partial u}{\partial y} \frac{u}{H} \right) / H \quad (3.14)$$

т.е. из второго уравнения системы (3.12).

В обсуждаемых ниже численных экспериментах, выполненных с 20-ти километровым разрешением по горизонтальным координатам (49×25 точек по оси x и y соответственно), значения основных параметров следующие:

$$F = 9,75 \cdot 10^{-5} - 2 \cdot 10^{-13} y \text{ (c}^{-1}\text{)}, R = 10^{-6} \text{ c}^{-1} ,$$

$$A_H = 2m^2/2, A_\theta^x = A_c^x = \frac{1}{2} A_H + h |\tilde{u}|/2, \quad (3.15)$$

$$A_\theta^y = A_c^y = \frac{1}{2} A_H + h |\tilde{v}|/2, \quad \tau_x = \tau_y = 0,$$

$$q = 2 \cdot 10^{-6} \text{ c}^{-1}, \quad \tau = 120 \text{ c} .$$

здесь h – шаг по горизонтальным координатам, τ – шаг по времени.

В начальный момент времени в точке с координатами (x_0, y_0) , принадлежащей рассматриваемой области, задавалось наличие концентрации примеси, после чего рассчитывался ее перенос, с помощью решения второго уравнения (3.13) горизонтальным ветром, компоненты которого находились из решения уравнения (3.12) с учетом влияния термической неоднородности $(\tilde{\theta}')$ определяемой из решения первого уравнения (3.13).

Всего было проведено три численных эксперимента по моделированию процесса распространения примеси над территорией Кыргызской Республики с различными метеорологическими условиями. Интегрирование уравнения диффузии примеси во всех экспериментах проводилось на 30 и более суток модельного времени с шагом 1 сутки. Использовался реальный рельеф поверхности, изолинии которого приведены на рисунке 3.1. Нижний левый угол расчетной области соответствует $39'$ с.ш. и $69'$ в.д.

В первом эксперименте в качестве начального состояния был задан западный перенос со скоростями $u_0=1\text{м/сек}$ и $v_0=0,1\text{м/сек}$. Далее рассчитывались термодинамические характеристики по описанной выше модели. Полученное в

результате моделирования поле ветра представлено изолиниями функции тока на рисунке .3.2. Из рисунка видно, что существенное влияние на динамику оказывает топография поверхности. Затем в районе Каджи-Сайского хвостохранилища было задано начальное значение концентрации примеси, и уравнение диффузии примеси было проинтегрировано на 30 суток, т.е. моделировался процесс распространения примеси в результате аварийной ситуации. Изолинии концентрации примеси приведены на рисунке 3.3. Анализ результатов расчета показал, что распространение примеси осуществляется в соответствии с присущей этому району циркуляцией.

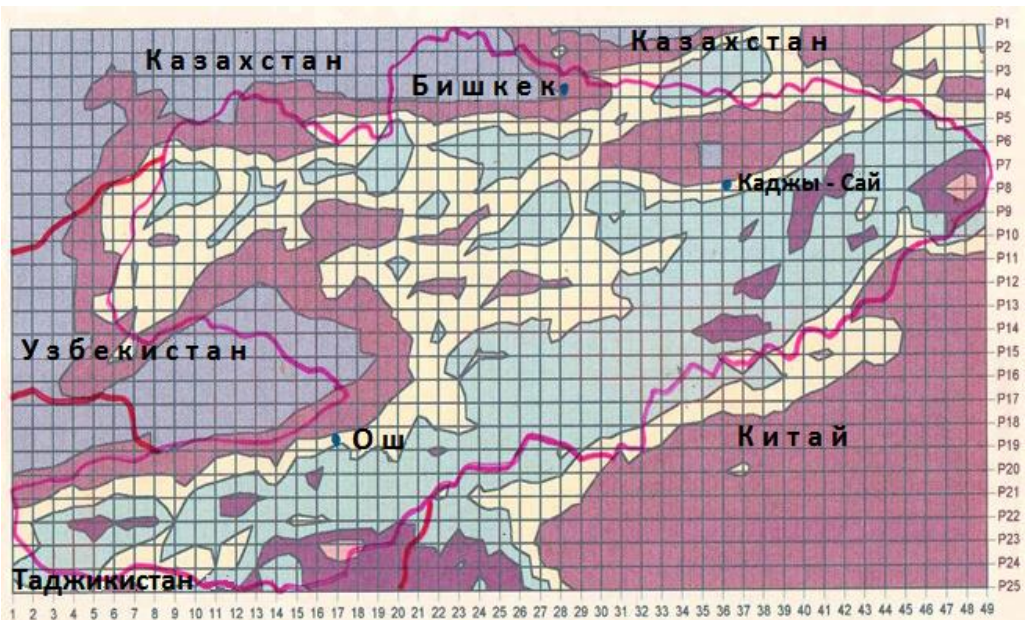


Рисунок.3.1. Изолинии рельефа поверхности

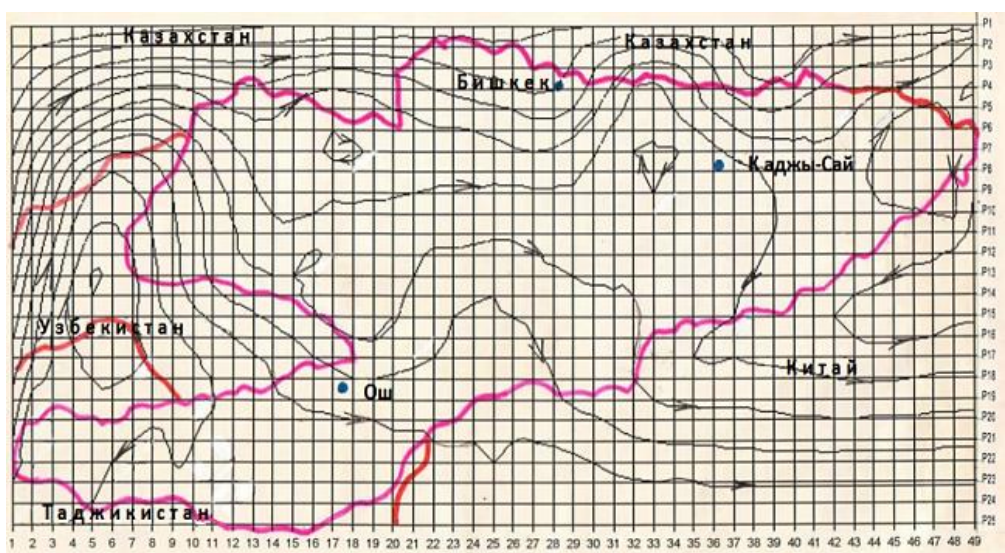


Рисунок.3.2. Изолинии функции тока (эксп.1)

Во втором численном эксперименте задавался западный перенос со скоростями $u_0=10\text{м/сек}$, $v_0=1\text{м/сек}$. В этом случае влияние рельефа поверхности на динамику потока значительно меньше и преобладает заданная циркуляция (Рисунок.3.4). Облако загрязнения имеет более вытянутую форму в восточном направлении (Рисунок.3.5). После 40 суток интегрирования облако загрязняющих веществ выходит за пределы расчетной области через восточную границу.

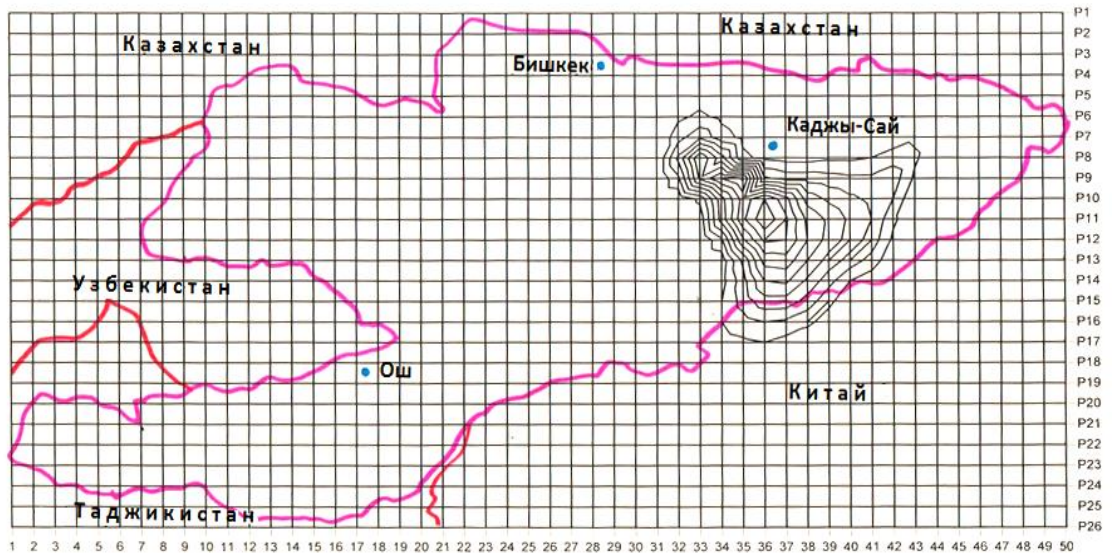


Рисунок.3.3. Изолинии концентрации примеси (эксп.2)

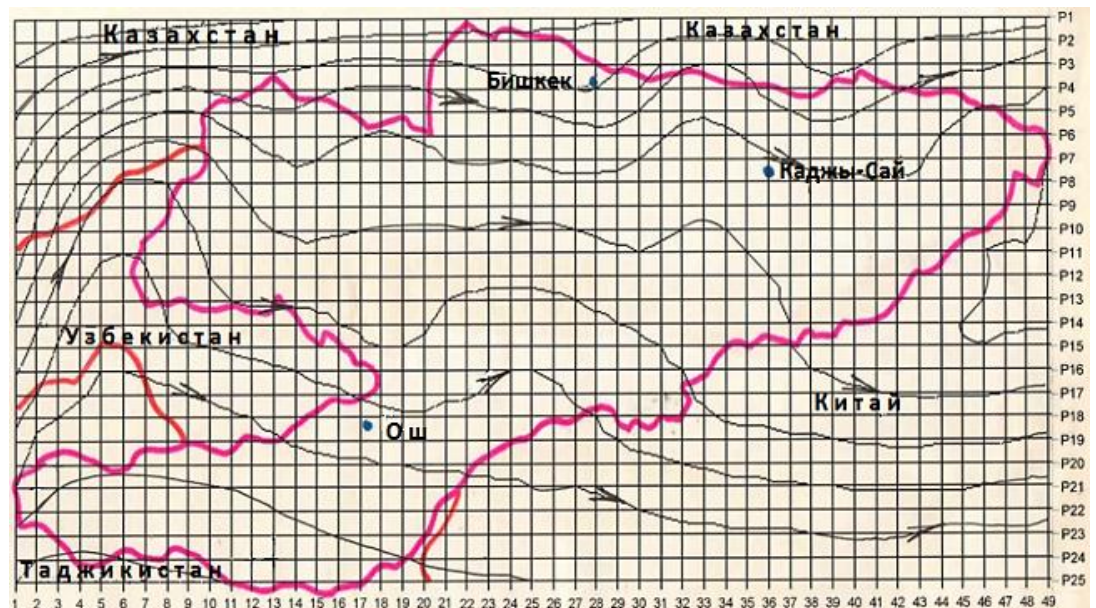


Рисунок.3.4. Изолинии функции тока (эксп.2)

Основные отличия третьего эксперимента от первых двух заключаются в

том, что был задан восточный перенос ($u_0=5$ м/сек, $v_0=0,5$ м/сек), а концентрация примеси задавалась на восточной границе расчетной области. Этот численный эксперимент моделирует процесс распространения радиоактивного облака, перемещающегося с территории Китая. Динамика облака приведена на рисунках 3.6-3.8 через 10, 25 и 35 суток интегрирования.

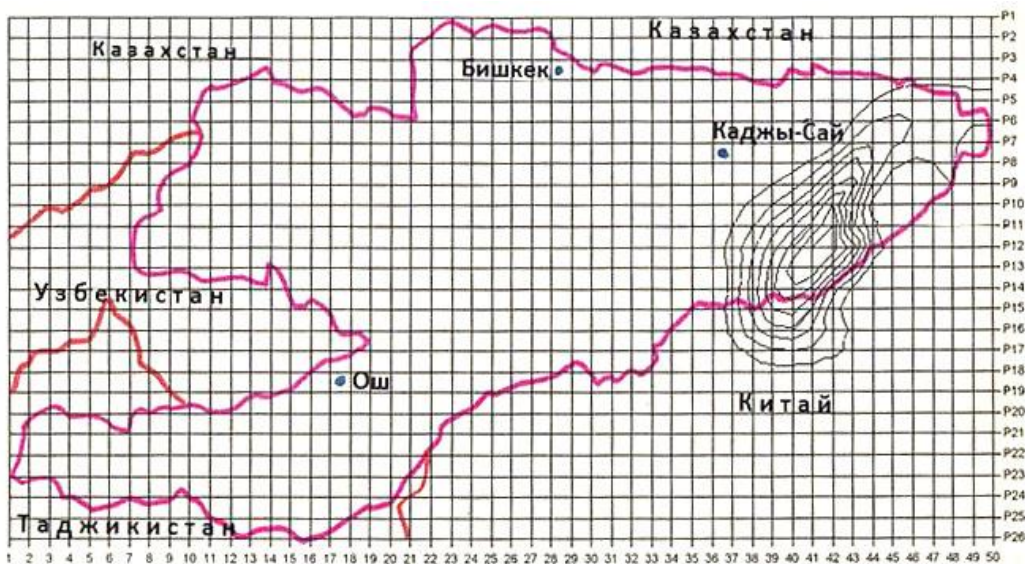


Рисунок.3.5.Изолинии концентрации примеси (эксп.2)

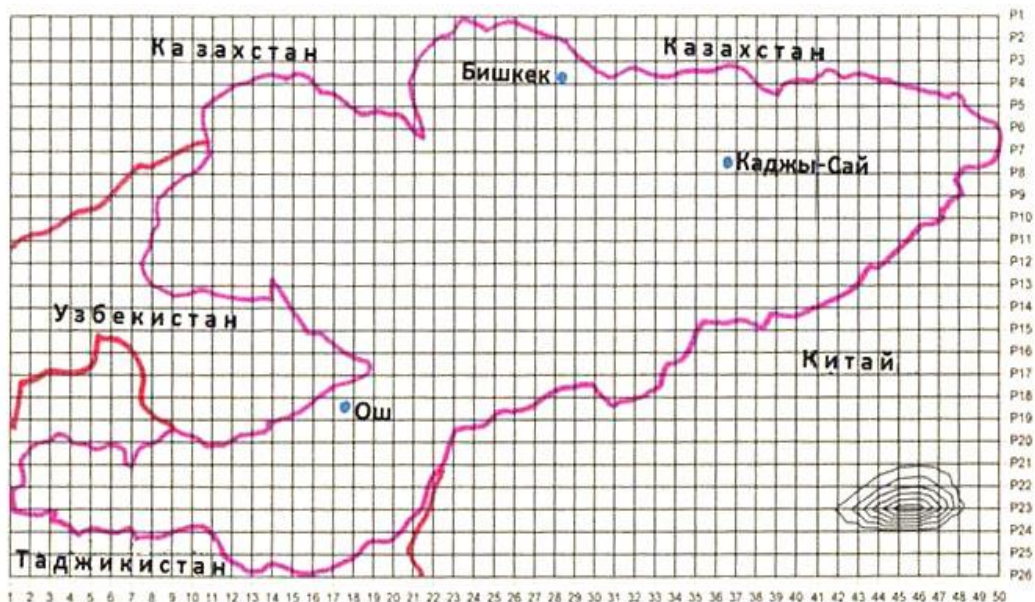


Рисунок.3.6.Изолинии концентрации (эксп.3)

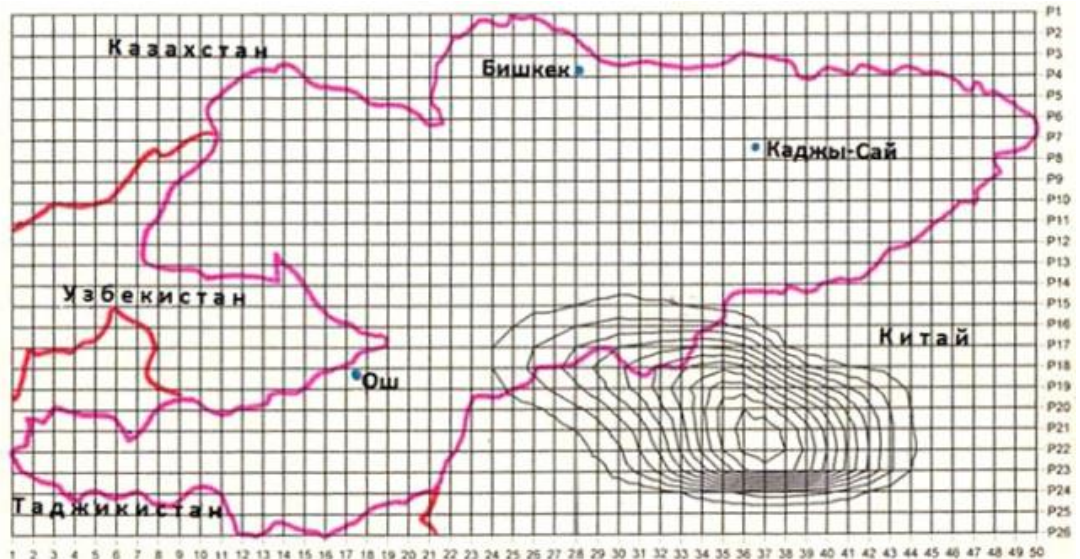


Рисунок.3.7. Изолинии функции тока – 25суток (эксп.3)

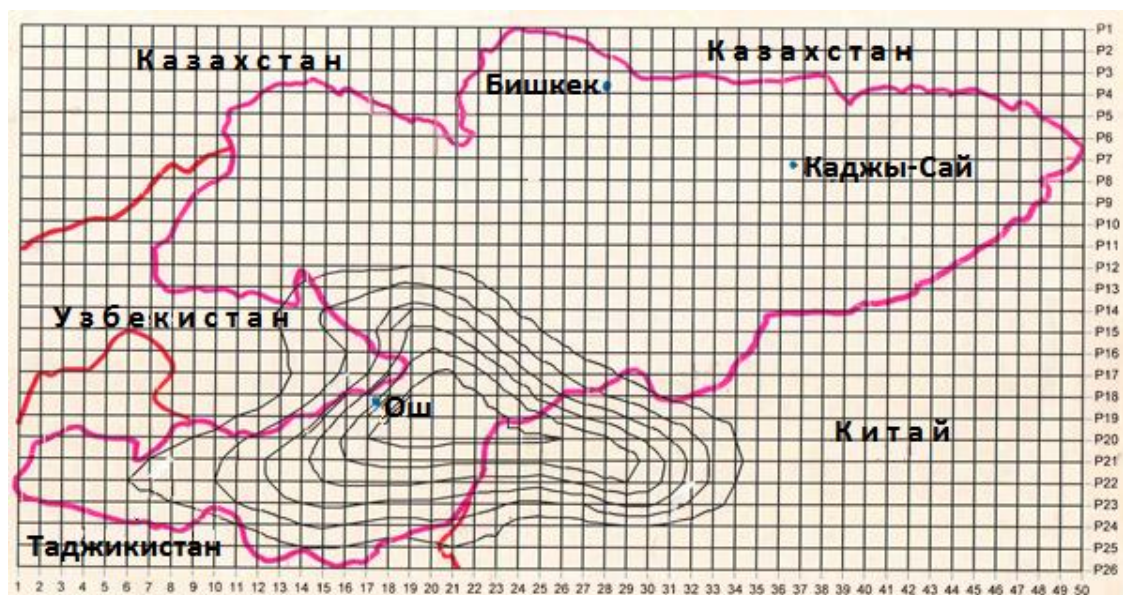


Рисунок.3.8. Изолинии функции тока- 35 суток (эксп.3)

Результаты проведенных численных экспериментов демонстрируют реалистичность моделирования процесса распространения примеси. Выводы. Загрязнение атмосферы примесями различного происхождения вызывает научный интерес, прежде всего тем, что большая часть атмосферных примесей оказывает вредное влияние как на животный и растительный мир, так и на здоровье человека.

Концентрация примесей, в том числе и радиоактивных, в атмосфере и на земной поверхности в сильной степени зависит от метеорологических факторов,

что подтверждается и выполненными численными экспериментами даже в рамках математической модели.

Среди упомянутых факторов важное значение имеют скорость и направление ветра, их изменчивость с высотой, термическая устойчивость атмосферы, облака, туманы и осадки, рельеф местности и т. п. Под влиянием этих факторов концентрация примесей в атмосфере изменяется в широких пределах. В связи с этим представляется важным разработка трехмерных численных моделей переноса и трансформации примесей для оценки выбора мест для строительства промышленных предприятий, жилищ и т.д.

3.2. Моделирование процесса тепловлагопереноса в неоднородной пористой среде с учетом разрыва пористости.

Основные уравнения и допущения. Для простоты построение математической модели, описывающей нестационарную фильтрацию несжимаемой жидкости через недеформируемую пористую среду, начнем с течения, в котором параметры потока зависят от времени t и лишь от одной пространственной переменной z декартовой системы координат xuz . Плоскость $z=0$

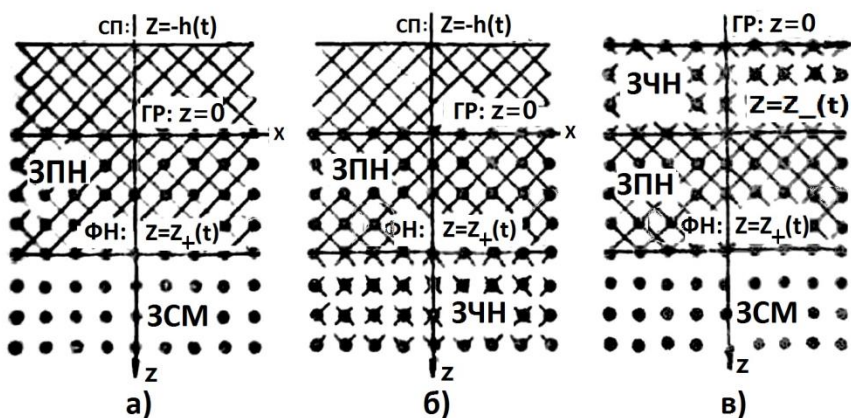


Рисунок.3.9. Возможные схемы одномерной фильтрации жидкости

Совместим с границей пористой среды, занимавшей нижнее полупространство ($z>0$), а ось z направим сверху вниз по вектору силы тяготения, как показано на рисунке.3.9 (ось z перпендикулярна плоскости рисунка). В случае рисунка.3.9,а над границей раздела (ГР) $z=0$ находится фильтрующуюся в пористый материал (ПМ) слой жидкости плотности ρ и толщины $h(t)$, по ПМ распространяется фронт намокания {ФН} $z=z_+(t)$, под ним располагается зона сухого материала (ЗСМ), в которой жидкость отсутствует, а над - зона полного намокания (ЗПН), все поры которой предполагаются заполненными жидкостью. Здесь и далее ПМ покрывается кружочками, а жидкость, занимавшая все свободное от "скелета" ПМ пространство (например, над ГР и в ЗПН), - двойной косой штриховкой. Наряду с полным намоканием естественно (см., в частности, /1-3/) допустить зоны частичного намокания (ЗЧН). В ЗЧН фрагменты жидкости, располагавшиеся на смачиваемых поверхностях "скелета" ПМ, в тупиковых порах, тонких капиллярах и т.п., не образуют связного целого. По этой причине ЗПН будем покрывать перечеркнутыми кружочками ("частичной" штриховкой), как сделано на рисунке 3.9, б и в. На рисунке 3.9,б ФН движется по ЗЧН, а на рисунке 3.9,в передний ФН распространяется по ЗСМ, а задний фронт $z=z(t)$ - разделяет ЗПН (снизу) и оставшуюся после его прохождения ЗЧН.

В согласии с возможностью полного и частичного намокания ПМ кроме обычного коэффициента пористости $m < 1$, дающего относительный объём пространства не занятого "скелетом", введем коэффициент n , такой, что $(1-n)m$ - относительный объём, занятый жидкостью в ЗЧН. В несмачивающемся материале без тупиковых пор $n=1$. Коэффициент n привлекается не только для описания ЗЧН. Вслед за /1-3/ будем считать, что и в ЗПН жидкость можно разделить на неподвижную "связанную" с ПМ и несвязанную с последним и занимающими части полного объёма, равные соответственно $(1-n)m$ в и n а, с тем же n , как и в ЗЧН. При определении m , как обычно [24,25,46,53,66], не учитываются "глухие" поры, недоступные для жидкости, хотя сама такая

недоступность нередко является лишь вопросом времени (правда, для быстрых нестационарных процессов с малыми временами существования ЗПН этот момент не столь актуален даже при большом объеме глухих пор). Существенно более условным представляется разбиение жидкости в ПМ на связанную (ЖС) и несвязанную (ЖН), особенно если учесть, что степень подобной связности, т.е величина $1-n$ зависит, например, от скорости жидкости ($1-n$ убывает с ее ростом). Несмотря на сделанные оговорки, которые можно учесть при дальнейшем развитии модели, примем, что m и n заданы и постоянны, причем не зависят даже от z . Тогда уравнение неразрывности ЖН, дифференциальная форма которого в общем случае непостоянных m и n произвольного числа пространственных переменных имеет вид:

$$\frac{\partial(\rho nm)}{\partial t} + \nabla(\rho nm \vec{u}) = 0 \quad (3.16.)$$

с вектором так называемой "физической" скорости \vec{u} → несвязанной жидкости и с ее истинной плотностью ρ (подчеркнем отличие ρ от так называемой "размазанной" по всему объему плотности, нередко используемой в много жидкостной механике сплошных сред /6-8/) сводится к:

$$\frac{\partial w}{\partial z} = 0 \quad (3.17)$$

В (3.16) - \underline{u} скорость жидкости с проекциями u, v и w на оси x, y и z соответственно. При переходе от (3.16) к (3.17) помимо сказанного ранее учтено, что u и v - функции только t и z .

Уравнения движения свободной жидкости напишем для силы тяжести, направленной согласно сделанному выше выбору по оси z и характеризуемой ускорением свободного падения g . Тогда при наличии силы \underline{f} , действующей на жидкость со стороны ПМ, векторное уравнение движения примет вид

$$\frac{\partial \vec{u}}{\partial t} + (\vec{u} \nabla) \vec{u} = -\left(\frac{1}{\rho}\right) \nabla \rho + \nabla(gz) + mn \vec{f} \quad (3.18)$$

Здесь ρ - давление жидкости, которое будем отсчитывать от давления на ее

поверхности (при $z = -h(t)$ на рисунке 3.9,а и б или при $z = z_-(t)$ на рисунке 3.9,в), где, таким образом, $\rho = 0$, а f – известная функция u и параметров обеих сред. Благодаря введению множителя mn предпоследняя имеет смысл силы, действующей на единицу массы ЖН, ибо на всю такую жидкость, находящуюся в единице объема, действует сила, равная mnf . При малых и умеренных скоростях для f хорошо работает "закон Дарси" /1-5, 9/, согласно которому

$$\vec{f} = -\frac{\vec{gu}}{k} \quad (3.19)$$

а константа k с размерностью скорости ("коэффициент фильтрации") определяется только физическими свойствами жидкости и ПМ. Появление в (1.4) g обусловлено устоявшейся традицией.

При приведении выписанных уравнений к безразмерному виду в качестве масштаба длины L удобно взять h_0 – начальное значение высоты слоя над ГР, а если $h_0=0$, как в случае Рисунок.1, в (если изображенная на нем ситуация отвечает $t=0$), какую-либо другую величину той же размерности, например, $L = z_{+0.}-z_{-0}$. За масштаб скорости возьмем \sqrt{gL} , времени $-\sqrt{L/g}$, и давления $-\rho g L$. После такого обезразмеривания уравнения (3.16) и (3.17) останутся без изменений (левую часть (3.16) можно разделить на ρ), а (3.18) с f из (3.19) станет:

$$\frac{\partial \vec{u}}{\partial t} + (\vec{u} \nabla) \vec{u} = -\nabla \varphi - \left(\frac{1}{\wp} \right) \vec{u} \quad (\wp = p - z) \quad (3.20)$$

с безразмерной константой $\wp = k/mn\sqrt{gL}$. Для типичных пористых материалов $\wp \ll 1$. Если ρ и u – функции только z и t , то (3.2.5) сводится к следующей системе трех скалярных уравнений:

$$\frac{\partial u}{\partial t} + w \frac{\partial u}{\partial z} = -\frac{u}{x}, \quad \frac{\partial v}{\partial t} + w \frac{\partial v}{\partial z} = -\frac{v}{\wp} \quad (3.21)$$

$$\frac{\partial w}{\partial t} = -\frac{\partial \varphi}{\partial z} - \frac{w}{\varphi} \quad (3.22)$$

при написании последнего из которых учтено (3.17). Течение жидкости вне ПМ (при $z < 0$) описывается теми же уравнениями с $1/\kappa = 0$. Наконец, во многих задачах, например, при моделировании орошения можно считать, что ρ в ЭСМ и в ЗЧН не отличается от давления на поверхности жидкости, т.е. в силу выбора начала его отсчета равно нулю. В таких случаях:

$$p(h(t)) = 0, p(z_{\pm}(t)) = 0, \varphi(-g(t)) = h, \varphi(z_{\pm}(t)) = -z_{\pm} \quad (3.22)$$

при написании этих условий, с одной стороны не учтены капиллярные эффекты, которые в достаточно медленных процессах могут играть существенную роль. С другой стороны, здесь не учитывается движение газа в свободном пространстве (при $z < -h$) и в ПМ. Кроме того, предполагается наличие связи между областями над и под ЗПН давления в которых считаются совпадающими.

Поверхности разрыва и соотношения на них. Дифференциальные уравнения п.1 не выполняются на поверхностях разрыва, которыми в случаях, представленных на рисунке 3.9 наряду со свободной поверхностью (СП) $z = -h$, являются ГР: $z = 0$ и фронты $z = z \pm (t)$, ограничивающие снизу и сверху ЗПН. Часть условий на перечисленных разрывах состоит в непрерывности ρ на СП и на фронтах $z = z \pm (t)$ и в вытекающих из этого равенствах для Y . как это отражено в (3.22). Выписанных соотношений, однако, недостаточно. Так. для СП и заднего фронта ЗПН имеют место очевидные равенства

$$\frac{dh}{dt} = h' = -w(-h)a - w_h, \frac{dz}{dt} = z' = w(z_-) = w_- \quad (3.23)$$

которые, помимо прочего, поясняют ряд используемых далее обозначений (штрих - для производных по t для функций, зависящих только от времени, , w_h и w_- т. п.). Для переднего фронта ЗПН аналогичное равенство являющегося следствием ускорения жидкости при ее втекании в ПМ.

Прежде чем, опираясь на выписанные выше уравнения и условия, перейти

к более детальному рассмотрению типичных одномерных задач, остановимся еще раз на роли газа, не учитываемого в данной модели. Пренебрежение его движением вполне оправдано при малости, во-первых, чисел Маха, равных отношению скоростей СП, ФН и верхней границы ЗПН: $z-z_{\infty}(t)$ к скорости звука в газе и, во-вторых, отношения плотностей газа и жидкости. Нарушение любого из этих условий (например, при малости перечисленных чисел Маха, сравнимые плотности газа и жидкости, что возможно в некоторых технологических установках) делает необходимым совместное рассмотрение фильтрации обеих сред. При этом помимо или вместо уже описанных разрывов могут появиться новые. Так, если взаимодействующие среды не растворяются друг в друге, то возможно формирование "скачков насыщенности" Бакли-Леверетта или их аналогов в более сложных ситуациях (см. /5,11-14/). Другая группа эффектов, обусловленных наличием газа, связана с медленным прониканием жидкости в мелкие поры и капилляры, которое, в свою очередь, сопровождается всплытием газа в жидкости. Если в ПМ много таких пор и капилляров, то применительно к существенно нестационарным задачам может встать вопрос о правомерности применения значений m , полученных в статических измерениях. Здесь правильнее использовать меньшие значения m , найденные из специальных "динамических" экспериментов, поставленных с привлечением тех или иных нестационарных решений. Более того, в подобных случаях m и n из-за отмеченных эффектов могут стать функциями времени, определение которых потребует развития соответствующего "релаксационного" (в смысле физических процессов заполнения капилляров и т.п.) подхода

РЕШЕНИЕ ЗАДАЧИ ОДНОМЕРНОЙ НЕСТАЦИОНАРНОЙ ФИЛЬТРАЦИИ

Применим выписанные выше уравнения и условия к нескольким типичным задачам нестационарной одномерной фильтрации. В качестве начальных условия при $t = 0$ в задаче А (рисунок 3.9,а) и Б (рисунок 3.9,б)

зададим покоящийся над ГР слоя жидкости толщины $h(0)s h_0=1$. Пусть, кроме того, в тот же момент $z_+(0)az_{+0} = 0$, и в задаче А(Б) под ГР располагается ЗСМ (ЗЧН). При $t>0$ начнется процесс фильтрации, причем согласно (3.4)

$$z'_+ = n^j w_+ \quad (3.24)$$

с $j = j_a = 1$ в первой задаче и $j = j_\delta = 0$ во второй.

В силу (3.2.1) и w_- , т. е. z -компоненты скорости фильтрующейся жидкости под и над ГР, - функции только t . Поэтому обозначив $\partial w / \partial t$ через w' и проинтегрировав уравнение (3.22) от $z=0$, где согласно определению из (3.20) $\aleph(0, t) = p^+(t) = p^+$, до ФН, где $z=z_+$, а в силу (3.8) $\aleph(z_+) = -z_+$, найдем, что в обеих задачах:

$$\left(\frac{w_+}{\delta} + \varepsilon w'_+ - 1 \right) z_+ = p^+ \quad (3.25)$$

Здесь, по аналогии с δ из (3.6) множитель ξ введен для того, чтобы была видна роль обычно пренебрегаемого инерционного слагаемого уравнения движения (3.7): при $\xi=1$ оно учитывается, а при $\xi=0$ - нет.

Система уравнений (3.24) и (3.25) незамкнута, поскольку она содержит еще неизвестное давление p^+ . Для его определения сначала, как и при получении (3.2.11), проинтегрируем уравнение движения (3.22) с $1/\aleph=0$ через слой жидкости над ГР, учитя, что $w^- = w_-$ функция только t , равная согласно (3.5) $m n w^+ = m n w_+$, и что в силу (3.22) $\aleph(h)=h$. В результате получим:

$$p^- = (1 - \varepsilon w'_+) h = (1 - \varepsilon m n w'_+) h$$

откуда в соответствии с (2.6) найдем требуемое выражение для p^+ . Вот оно

$$p^+ = (1 - \varepsilon m n w'_+) h + \frac{\delta(m^2 n^2 - 1)(w'_+)^2}{2} \quad (3.26)$$

При написании данной формулы, как и ранее, учтена тождественность w^+ и w_+ , которая очевидна, так как w при $z>0$ (и аналогично при $z<0$) - функция только t . Если в (3.3) положить $\xi = \delta = 0$, то это даст равенство $p^+ = h$, чаще всего употребляемое в классической теории фильтрации (см., например, /9/). После подстановки p^+ из (3.3) в (3.2) придем к уравнению:

$$\varepsilon(mnh + z_+)w'_+ = h + z_+ - \left(\frac{z_+}{\lambda}\right) - \left(\frac{\delta(m^2n^2 - 1)}{2}\right)w_+. \quad (3.27)$$

Наконец, для определения входящей в (3.27) функции $h=h(t)$ имеются очевидные уравнение и начальное условие

$$h' = -w_- = mnw_+, h(0) = h_0 = 1 \quad (3.28)$$

Интегрирование уравнений (3.24), (3.27) и (3.28) требует задания еще одного начального условия для $w_+(0)$. В задачах А и Б оно имеет вид:

$$w_{+0} = w_+(0) = \frac{w_-(0)}{(mn)} = 0 \quad (3.29)$$

и замыкает формулировку задачи Коши для получившейся системы трех обыкновенных дифференциальных уравнений первого порядка. Ее решение определяет развитие нестационарного процесса, фильтрации для всех $t > 0$. С другой стороны, для выяснения характера решения при малых t можно поступить следующим образом. Будем искать w в виде:

$$w'_+ = \alpha + \beta t^\gamma + \dots \quad (3.30)$$

с заранее неизвестными константами α , β и γ , причем в соответствии с (3.29) $\gamma > -1$. Проинтегрировав (3.30) и (3.28) и учитя начальные условия обеих задач: $w_{+0} = z_{+0} = 0$ получим:

$$\begin{aligned} w'_+ &= \alpha t + \frac{\beta t^{1+\gamma}}{(1+\gamma)} + \dots \\ z_+ &= \frac{n^j \left(\frac{\alpha}{2}\right) t^2 + n^j \beta t^{2+\gamma}}{[(1+\gamma)(2+\gamma)]} + \dots \\ h &= \frac{\frac{1-\alpha m n t^2}{2} - \beta m n t^2 + \delta}{[(1+\gamma)(2+\gamma)]} + \dots \end{aligned} \quad (3.31)$$

Подстановка этих разложения в (3.30) в уравнение (3.27) дает для α , β и γ следующие значения:

$$\alpha = \frac{1}{(\varepsilon mn)}, \beta = (mn-1) \frac{[\varepsilon n^j + \delta(1+mn)]}{[2(\varepsilon mn)^3]}, \gamma = 2 \quad (3.32)$$

Поскольку для $\xi = 0$ константы α и β обращаются в бесконечность, то при пренебрежении инерционными членами представление (3.30) оказывается несправедливым. Более того, при $\xi = 0$ из системы дифференциальных уравнения выпадает ускорение w_+ и следовательно не может быть удовлетворено начальное условие (3.29). Начальная скорость w_{+0} в безынерционном приближении получается при $\xi = 0$ из (3.27) и оказывается равной:

$$w_{+0} = \sqrt{\frac{2}{\sqrt{\delta(1-m^2n^2)}}} = W_0 \quad (3.33)$$

Вспомним, что за масштаб скорости был взят \sqrt{gh} , где h_0 - размерная начальная толщина слоя жидкости. Поэтому, например для $h_0 = 0.1$ м и $g = 9.8$ м/сек (3.33) дает размерную начальную скорость несвязанной жидкости в ПМ порядка $1 \div 2$ м/сек. Таким образом, хотя учет пропорционального w_{+0} скачка давления на ГР и обеспечивает конечность скорости w_{+0} , в типичных ситуациях она все же оказывается значительной для "линейной" (в смысле справедливости закона Дарси) теории. Если же наряду с инерционными слагаемыми ($\xi = 0$) пренебречь и этим эффектом, т.е положить еще и $\delta = 0$, как обычно делается в классической теории фильтрации, то это даст $w_{+0} = \infty$. Действительно, (3.4) в таком случае сводится к уравнению:

$$x' = 2xn^j(h + \sqrt{x}) \quad (3.34)$$

котором $x = z_+^2$ отсюда и из (3.1) найден, что

$$w_+ = \frac{\delta(h + \sqrt{x})}{z_+}$$

и поэтому при $t = 0$, когда $z_+ = 0$ и $x=0$, скорость w_+ становится бесконечной.

Итак, в согласии с проведенным анализом, учет инерционности жидкости ($\xi = 0$) обеспечивает, как это следует и из постановки задач А и Б, выполнение условия нулевой начальной скорости втекания ЖН в ПМ, а вместе с этим и скорости ФН: $D_0 = n w_{+0}$. Важно, что условие удовлетворяется вне зависимости от учета или пренебрежения скачком p на ГР. Если $\xi = 0$ при $\delta = 1$, т.е. в случае учета только второго эффекта (скачка p при $z=0$), то w_{+0} оказывается конечной, но отличной от нуля и к тому же в типичных ситуациях достаточно большой. Наконец, при пренебрежении обоими обсуждаемыми эффектами ($\xi = \delta = 0$) $w_{+0} = \infty$. По мере удаления ФН: $z=z_+(t)$ от ГР отличие результатов, получающихся при ξ и δ , Равных нулю или единице, уменьшается, что является следствием малости безразмерного коэффициента фильтрации \aleph . В этой связи напомним, что $\aleph = k(mn\sqrt{gL})$ с $L=h_0$, причем в обычных ПМ $k \ll 0.01$ м/сек. При $\aleph \ll 1$ в (3.27) при "старшей производной" (w'_+) появляется малый параметр, пропорциональный \aleph . В результате достаточно больших t (если, разумеется еще раньше не произойдет переход к случаю, изображеному на рисунке 3.9,в) решение системы (3.24) (3.27) и (3.29) практически перестает отличаться от своего "равновесного" аналога, удовлетворяющего уравнениям (3.24), (3.34) и (3.28).

Задачи А и Б легко обобщаются на любую конечную скорость столба жидкости, который, разгоняясь при $t < 0$, в момент $t=0$ соударяется с ГР: $z=0$. Если величина $w_{+0} = w_{-0}/(mn)$ в $W/(mn)$ при этом мала по сравнению со скоростью звука в жидкости a_x , то решение таких задач проводится практически так же, как и ранее, с заменой (3.29) на:

$$w_{+0} = \frac{W}{(mn)} \quad (3.35)$$

а в случае необходимости - линейного закона Дарси (3.19) его нелинейными аналогами Правда, и теперь первые члены разложений для w_+ , z_+ ... по t , заменяющие полученные для $w_{+0}=0$ отрезки рядов (3.31) с

коэффициентами (3.32) оказываются не зависящими от вида закона взаимодействия ЖН и ПИ. Действительно, при $w < \alpha_1 mn$ из (3.26) и (3.35) при $\rho_0^+ = 0$ и $h_0=0$ имеем:

$$\alpha_1 = w_{+0} = \frac{1}{(\varepsilon mn)} - \frac{\delta(1-m^2n^2)W^2}{[2\varepsilon(mn)^3]} = \frac{\alpha - \delta(1-m^2n^2)w^2}{[2\varepsilon(mn)^3]} \quad (3.35)$$

С α из (3.32). Отсюда, из (3.35) и (3.24) найдем, что теперь разложен ия (3.31) заменяться на:

$$w_+ = W + \alpha_1 t + \dots z_+ = n^j W t + \frac{n^j \alpha_1 t^2}{2} + \dots$$

$$h = 1 - W m n t - \frac{\alpha_1 m n t^2}{2} + \dots$$

Согласно (3.36) $m n \alpha_1$. т.е. начальное ускорение жидкости над ГР, при $W > 0$ всегда меньше единицы (или g - для его размерной величины). Мало того, если:

$$W^2 > 2(mn)^2 - [\delta(1 - m^2 n^2)] = (mnW_0)^2 \quad (3.37)$$

с W_0 из (3.10), то начальное ускорение жидкости окажется отрицательным. Подчеркнем разницу между случаями $W=0$ и $W>0$. При $W=0$ мгновенное "снятие" перепада давления на слое жидкости ведет, как это и следовало ожидать в рамках несжимаемой жидкости, к мгновенному ускорению всего этого слоя до ускорения свободного падения (в безразмерных переменных до $w_{-0}=1$). Поскольку, однако, под ним оказывается ПМ, а не свободное пространство, то в тот же миг начинается уменьшение начального ускорения. В разложении (3.31) для w_+ этому эффекту отвечает слагаемое, пропорциональное βt^3 с $\beta<0$ из (3.32). Если же жидкость соударяется с ПМ с начальной скоростью $w_{-0} = W > 0$, имея при $t<0$ ускорение, равное 1 (или g - для размерной его величины), то ее ускорение уменьшается мгновенно на конечном величину, а при $W > mnW_0$ даже становится отрицательным. Последнее неудивительно, ибо при соударении слоя несжимаемой жидкости с непроницаемым основанием сразу наступает покой, и,

следовательно, в наших обозначениях $w_- = mnw$. Так как при $mn \rightarrow 0$ правая часть (3.37) также стремится к нулю, то тот же результат с учетом (3.36) и равенства получается и в рассматриваемой модели.

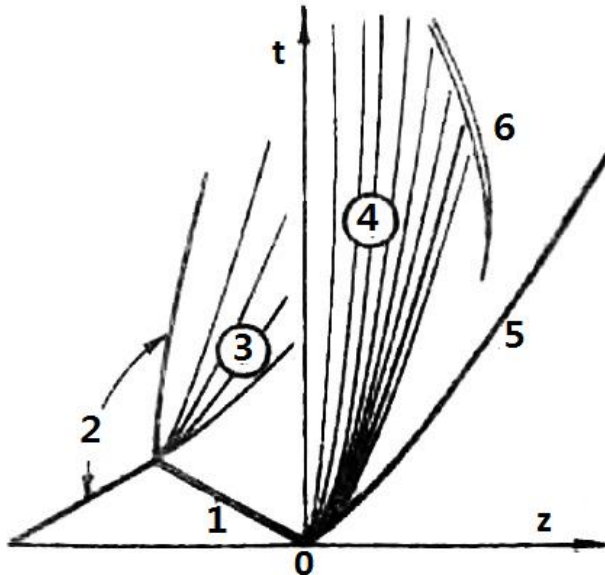


Рисунок.3.10. zt – диаграмма втекания жидкости в ПМ с учетом сжимаемости

В связи с рассмотренным выше предельным переходом следует указать, однако, на ограниченность приближения несжимаемой жидкости. Действительно, из равенства (3.16) видно, что с ростом w , т. е. скорости соударения, и с уменьшением произведения mn рано или поздно нарушается условие:

$$W_+ = \alpha_{\text{ж}}$$

как результат становятся существенными эффекты сжимаемости среды. Не вникая в детали возникающих при этом проблем, остановимся лишь на тех из них, которые связаны с так называемым "запиранием" чаю отвечает zt -диаграмма Рисунок.3.10, где схематически изображены ГР (ось t) и траектории с СП, ФН, ударных волн, а также c^+ - и c^- -характеристик На запертых режимах, которые, грубо говоря, реализуются при $W > mnw_{\text{ж}}$ при $z=0$ выполняется условие откуда, в силу (3.1) $w_- = mnw_{\text{ж}} < W$. Так как $w_{-0} = w$, то из-за последнего неравенства от

ГР распространяется влево ударная волна (двойная линия 1 на рисунке 3.10). Ударная волна отражается от СП (жирная сплошная кривая 2 с изломом) в виде центрированной волны разрежения из c^+ - характеристик (тонкие кривые 3). В начальный момент $p = p(a_*)$ в общем случае оказывается положительным, из-за чего из начала координат выходит пучок волн разрежения из c^- - характеристик (тонкие кривые 4, включающие ось t левую граничную c^- -характеристику этого пучка). Другие c^- - характеристики, идущие от ФН (сплошной кривой 5), со временем формирует ударную волну (двойная кривая 6), которая распространяется против потока. Постепенно она "ликвидирует" пучок волн разрежения 4. В результате этого и прихода к ГР волн разрежения 3 в конце концов исчезают условия, необходимые для поддержания режима запирания, скорости потока уменьшаются и эффекты сжимаемости жидкости становятся несущественными. Однако еще раньше в областях интенсивного разрежения (например при отражении пучка 3 от ГР) давление может упасть ниже предела, при котором жидкость обладает свойствами сплошной среды. В таких условиях происходит "откол"- разрушение жидкости на отдельные агрегаты (капли и т.п.)

.

Вернемся к исходной формулировке задач А и Б. Итак, в ПИ $w=w_+(t)$, а над ГР $w=w_-(t)=mnw_+(t)$, где $w_+(t)$ определяется из решения уравнений (3.24), (3.28), и (3.34) или их упрощенных вариантов при соответствующих начальных условиях. После или одновременно с $w_+(t)$ оставшиеся компоненты вектора скорости при $z>0$ находятся интегрированием уравнений (3.21) при граничных условиях /10/

$$u(0,t) = u_o(t), v(0,t) = v_o(t) \quad (3.38)$$

а функции $u_0(t)$ и $v_0(t)$ определяются из тех же уравнений с $1/\lambda=0$ и начальных распределений:

$$u(z,0) = U(z), v(z,0) = V(z); z \in [-1,0]$$

При этом можно воспользоваться тем, что согласно упомянутым

уравнениям и и v над ГР сохраняются в частице и поэтому:

$$u_o(t) = U[\zeta(t)], v_o(t) = V[\zeta(t)], \zeta(t) = -mn \int_0^t W_+(\tau) d\tau$$

Смысл данного решения поясняют левые половинки zt -диаграмм на Рисунок.3.9,а и в, где показаны траектории частиц (C° -характеристик):

$$\frac{\partial z}{\partial t} = W_-(t) = mnw_+(t)$$

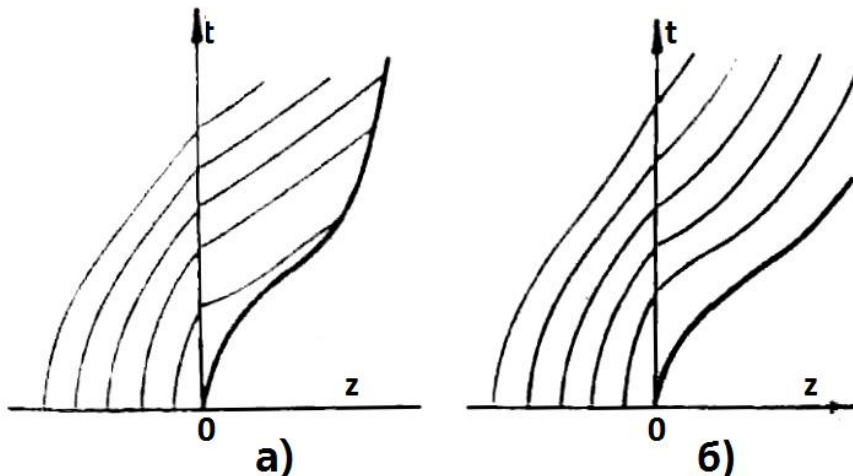


Рисунок.3.11. Сетки траекторий частиц (C° -характеристик),

Их интегрирование “в обратном направлении” от $\tau = t$ до $\tau = 0$ и определяет начальные координаты частиц над ГР. Уравнения (3.21) внутри ПМ вдоль c^0 -характеристик: $dz/dt=w_+(t)$, продолжающих на рисунке 3.11. c^0 -характеристики жидкости над ГР (при $z < 0$), также имеют вид обыкновенных дифференциальных уравнений:

$$\frac{\partial u}{\partial t} = -\frac{u}{\varphi}, \frac{\partial v}{\partial t} = -\frac{v}{\varphi},$$

Интегрируя их при начальных условиях (3.38), найдем, что

$$\begin{aligned} u(t, t_o) &= u_0(t_o) \exp \left[-\frac{(t - t_o)}{\varphi} \right] \\ v(t, t_o) &= v_0(t_o) \exp \left[-\frac{(t - t_o)}{\varphi} \right] \end{aligned} \quad (3.39)$$

где t_0 - момент пересечения частицей ГР. На Рисунок 3.9,а частицы ФН в согласии с (3.10) догоняют ФН. На рисунке 3.11 ФН совпадает с одной из траекторий. Как уже упоминалось, обычно $\varphi \ll 1$. В таких условиях при u_0 и v_0 , не равных нулю, и и v отличны от нуля в течении короткого интервала времени пребывания частицы в Π

И. Пусть и (t) порядка или меньше единицы, что типично для многих задач фильтрации. Тогда, поскольку вдоль c^0 - характеристики $dt = dz/w_+(t)$, то можно пренебречь x - и y - компонентами скорости везде, кроме слоя толщины $\varphi w_+(t)$.

Перейдем теперь еще к одной задаче - задаче В, постановку которой поясняет рисунок 3.9,в. .если на нем при $t=0$ совместить верхнюю границу ЗПН с ГР: $z=0$ и, кроме того, принять, что $z_{+e} = 1$. С ростом t в этой задаче между ГР: $z=0$ и только что упомянутой границей $z=z_-(t)$ из-за движения ЖН вниз возникает ЗЧН. Интегрируя при $z_-(t) \leq z \leq z_+(t)$ уравнение (3.7) с $w = w_+(t)$ и $dw/dt = dw/dt = w'_+(t)$, найдем, что:

$$\varphi(z, t) = f(t) - \left(\frac{W_+}{\varphi} + \varepsilon w'_+ \right) z$$

Определив затем $f(t)$ из условия (1.6) при $z = z_+$ где $p=0$ получим:

$$\rho = (\varphi + z) = \left(\frac{W_+}{\varphi} + \varepsilon w'_+ - 1 \right) (z_+ - z)$$

а это, в свою очередь для $z = z_-$ где также $p=0$, дает

$$\begin{aligned} \frac{\partial h}{\partial t} + \frac{\partial(hu)}{\partial x} + q = 0, & (q = mnw_+(t)) \\ \frac{\partial(hu)}{\partial t} + \frac{\partial(hu)^2}{\partial x} + \frac{\partial\left(\frac{h^2}{2}\right)}{\partial x} + qu = 0 \end{aligned} \quad (3.40)$$

Система (3.40) записана в форме "законов сохранения" и потому допускает "сквозной счет", при котором поверхности разрыва і "гидравлические прыжки"), возможные в теории мелкой воды, получаются как области непрерывного, но резкого изменения h и u . Заметим, что сказанная выше оговорка "почти всюду" относится как раз к гидравлическим прыжкам, где изменение h и u происходит на нулевой длине. На самом деле, ссылаются интегральные законы сохранения, имеющие вид:

$$\begin{aligned} \phi_{\Gamma}(-hdx + hudt) \iint_{\delta} qdxdt = 0 \\ \phi_{\Gamma}\left[-hdx + \left(\frac{h^2}{2}\right)dt\right] \iint_{\delta} qudxdt = 0 \end{aligned} \quad (3.41)$$

где δ - произвольная площадка в плоскости xt , а Γ - ее граница. В подобластях непрерывности параметров (но не их производных!) из (3.27) следуют дифференциальные уравнения (4.1), а на гидравлических прыжках, движущихся со скоростью D :

$$[h](u - D) = 0, [2uh](u - D) + h^2 = 0 \quad (3.42)$$

Здесь (φ - разность значений φ на разрыве. В согласии со сказанным ранее, при интегрировании (3.41) по схемам сквозного счета (например, по /17, 18/) параметры с разных сторон от размазанного гидравлического прыжка, автоматически удовлетворяют условиям (3.42).

В подобластях непрерывности параметров система (3.42) гиперболична и эквивалентна следующим уравнениям, записанным в "характеристической" форме .

$$\frac{d^\pm I^\pm}{dt} = \frac{\pm q}{\sqrt{h}}, I^\pm = u \pm 2\sqrt{h}$$

$$\frac{d^\pm}{dt} = \frac{\partial}{\partial t} + (u \pm \sqrt{h}) \frac{\partial}{\partial x} \quad (3.43)$$

В этих соотношениях I^\pm - инварианты Римана, а d^\pm/dt - операторы полного дифференцирования по t , соответственно вдоль c^+ -и c^- -характеристик, где

$$c^\pm : \frac{dx}{dt} = u \pm \sqrt{h} \quad (3.44)$$

Как видно из (3.43) и (3.44), \sqrt{h} в теории мелкой воды (в размерной форме $-\sqrt{gLh}$), играет ту же роль, что скорость звука в газовой динамике. Поэтому, если на левой границе рассматриваемой области $u_1 = \sqrt{h_1}$, то здесь (при $x = x_1$), как и при "сверхзвуковом втекании" следует задавать u_1 и h_1 . При $\sqrt{h_1} > u_1 > 0$ на той же границе ставится одно условие (на u_1 , h_i или любую их функцию, отличную от I^-). Аналогично на правой границе (при $x=x_r$) при $u_2 = \sqrt{h_r}$ не ставится ни одного условия, а при необходимо задавать либо u_r , либо h_r , либо любую их функцию, отличную от I^+ . Высказанные соображения о числе граничных условий, полностью совпадающие с соответствующими правилами газовой динамики /19/, справедливы до тех пор, пока течение в окрестности рассматриваемой границы непрерывно. При допущении разрыва, идущего от границы, число условий на ней может быть увеличено, хотя и в таких случаях (т.е. при допущении разрыва) возможное "превышение" числа указанных условий заранее неизвестно и каждый раз должно находиться из решения задачи о распаде произвольного разрыва.

При течении жидкости над ПМ системы уравнений и условий (3.24) - (3.42) следует дополнить уравнениями движения ЖН в ПМ, поскольку только совместное рассмотрение потоков над и под ГР: $z=0$ позволяет найти входящую

в (3.40) и (3.41) плотность тока q жидкости, фильтрующейся в ПМ. Хотя в рассматриваемой задаче в общем случае параметры жидкости под ГР зависят от времени и двух пространственных переменных z и x , типична ситуация, когда функция $z_+(t,x)$, определяющая ФН: $z=z_+(t,x)$, существенно меньше продольного (т.е. по x) масштаба течения. В таких условиях производными по x в уравнениях течения ЖН в ПМ можно пренебречь, и следовательно течение под ГР при каждом x будет по-прежнему описываться уравнениями одномерной нестационарной фильтрации, изученными в предыдущих разделах. Отличие от указанных разделов теперь, однако, будет состоять в том, что решение через $p^+=p^+(t,x)$, а также через времена появления или исчезновения жидкости над ГР "параметрически" зависит и от x . Кроме того, в формуле (3.26) для p^+ в данном приближении из-за зависимости потока над ГР от x нет смысла удерживать инерционное слагаемое, пропорциональное w'_+ . В результате (3.26) заменится на:

$$\rho^\pm = h + \delta(m^2 n^2 - 1) \frac{w_+^2}{2}$$

что ведет к некоторому упрощению последующих соотношений п.3.

Не останавливаясь на дальнейших подробностях, обсудим схему реализации в рассматриваемом приближении так называемого "импульсного полива", под которым понимается следующее Рассмотрим отрезок $0 < x < X$, где "длина борозды" X - заданная константа, причем если масштаб L - характерная высота слоя жидкости над ПМ, то $X \gg 1$. На правом конце отрезка (при $x=x_i=X$) поставим условие непротекания $u=0$. Пусть далее сечение $x=x_i=0$ - "левая граница борозды" совпадает с "задвижной", регулирующей подачу жидкости в борозду. Если задвижка закрыта, то:

$$u(t,0) = u_l(t) = 0 \quad (3.45)$$

При открытой задвижке, в согласии со сказанным выше, число условий, задаваемых при $x=0$, зависит от отношения $Fr = u_1 / \sqrt{h_1}$, называемого числом Фруда и являвшегося эквивалентом числа Маха в газовой динамике. При $Fr > 1$, что отвечает истечению из узкой цели при сравнительно высоком перепаде

давления, при $x=0$ необходимо задавать и u_1 и h_1 , т.е.

$$u(t,0) = u_l(t), h(t,0) = h_l(t), \quad (3.46)$$

с известными функциями $u_l(t)$ и $h_l(t)$. Если $Fr < 1$, то задается одна из этих функций. Заметим, кстати, что при квазистационарном истечении из цели высоты h у основания большого открытого сосуда высоты H (по уровню жидкости) в силу интеграла Бернулли $Fr = \sqrt{2(H-h)/h}$. Следовательно, здесь $Fr > 1$, если $H > 3h/2$. Таким образом, закрывая задвижку при фиксированном H , мы с уменьшением h неминуемо выходим на режим "сверхзвукового истечения". Если же в течении всего процесса $H > 3h/2$, то в квазистационарном режиме истечения интервалы закрытия задвижки, на которых при $x=0$ реализуется условие не протекания (3.45), сменяются интервалами времени, на которых выполняются условия (3.46) с заданным (t) и:

$$u_l(t) = \sqrt{2[H - h_l(t)]}$$

"Волна сжатия", формирующаяся при открытии задвижки, когда имеет место рост высоты $h_1(t)$, аналогичной давлению в газовой динамике, может приводить при распространении ее вправо к образованию гидравлического прыжка. При отражении от правого конца борозды высота прыжка увеличивается. Закрытие задвижки формирует также распространяющуюся вправо волну разрежения. Импульсному поливу отвечает почти ступенчатая функция $h_1(t)$ с короткими временами открытия и закрытия задвижки и существенно большими интервалами времени, в течении которых $h_1(t) = h_1 > 0$ или $h_1(t) = 0$. При $X \gg 1$ при "первом поливе" фильтрующийся поток может не достичь правого конца борозды. Далее, при сравнительно большом временном промежутке между последовательными поливами, новый импульс будет распространяться по ПМ, представляющему собой ЗЧН, и т.д. Некоторое представление о многообразии возникающих при этом ситуаций дает zt -диаграмма на рисунке 3.10, которая демонстрирует динамику намокания ПН в некотором промежуточном сечении борозды. На рисунке 3.12. при $t < 0$, $t_1 < t <$

t_2 и при $t < t_4$ жидкость над ПМ в рассматриваемом сечении отсутствует; ломаная $z = z_+(t)$ дает траекторию ФН, справа от которого находится ЗСМ; кривая $z = z_+(t)$ - траектория ФН, возникающего при повторном поливе и двигающегося по ЗЧН; кривые $z = z_-(t)$ - траектории задних границ ЗПН. Схема на рисунке 3.12. отвечает решению задачи фильтрации без учета инерционных членов ($\xi = 0$) и скачка давления на ГР ($\delta = 0$).

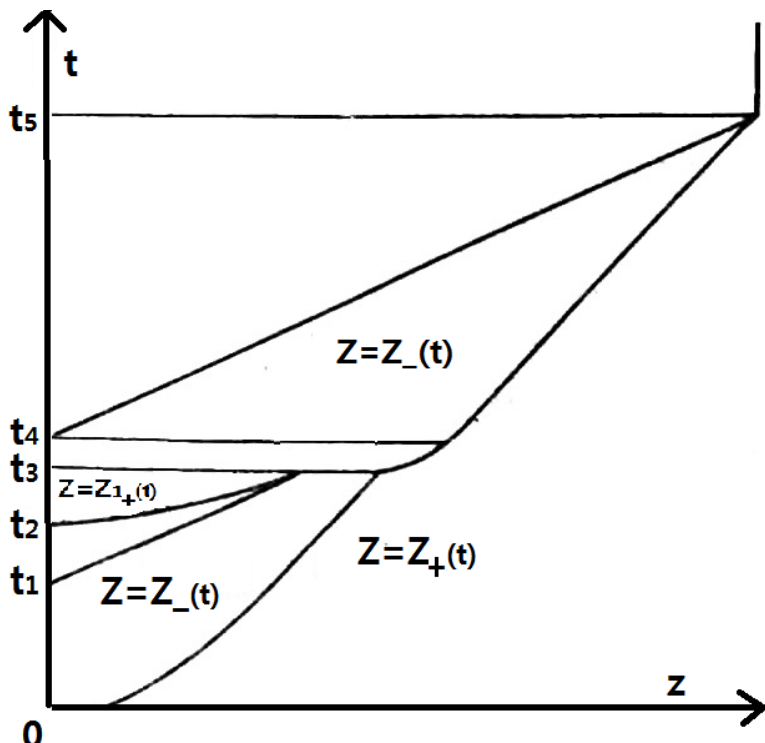


Рисунок 3.12. zt -диаграмма "импульсного полива"

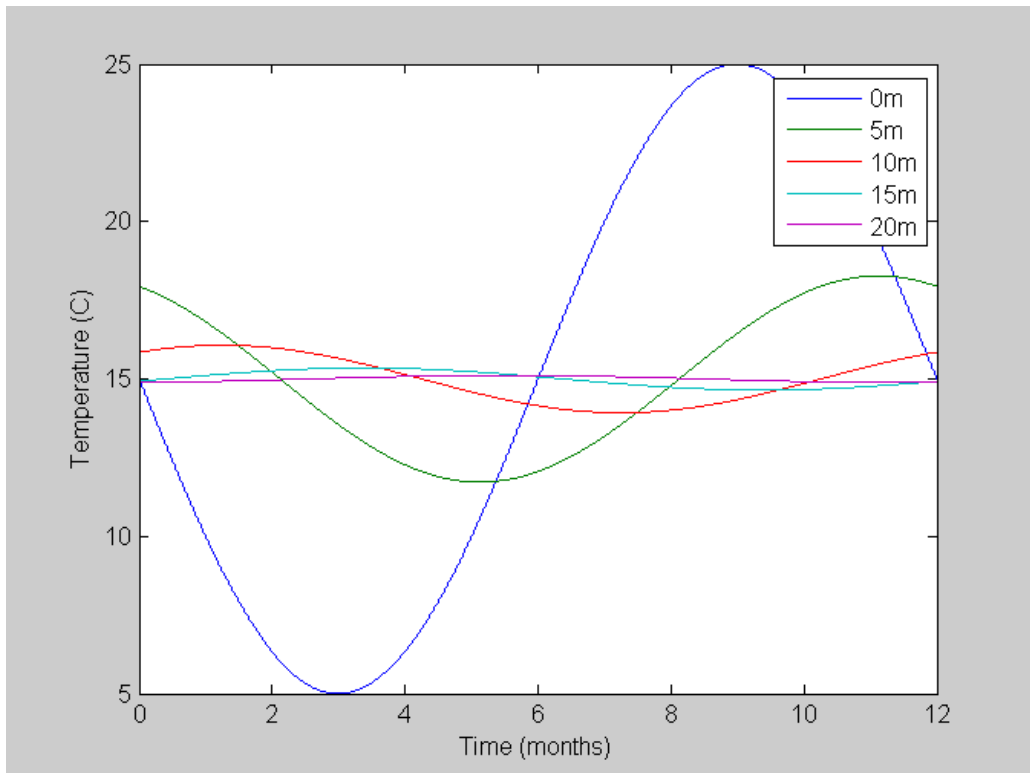


Рисунок.3.13.

3.3. Прогнозирование временных рядов осадков с помощью нейронных сетей на Python (LSTM, RNN, CNN модели)

Прогнозирование временного ряда осадков в г. Бишкек за 100 лет с помощью LSTM модели нейронной сети. Данные содержат два столбца: "Год-Месяц" — дата в формате "ГГГГ-ММ"; "Осадки" — количество осадков (предположительно в мм). Приведем данные в удобный формат для анализа, преобразуем даты в формат datetime и проверим их на пропущенные значения.

Важной частью при моделировании является разделение данных для обучения и тестирования, который гарантирует, что созданная модель может обобщаться за пределами обучающих данных, и что производительность и выходные данные будут статистически значимыми.

Далее визуализируется временной ряд, чтобы выявить тренды и сезонность перед обучением LSTM.



Рисунок.3.14. Осадки в Бишкеке (1924-2022гг.)

График показывает значительные колебания уровня осадков с явными периодическими изменениями. Видны тенденции и возможная сезонность.

Следующим шагом является подготовка данных для LSTM-модели:

1. Нормализация данных – LSTM работает лучше с масштабированными значениями.
2. Разделение на обучающую и тестовую выборку – обычно 80% для обучения, 20% для теста.
3. Создание оконных последовательностей – временные ряды требуют подготовки входных данных в виде последовательностей.

Данные для обработки разделены следующим образом: *Обучающая выборка*: 959 записей; *Тестовая выборка*: 240 записей и подготовлены таким образом, что создаются временные окна (последовательности), где предыдущие значения используются для предсказания следующего. Обычно берут 30-дневное окно, но можно настроить этот параметр. Используем его для начала.

Теперь построим и обучим LSTM-модель для прогнозирования осадков.

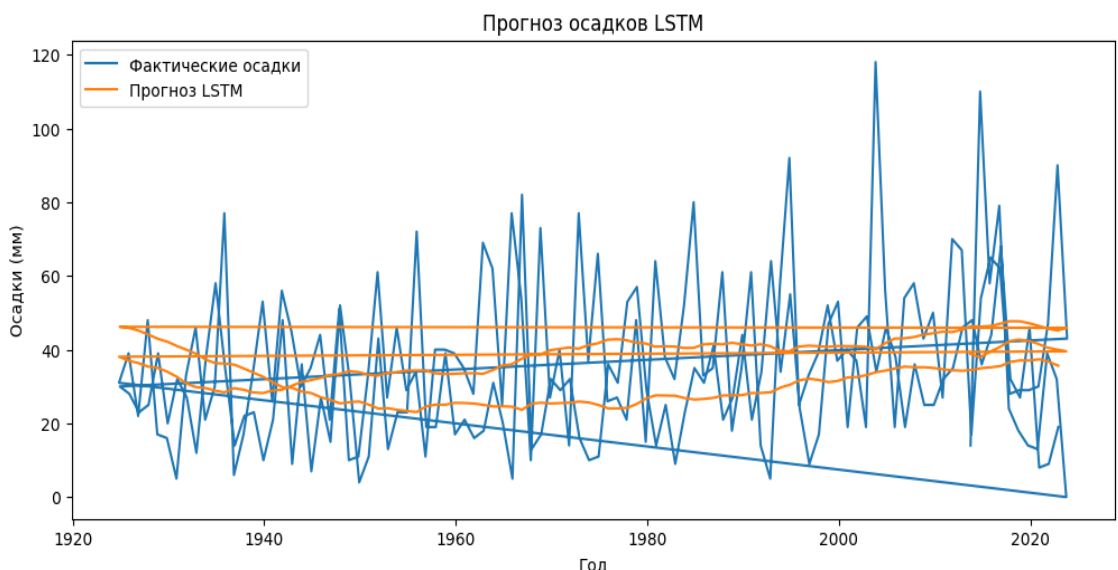


Рисунок 3.15.Прогноз осадков

На рисунке 3.15. показано прогноз осадков на основе данных 1921-2020гг.

Используем альтернативные методы прогнозирования, такие как. XGBoost (Градиентный бустинг) — это алгоритм с открытым исходным кодом, который реализует деревья градиентного усиления с дополнительными улучшениями для лучшей производительности и скорости, т.е. это метод машинного обучения, используемый в задачах регрессии и классификации. Он создает модель прогнозирования как ансамбль других, слабых моделей прогнозирования, которые обычно являются деревьями решений . По сути, бустинг работает путем добавления новых моделей для исправления ошибок, которые сделали предыдущие.

XGBoost — это тип модели градиентного усиления, которая использует методы построения дерева для прогнозирования своего конечного значения. Обычно для достижения пиковой производительности требуется дополнительная настройка.

Прогнозирование в науке о данных— это метод, используемый для предсказания будущих числовых значений на основе данных наблюдения, собранных с течением времени, через регулярные или нерегулярные интервалы.

В отличие от обычных данных методы машинного обучения, где каждое наблюдение не зависит от другого, данные для прогнозов временных рядов должны быть в последовательном порядке и связаны с каждой точкой данных. Например, данные временных рядов могут включать ежемесячные осадки, ежедневные средние температуры воздуха, ежедневные продажи и т. д.

Модели градиентного бустинга приобрели популярность в сообществе машинного обучения благодаря своей способности достигать превосходных результатов в широком диапазоне вариантов использования, включая как регрессию, так и классификацию. Хотя эти модели традиционно были менее распространены в прогнозировании, они могут быть весьма эффективными в этой области. Некоторые из основных преимуществ использования моделей градиентного бустинга для прогнозирования включают:

- Легкость, с которой в модель можно включать экзогенные переменные в дополнение к авторегрессионным переменным.
- Способность фиксировать нелинейные зависимости между переменными.
- Высокая масштабируемость, позволяющая моделям обрабатывать большие объемы данных.
- Некоторые реализации позволяют включать категориальные переменные без необходимости дополнительного кодирования, например, прямого кодирования.

Несмотря на эти преимущества, использование моделей машинного обучения для прогнозирования может быть сопряжено с рядом проблем, из-за которых аналитики могут не захотеть их использовать. Основными из них являются:

- Преобразование данных таким образом, чтобы их можно было использовать в качестве задачи регрессии.

- В зависимости от того, сколько будущих прогнозов необходимо (горизонт прогнозирования), может потребоваться итеративный процесс, в котором каждый новый прогноз основывается на предыдущих.
- Для проверки модели требуются определенные стратегии, такие как бэктестинг, форвардная проверка или перекрестная проверка временных рядов. Традиционная перекрестная проверка не может быть использована.

Библиотека `skforecast` предоставляет автоматизированные решения для этих задач, упрощая применение и проверку моделей машинного обучения для задач прогнозирования. Библиотека поддерживает несколько расширенных моделей градиентного бустинга, включая `XGBoost`.

Для облегчения обучения моделей, поиска оптимальных гиперпараметров и оценки их прогностической точности данные делятся на три отдельных набора: Создает признаки (месяц, год, осадки за предыдущий месяц).

1. Разделяет данные на `train/test`.
2. Обучает `XGBoostRegressor`.
3. Строит прогноз и визуализирует результаты.

Скользящая статистика и скользящие средние. Скользящая статистика и скользящие средние — это статистические методы, используемые для обобщения информации за определенный период времени. Одним из таких методов является 7-дневное скользящее среднее.

Прежде чем приступить к прогнозированию с использованием `XGBoost`, необходимо сначала установить пакет.

```
pip install xgboost
```

После установки мы подготовим данные для обучения нашей модели. Теоретически, прогнозирование `XGBoost` будет реализовывать модель регрессии на основе единичных или множественных признаков для прогнозирования будущих числовых значений. Вот почему обучение данных также должно быть в числовых значениях. Кроме того, чтобы включить движение времени в нашу модель `XGBoost`, мы преобразуем данные о времени в множественные числовые признаки.

Начнем с создания функции для создания числовых характеристик на основе даты.

Прогнозы временных рядов часто включают трендовые, сезонные и другие закономерности из данных для создания прогноза. Один из простых способов рассмотреть закономерность — визуализировать ее.

Покажем, как работает модель XGBoost в Python.

Шаг 1: Импорт необходимых библиотек Python

Сначала необходимо импортировать все библиотеки, которые понадобятся для модели:

```
import numpy as np
import pandas as pd
import xgboost as xgb
from sklearn.preprocessing import MinMaxScaler
from sklearn.model_selection import train_test_split
import matplotlib.pyplot as plt
```

Как видно, импортируется пакет pandas, который отлично подходит для анализа и обработки данных. Кроме того, есть также `NumPy`, который будет использоваться для выполнения различных математических операций с массивами, также метод `train_test_split` — он чрезвычайно важен, так как позволяет разбить данные на обучающие и тестовые подмножества. Наконец, здесь есть метод `xgb.XGBRegressor`, который отвечает за обеспечение функциональности алгоритма XGBoost. Он импортируется целиком в начале нашей модели.

Шаг 2: Определение пути к набору данных

Используя функцию `Path`, мы можем определить, где на нашем ПК хранится набор данных.

Далее прочитается данный файл набора данных с помощью функции `pd.read_excel`. Мы вставим путь к файлу в качестве входных данных для метода. После используется метод `reduce_mem_usage`, который уже определен по порядку. Это можно сделать, передав ему значение данных из функции `чтения`:

```
# Загрузка данных
df = pd.read_excel("Осадки_Бишкек.xlsx")
df.rename(columns={"Год-Месяц": "Дата", "Осадки": "Осадки"}, inplace=True)
df["Дата"] = pd.to_datetime(df["Дата"], format="%Y-%m")
df.set_index("Дата", inplace=True)
```

Шаг 3: Очистка и разделение набора данных. Чтобы очистить и разделить набор данных, который используется, применяется следующий код:

Создание признаков временного ряда

```
df["Месяц"] = df.index.month
df["Год"] = df.index.year
df["Осадки_пред"] = df["Осадки"].shift(1) # Осадки за прошлый месяц

df.dropna(inplace=True)

# Разделение на train/test
train_size = int(len(df) * 0.8)
train_data = df.iloc[:train_size]
test_data = df.iloc[train_size:]

# Выделение признаков и целевой переменной
X_train = train_data[["Месяц", "Год", "Осадки_пред"]]
y_train = train_data["Осадки"]
X_test = test_data[["Месяц", "Год", "Осадки_пред"]]
y_test = test_data["Осадки"]
```

Шаг 4: Использование алгоритма XGBoost. Нужно использовать конструктор XGBRegressor() для создания экземпляра объекта. Он может принимать несколько параметров в качестве входных данных – каждый из них приведет к небольшому изменению того, как работает алгоритм XGBoost.

Обучение XGBoost-модели

```
model = xgb.XGBRegressor(objective="reg:squarederror", n_estimators=100,
learning_rate=0.1, max_depth=5)
model.fit(X_train, y_train)
```

Прогнозирование

```
y_pred = model.predict(X_test)
```

Шаг 5: Построим график характеристики LGBM в зависимости от значимости XGBoost, теперь мы можем построить график важности каждой функции данных в Python с помощью следующего кода:

Визуализация предсказаний

```
plt.figure(figsize=(12, 5))
plt.plot(df.index[-len(y_test):], y_test, label='Фактические осадки')
plt.plot(df.index[-len(y_test):], y_pred, label='Прогноз XGBoost')
plt.xlabel("Год")
plt.ylabel("Осадки (мм)")
plt.title("Прогноз осадков XGBoost")
plt.legend()
```

```
plt.show()
```

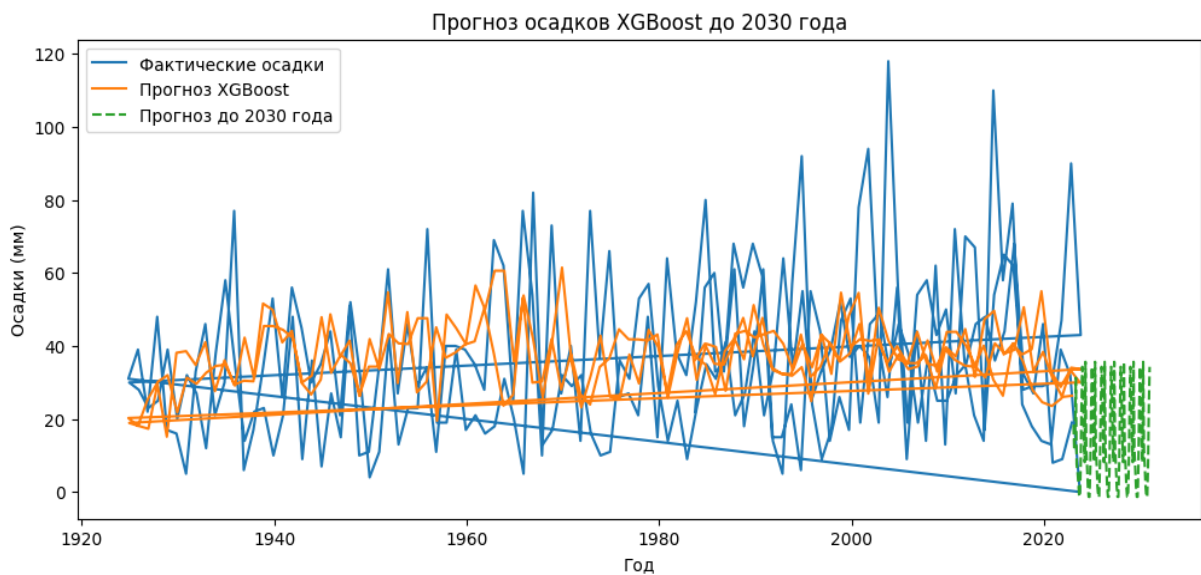


Рисунок.3.16. Прогноз осадков до 20230г.

На рисунке 3.16. хорошо показан прогноз зелеными линиями, который показывает малое количество осадков. Фактические данные обозначены синими линиями, которые показывают, что после 2020годов количество осадков снижается.

Сравнение результатов. Давайте сравним, как оба алгоритма справились с нашим набором данных. Хотя модель XGBoost имеет немного более высокую публичную оценку и немного более низкую оценку проверки, чем модель LSTM, разницу между ними можно считать незначительной.

Следует отметить, что модели LSTM намного быстрее, особенно когда речь идет о больших наборах данных. В заключение следует отметить, что такие факторы, как размер набора данных и доступные ресурсы, будут оказывать огромное влияние на выбор алгоритма.

3.4. Выводы по главе

Получены численные расчеты фильтрации потоков жидкости в пористую среду с учетом разрыва пористости для оценки гидродинамических процессов, влияющих на климатическую систему региона. Проведен анализ и прогнозирование среднемесячных сумм осадков за последние 100 лет по данным метеорологических наблюдений, используя модели временных рядов и методы машинного обучения;

ЗАКЛЮЧЕНИЕ

1. Проведен анализ и прогнозирование временных рядов для среднемесячных температур воздуха в промежутке с 1921-2021гг. регионов Кыргызстана с помощью нейронной сети и была построена модель рекуррентной нейронной сети с долгосрочной и краткосрочной памятью LSTM (Long Short Term Memory) глубокого обучения
 2. Созданы математические модели диффузии дыма из дымовых труб в трехмерном моделировании и перенос шлейфов загрязнителей в атмосферу:
 - определение стационарного условия, скорости ветра только в определенном направлении, скорость на выходе из дымовой трубы, температуры атмосферного воздуха, определение параметров “переменной” дыма.
 - перенос стационарного условия в нестационарное, устанавливается концентрация дыма, экспоненциально зависящая от времени. Интервал шага по времени меняется он начала симуляции к ее концу.
 - проведена численная реализация процесса турбулентной модели потока дыма из дымовых труб на пути препятствий (здания)
 - проведена численная реализация процесса диффузии дыма из дымовых труб концентрация дыма, экспоненциально зависящая от времени.
 2. Проведено компьютерное моделирование, и расчетное исследование в ANSYS CFX R2019 турбулентной модели потока дыма из дымовых труб на преграды (здания), процесса диффузии дыма из дымовых труб экспоненциально зависящая от времени.
 3. Проведены расчетные исследования для компьютерного моделирования в ANSYS Fluent:
 - разработана программа, позволяющая провести расчет стационарной и нестационарной задачи турбулентной модели дыма из дымовых труб на преграды (здания)
- Проведены расчетные исследования для компьютерного моделирования в ANSYS CFX:
- разработана программа, позволяющая провести расчет стационарной и нестационарной задачи процесса диффузии дыма из дымовых труб экспоненциально зависящая от времени
4. Проведены численные расчеты гидротермодинамики атмосферы и уравнения переноса и трансформации примесей.
 5. распространения потока над Рисункой средой

ПРАКТИЧЕСКИЕ РЕКОМЕНДАЦИИ

На основе полученных результатов можно осуществить:

1. Исследованные климатические данные можно применить для прогноза изменения климата регионов Кыргызстана
2. Построенные модели переноса загрязняющих веществ в атмосфере можно использовать в метеорологических параметрах Кыргызстана
3. Результаты можно применить в учебном процессе, с целью ознакомления студентов с задачами гидротермодинамики и привлечь их к научным исследованиям в этой области.

СПИСОК ИСПОЛЬЗОВАННЫХ ИСТОЧНИКОВ

1. Абдрасакова А.Б., Сулайманова С.М. Анализ климатических данных с помощью нейронных сетей [Текст]/ Абдрасакова А.Б., Сулайманова С.М./Вестник КГУСТА, 2022.- № 3(77). – С.140-146.
2. Абдрасакова А.Б., Картанова А.Дж, Сулайманова С.М. Численное моделирование переноса пассивной примеси над ограниченной территорией.[Текст] / Вестник КГУСТА, Вып. 75 (1), Бишкек, 2022г.
3. Абдрасакова А.Б. Компьютерное моделирование температуры воздуха с использованием обобщенных регрессионных нейронных сетей. [Текст] / Известия ВУЗов Кыргызстана, № 2, 2023г.
4. Абдрасакова А.Б. Абанын температурасынын өзгөрүшүн болжолдоо үчүн нейрондук тармак ыкмаларын колдонуу. [Текст] / Наука, новые технологии и инновации Кыргызстана, № 5, 2023г.
5. Абдрасакова А.Б. Тұтұктөрдөн абаны булгоочу заттардын дисперсиясы үчүн ANSYS - CFX негизинде симуляциялық программасын 3D моделдөө [Текст] / МУИТ. Наука и инновационные технологии. №4, 2023г.
6. Абдрасакова А.Б.Применения рекуррентных нейронных сетей LSTM для прогнозирования временных рядов среднемесячной температуры воздуха [Текст] /Сулайманова С.М./ МУИТ. Наука и инновационные технологии. №4, 2023г.
7. Алексеев Г.А. Динамика инфильтрации дождевой воды в почву. [Текст] / Алексеев Г.А – «Тр.ГГИ», 1948,вып.6.с.43-72
8. Андерсон Д.Дж. Вычислительная гидромеханика и теплообмен: [Текст] / Андерсон Д., Таннхилл, Р. Плетчер в 2-х т.: Пер. с англ. – М.: Мир, 1990.- 384. С., ил.
9. Бабков В.С., Донецкий национальный технический университет . Анализ математических моделей распространения примесей от точечных источников [Текст] / Бабков В.С., Т.Ю. Ткаченко

- 10.Бабушка И. Численные процессы решения дифференциальных уравнений. [Текст] / Бабушка И., Ватасек Э., Прачер М М., «Мир», 1969.
- 11.Баренблatt Г.И. Неравновесная фильтрация несмешивающихся жидкостей [Текст] / Баренблatt Г.И., Винниченко А.П. Успехи механики. 1980. Т.3, вып.3. С.35-50.
- 12.Баренблatt Г.И. Движение жидкостей и газов в природных пластах [Текст] / Баренблatt Г.И., Ентов В.М., Рыжик В.И.М.: Недра, 1984. 208 с.
- 13.Бильгаева Л. П. Исследование моделей нейросетевого прогнозирования в среде MATLAB [Текст] / Л.П.Бильгаева, К.Г.Власов // Приложение математики в экономических и технических исследованиях. — 2017. — № 1 (7). — С. 11–19.
- 14.Бильгаева Л. П. Исследование моделей нейросетевого прогнозирования в среде MATLAB [Текст] / Бильгаева Л. П., Власов К. Г. Приложение математики в экономических и технических исследованиях. — 2017. — № 1 (7). — С. 11–19.
- 15.Бойко В.В. Анализ методов математического моделирования распространения загрязняющих веществ в атмосфере /экологическая безопасность. [Текст] / Бойко В.В., Пляцук Л.Д. суммы 2010, №6 с.1-4.
- 16.Борзенков А.В.Дифференциальные уравнение в частных производных Matlab. Конспект лекций для студ. [Текст] /Министерство образ.Республики Беларусь. Учреждение образования «Белорусский государственный университет информатики и радиотехники».
- 17.Будаговский А.И. Система уравнений тепло- и влагообмена в растительном покрове. [Текст]/Будаговский А.И.,Лозинская Е.А. Водные ресурсы.1976,№1,с.78.-94.
- 18.Будаговский А.И. Количественная теория фотосинтеза и ее использование для решения научных и практических задач физической географии. [Текст] / Будаговский А.И.,Ничипорович А.А., Росс Ю.К. Изв.АН СССР:Сер.геогр., 1964, №6. с.13-27.

- 19.Будаговский А.И. Основы количественной теории фотосинтетической деятельности посевов. [Текст] / Будаговский А.И., Росс Ю.К. В кн.: Фотосинтезирующие системы высокой продуктивности. М., Наука, 1966, с.51-58.
- 20.Будаговский А.И. Вертикальное распределение потоков длинооволновой радиации и радиационного баланса в растительном покрове. [Текст] / Будаговский А.И. , Росс Ю.К., Тооминг Х.Г. В.Кн: Актинометрия и оптика атмосферы. Валгус,1968, с. 299-307.
- 21.Будаговский А.И.Испарение почвенной влаги. [Текст] /М., «Наука», 1964,243с.
- 22.В.В.Сидорик Практикум по моделированию в среде Matlab. [Текст] / В.В.Сидорик ,С.Г. Погирницкая Учебно-метод пособ
- 23.Васильев А. Н.MATLAB. САМОУЧИТЕЛЬ. ПРАКТИЧЕСКИЙ ПОДХОД. 2-Е ИЗДАНИЕ. [Текст] / Васильев А. Н, СПб.: Наука и Техника, 2015. — 448 с.: ил.
- 24.Веригин Н.Н. Движение влаги в почве [Текст] / Веригин Н.Н. Докл. АН СССР. 1953. Т.89, № 2 . С. 229-232.
- 25.Веригин Н.Н. Смачивание почвы при орошении посредством дождевания [Текст] / Веригин Н.Н. Докл. АН СССР. 1953. Т.89, № 4 С. 627-630.
Вестник Российской экономический университет имени Г. В. Плеханова,
26. Второе национальное сообщение Кыргызской Республики по рамочной конвенции ООН об изменении климата [Текст] / - Режим доступа:https://unfccc.int/sites/default/files/resource/Kyrgyztan%20SNC_Russian_0.pdf
- 27.Вычислительная гидродинамика. Постановка и решение задач в процессоре Fluent: Методическое пособие для учебной и научной работы студентов направления 270800 – «Строительство» (квалификация «бакалавр» и «магистр») и аспирантов специальности 05.23.03[Текст] / А.М. Зиганшин. – Казань: Изд-во Казанск. гос. архитект.-строит. ун-та, 2013. – 79 с.

- 28.Гарбарук, А.В. Моделирование турбулентности в расчетах сложных течений [Текст] / Гарбарук, Х.М. Стрелец, Л.М. Шур. – СПб.: Изд-во политехн. ун-та, 2012. – 88 с.
- 29.Главное управление гидрометеорологической службы при совете министров СССР. Среднеазиатского регионального научно-исследовательский гидрометеорологический институт. [Текст] / Труды выпуск 26
- 30.[Глубокое обучение в MATLAB - MATLAB & Simulink \(mathworks.com\)](#)
- 31.Годунов С.К. и др Численное решение многомерных задач газовой динамики [Текст] / Годунов С.К., Забродин А.В., Иванов М.Я. М.: Наука. 1976. 400 С.
- 32.Годунов С.К. Разностные схемы. [Текст] / Годунов С.К., Рябенький В.С. М., «Наука», 1973. 400с.
- 33.Государственный комитет СССР по гидрометеорологии и контролю природной среды. Труды среднеазиатского регионального научно-исследовательского института им.В.А.Бугаева. Математическое моделирование гидрометеорологических процессов. [Текст] /Выпуск 11(192),1-81 Москва гидрометоиздат 1986
- 34.Денисов Ю.М. Перенос влаги и тепла в почве (неподвижной пористой среде). [Текст] / Денисов Ю.М. «Тр. САНИГМИ», 1968, вып.38(54), с.3-19.
- 35.Дымников В.П. Современные проблемы математической теории климата. [Текст] / Дымников В.П., Грицун А. С. Изв. РАН. Физика атмосферы и океана, 2005. — Том 41, т. С. 266-284.
- 36.Емалетдинова Л. Ю. Метод построения прогнозной нейросетевой модели в временного ряда [Текст] / Л. Ю. Емалетдинова, З. И. Мухаметзянов, Д. В. Катасёва, А. Н.
- 37.Емалетдинова Л. Ю. Метод построения прогнозной нейросетевой модели временного ряда. - [Текст] / Емалетдинова Л. Ю., З. И. Мухаметзянов, Д. В. Катасёва, А. Н. Кабирова. Компьютерные исследования и моделирование 2020, Т. 12 № 4 С. 737–756.
- 38.Ентов В.М. Физико-химическая гидродинамика процессов в почвенных

- средах (математические методы повышения нефтеотдачи пластов) [Текст] / Ентов В.М. Успехи механики. 1981. Т.4, вып.3. С.41-79.
- 39.Изменение климата Бишкека за столетие 1930-2030гг. [Текст] /Ю.А.Подрезова, О.А.Подрезов. Вестник КРСУ 2021, Том 21 №12 с.192-198с.
40. Ильясов Ш. Климатический профиль Кыргызской Республики [Текст] / Ш.Ильясов, О. Забенко, Н.Гайдамак и др. - Б.: 2013 - 99 с.
- 41.Инженерный анализ в Ansys Workbench: Учеб. Пособ. [Текст] / В.А. Бруяка, В.Г. Фокин, Е.А. Солдусова, Н.А. Глазунова, И.Е. Адеянов. – Самара: Самар. Гос. Техн. Ун-т, 2010.-271 с.: ил.
- 42.Использование программного пакета FLUENT для решения задач по газодинамике [Электронный ресурс] : электрон. метод. указания к лаб. работам [Текст] / Минобрнауки России, Самар. гос. аэрокосм. ун-т им. С. П. Королева (нац. исслед. ун-т); сост. В. В. Бирюк, А. А. Горшаков, Д. А. Угланов; - Электрон. текстовые и граф. дан. (8,65 Мбайт). - Самара, 2012. – 1 эл. опт. диск (CD-ROM)
- 43.Климат Бишкека - Погода и климат
- 44.Климат Нарына - Погода и климат
- 45.Клинцинг Г.Е. Влияние переменных коэффициентов диффузии и скорости на рассеивание загрязнителей. [Текст] / Клинцинг Г.Е., Л.К. Петерс, Atmos Environ 5 (1971), 497-504.
- 46.Коллинз Р. Течение жидкостей через пористые материалы [Текст] / М.: Мир. 1964. 350 С.
- 47.Копченова Н.В.Вычислительная математика в примерах и задачах. [Текст] / Копченова Н.В., Маров И.А. М. «Наука», 1972. 367с.
- 48.Кочергин В.П. К вопросу о численном моделировании гидротермодинамических задач океана [Текст] / Кочергин В.П. ,Склляр С.Н., Султанов Р.К// Морской Гидрофизический журнал. -1990. -J6 2. -С. 10-18.
- 49.Крайко А.Н. К двухжидкостной модели течений газа и диспергированных в

нем частиц [Текст] / Крайко А.Н. ПММ. 1982, вып.1. С. 96-106.

- 50.Крайко А.Н. К теории двукидкостных течений смеси газа и диспергированных в нем частиц [Текст] / Крайко А.Н. Гидродинамика и теплообмен в двухфазных средах. Материалы II Всесоюзной школы по теплофизике. Новосибирск. АН СССР. Сиб. отд-ние. Ин-т теплофизики. 1981. С. 42-52.
- 51.Крайко А.Н. В течениях газа в пористой среде с поверхностями разрыва пористости [Текст] / Крайко А.Н., Миллер Л.Г., Ширковский И.А. О ПМТФ. 1982, N 1. С. 111-118.
- 52.Круглов В. В. Искусственные нейронные сети. Теория и практика [Текст] / В.В. Круглов, В.В. Борисов. - М.: Горячая линия - Телеком, 2021.
- 53.Лейбензон Л.С. Подземная гидрогазодинамика. [Текст] / Лейбензон Л.С. Собрание трудов. Т.2 // М.: АН СССР. 1963. 564 с.
- 54.Лыков А.В. Теория сушки. [Текст] / Лыков А.В. М., «Энергия», 1968.471с.
- 55.Лыков А.И. Массотеплоперенос в капилярно – пористых средах. – В кн. Тепло и массообмен в процессах испарения. [Текст] / Лыков А.И. М., Изд-во АН СССР, 1958, с.7-14. Тепло и массообмен в процессах испарения. М., Изд-во АН БССР, 1965, с.3-27.
- 56.Лыков А.И. Тепло и массообмен в процессах при фазовых и химических превращениях. – В кн. Тепло и массообмен в процессах испарения. [Текст] / Лыков А.И. М., Изд-во АН СССР, 1958, с.7-14.
- 57.М.Л. Лобанов «Методы определения коэффициентов диффузии» учебное пособ. [Текст] / М.Л. Лобанов, М.А.Зорина Уральский федеральный университет им. Президента России Б.Н.Ельцина Инсититут новых материалов и технологий. Екатеринберг Издательство Уральского университета 2017
- 58.Манукян А.А. Исследование траектории распространения загрязнений от точечного источника в зависимости от характера ландшафта. [Текст] / Манукян А.А., Селиверстова Т.В., Национальная металлургическая

- академия Украины, г.Днепр, Украина. Компьютерное моделирование: анализ, управление, оптимизация, 2017г. №2.48-52с.
- 59.Марчук Г.И. Методы вычислительной математики [Текст]/ Марчук Г.И. -М.: Наука, 1989. -608 с.
- 60.Матвеев Л.Т. Курс общей метеорологии. Физика атмосферы. [Текст] / Матвеев Л.Т. Л.: Гидрометеоиздат, 1984.-751 с.
- 61.Математические заметки СВФУ [Текст] /Апрель июнь, 2017. Том 24, № 2
- 62.Махмудов А.А. Распространение метода SHASTA на численное решение двумерных нестационарных уравнений мелкой воды [Текст] / Махмудов А.А. Ж. вычисл. матем. и матем.физ.1987. Т.27, N 8. С.1262-1266.
- 63.Махмудов А.А. Численное решение некоторых задач теории мелкой воды [Текст] / Махмудов А.А. Ж. вычисл. матем. и матем.физ.1967. Т.27, №5. С. 788-791.
64. МГЭИК. Руководящие принципы национальных инвентаризаций парниковых газов [Текст] / [Электронный ресурс]/ - Режим доступа: <https://www.ipcc-nccc.iges.or.jp/public/2006gl/russian/index.html>
- 65.Мезингер Ф.Численные методы, используемые в атмосферных моделях. [Текст] / Мезингер Ф., Аракава А. Л.: Гидрометеоиздат, 1979. – 136с.
- 66.Михайлов Г.К. Движение жидкостей и газов в пористых средах [Текст] / Михайлов Г.К., Николаевский В.Н Механика в СССР за 50 лет. Т.2. Механика жидкости и газа. М.: Наука. 1970. С. 585-648.
- 67.Наумов В.А. Математическое моделирования распространения взвешенных примесей от точечного источника и их осаждение в водотоке. [Текст] / Наумов В.А.
- 68.Национальный доклад о состоянии окружающей среды Кыргызской Республики за 2015–2018 годы [Текст] / [Электронный ресурс] / - Режим доступа: <http://aarhus.kg/ru/sostoyanie-okruzhayushhej-sredy-kr>
- 69.Нерпин С.В.Физика почвы. [Текст] / Нерпин С.В., Чудовский А.Ф. М., «Наука», 1967. 583с.

70. Нигматулин Р.И. Основы механики гетерогенных сред. [Текст] / Нигматулин Р.И. И.: Наука. 1978. 336 с.
71. Определение температуры грунта на глубине заземлителей. [Текст] / Зайцева Н.М., Исабекова Б.Б., Клецель М.Я. Журнал «Электричество» №7, 2011 с.19-24с.
72. Патанкар С. Численные методы решения задач теплообмена и динамики жидкости. [Текст] / Патанкар С. Пер. с англ. – М.: Энергоатомиздат, 1984.-152 с., ил.
73. Патанкар С. Тепло- и массообмен в пограничных слоях. [Текст] / Патанкар С., Д. Спэлдинг Пер. с англ. М., Энергия. 1971.
74. Педлоски Дж. Геофизическая гидродинамика. Т.1 [Текст] / Педлоски Дж. М.: Мир. 1984. 400 С.
75. Пененко В.В. Оптимальное прогнозирование природных процессов с оценкой неопределенности [Текст] / Пененко В.В., Цветова Е.А. ПМТФ, 2009. № 2. - С. 156-166.
76. Погода в Бишкеке - климатический монитор за февраль 2025 года
77. Полубаринова-Кочина П.Я. Теория движения грунтовых вод. [Текст] / Полубаринова-Кочина П.Я. М.: Наука. 1977. 664 с.
78. Прогноз погоды в Нарыне (Нарынская область, Киргизия) - Погода и климат
79. Прогноз погоды в Таласе (Таласская область, Киргизия) - Погода и климат
80. Расчетные методы прогноза водного режима и его регулирования. – В кн. Физика, химия, биология и минералогия почв СССР (докл. к VII Международному конгрессу почвоведов). [Текст] / М., «Наука», 1964, с.32-41. Авт.: Бондаренко Н.Ф., Корчунов С.С., Нерпин С.В., Судницын И.И., Якобс А.И.
81. Роде А.А. Основы учения о почвенной влаге. [Текст] / Роде А.А. Т.1Л., Гидрометеоиздат, 1965. 663с.
82. Ростовцев В.С. - Искусственные нейронные сети. [Текст] / Ростовцев В.С.:

учебник - Издательство "Лань" -2019 - 216с.

- 83.Рубин Дж. Поглощение дождевых вод почвами исходно более сухими, чем их полевая влагоемкость. [Текст] / Рубин Дж. В кн.: Изотермические передвижение влаги в зоне аэрации. Л., Гидрометеоиздат, 1972, с.149-167.
С НЕОДНОРОДНЫМИ КОЭФФИЦИЕНТАМИ МЕТОДОМ КОНЕЧНЫХ ЭЛЕМЕНТОВ М. В. Васильева, Г. А. Прокопьев
- 84.Сергеев А.И. Схема расчета испарения с поверхностями почвы. [Текст] / Сергеев А.И. «Тр. САНИГМИ», 1972, вып. 62(77), с.75-83.
- 85.Температура воздуха и осадки по месяцам и годам: Бишкек (город Бишкек, Киргизия)
- 86.Температура воздуха и осадки по месяцам и годам: Бишкек (город Бишкек, Киргизия)
- 87.Температура воздуха и осадки по месяцам и годам: Бишкек (город Бишкек, Киргизия)
- 88.Температура воздуха и осадки по месяцам и годам: Иссык-Куль (Иссык-Кульская область, Киргизия)
- 89.Температура воздуха и осадки по месяцам и годам: Иссык-Куль (Иссык-Кульская область, Киргизия)
- 90.Температура воздуха и осадки по месяцам и годам: Нарын (Нарынская область, Киргизия)
- 91.Температура воздуха и осадки по месяцам и годам: Нарын (Нарынская область, Киргизия)
- 92.Температура воздуха и осадки по месяцам и годам: Ош (город Ош, Киргизия)
- 93.Температура воздуха и осадки по месяцам и годам: Ош (город Ош, Киргизия)
- 94.Температура воздуха и осадки по месяцам и годам: Талас (Таласская область, Киргизия)
- 95.Температура воздуха и осадки по месяцам и годам: Талас (Таласская

область, Киргизия)

96. Теория и практика управление. Глобальное изменение климата и его последствия. [Текст] /Л. В. Бондаренко, О. В. Маслова, А. В. Белкина, К. В. Сухарева
97. Уизем Дж. Линейные и нелинейные волны [Текст] / Уизем Дж. М.: Мир, 1977. 622 с.
98. Федеральное государ.автономное образов. учреждение высшего образов. [Текст] /Национальный исследовательский Томский Политехнический университет. Проведение статического анализа в ANSYS Workbench. Томск 2023.
99. Федорова Н. Н. Основы работы в ANSYS 17.- Основы работы в ANSYS 17. [Текст] / Федорова Н. Н., Вальгер С. А., Данилов М. Н., Захарова Ю. В. – М.: ДМК Пресс, 2017. – 210 с.: ил.
100. Филип Дж.Р. Теория инфильтрации. – В кн.: Изотермические передвижение влаги в зоне аэрации. [Текст] / Филип Дж.Р. Л., Гидрометеоиздат, 1972, с.6-83.
101. Чайлдс Э. Физические основы гидрологии почв. [Текст] / Чайлдс Э. Л., Гидрометеоиздат, 1973. 427с.
- ЧИСЛЕННОЕ РЕШЕНИЕ ЗАДАЧИ ДВУХФАЗНОЙ ФИЛЬТРАЦИИ
102. Чубаров В.Н. Питание грунтовых вод песчаной пустыни через зону аэрации. [Текст] / Чубаров В.Н. М., «Недра», 1972. 132с.
103. Эдлефсен Н.Е. Термодинамика почвенной влаги. [Текст] / Эдлефсен Н.Е., Андерсон А.Б. – В кн.: Термодинамика почвенной влаги. Л., Гидрометеоиздат, 1966, с. 3 – 273.
104. Юн, А.А. Теория и практика моделирования турбулентных течений [Текст] / Юн А.А.. – М.: ЛИБРОКОМ, 2009. – 272 с.
105. Aggarwal C.C., Neural Networks and Deep Learning. [Текст] /A Textbook. Springer International Publishing AG, 2018.
106. Ansys / Engineering Simulation Software

107. ANSYS Fluent Theory Guide
108. Buckley S.E., Leverett M.C. Mechanism of fluid displacement in sands // Trans. AIME. 1942. Vol.146. P.107-116.
109. CFD Training Manual [Электронный ресурс]. – Режим доступа: <http://www.engr.uconn.edu/~barbertj/CFD%20Training/UConn%20Modules/CFD%0Training%20Manual.docx> . – Загл.с экрана.
110. Deepti Arela, Shilpa Agrawal. Demand forecasting by using generalized regression neural network. - Open access international journal of science and engineering (OAIJSE). - Volume 03, Issue 02, Year: 2018, Pages:39-45.
111. F. Moukalled, L. Mangani, M. Darwish The Finite Volume Method in Computational Fluid Dynamics. An Advanced Introduction with OpenFOAM® and Matlab®.- Springer International Publishing Switzerland 2016.
112. <http://kmauo.org/wp-content/uploads/2018/02/Manukian.pdf>
113. <http://www.pogodaiklimat.ru/history/38353.htm>
114. <https://www.youtube.com/watch?v=H9X7Kx6lzQ>
115. <https://www.youtube.com/watch?v=kAkRZtyI72g>
116. <https://www.youtube.com/watch?v=SQUCHWHyuxc>
117. Smith F. B.. The Diffusion of Smoke from a continuous elevated point source into a turbulent atmosphere, J Fluid Mech 2 (1957), p49-76.
118. Vojislav, Kecman Learning and Soft Computing: Support Vector Machines, Neural Networks, and Fuzzy Logic Models (Complex Adaptive Systems) / Vojislav Kecman. - Москва: Машиностроение, 2022 – c. 333-358.
119. Zannetti P.. Air pollution modeling theories, computational methods and available software, Computational Mechanics Publications, New York, 1990.

Приложения



КЫРГЫЗ РЕСПУБЛИКАСЫ



КЫРГЫЗ ПАТЕНТ

ЭЭМ үчүн программага

КУБӨЛҮК

№ 871

Атальшы: *ANSYS Fluent* программалык комплексин колдонуу менен мордон
тоскоолдуктарга (имараттар жана үйлөр) түтүн агымынын
турбуленттүү модели

Автору (авторлору): *Абдрасакова Айзада Байышбековна (KG)*

Укук ээси (ээлери): *Абдрасакова Айзада Байышбековна (KG)*

KYRGYZPATENT

Алгачкы жарыяланган датасы, орду:

Өтүнмөнүн № 20230087.6

Кыргыз Республикасынын ЭЭМ үчүн программаларынын
мамлекеттик реестринде катталган: 07.02.2024-ж.

Директор

P. Керимбаева



КЫРГЫЗ РЕСПУБЛИКАСЫ



КЫРГЫЗ ПАТЕНТ

ЭЭМ үчүн программага
КҮБӨЛҮК

№ 872

Атальшы: *LSTM (Long short-term memory) нейрон тармактарынын моделин колдонуу менен ақыркы 100 жылда Кыргызстандын аймактарында абанын температурасынын өзгөрүү динамикасы*

Автору (авторлору): *Абдрасакова Айзада Байышбековна (KG)*

Укук ээси (ээлери): *Абдрасакова Айзада Байышбековна (KG)*

KYRGYZPATENT

Алгачкы жарыяланган датасы, орду:

Отүнмөнүн № 20230088.6

Кыргыз Республикасынын ЭЭМ үчүн программаларынын мамлекеттик реестринде катталган: 07.02.2024-ж.

Директор

P. Керимбаева



A handwritten signature in blue ink, appearing to read "П. Керимбаева".